

# **TESARSKE VEZE I NASTAVCI**

## • NENOSIVE VEZE

- izvode se iz konstruktivnih razloga kao nenosive veze
- veze se temelje na osnovnim načelima i bogatom iskustvu tesarske struke
- prilagođene vrsti i namjeni konstrukcije, te budućoj funkciji i položaju unutar konstrukcije

## • STATIČKE ILI NOSIVE VEZE

- izvode se prema statičkom proračunu – dokazu nosivosti veze na proračunske utjecaje koje prihvataju
- veze s direktnim i indirektnim prijenosom sila

## • ČIMBENICI UTJECAJA NA KVALITETU VEZA I NASTAVAKA

---

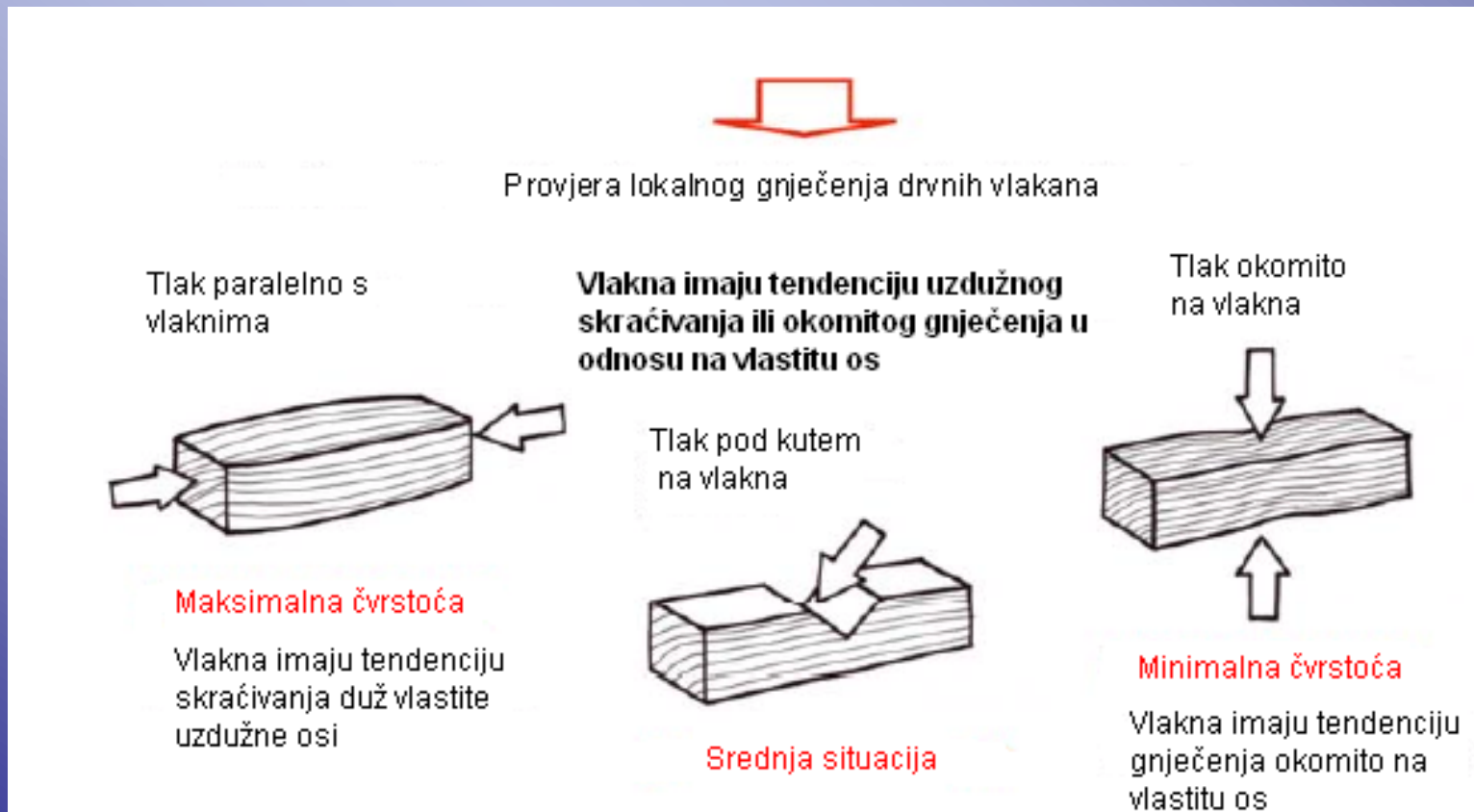
- uvjeti eksploatacije
- kvaliteta i vrsta gradiva
- korozija metalnih dijelova i spajala u vezi
- vanjski utjecaji koji nepovoljno djeluju na sigurnost veze
- pristupačnost veze (povremene revizije)
- uvjeti izrade i montaže
- pravilna ugradnja i osigurana zaštita spojnih sredstava

**KONCEPT STATIČKOG PRORAČUNA** - jasan, izvediv i što jednostavniji

**IZVEDBA** - u skladu s dokazom nosivosti

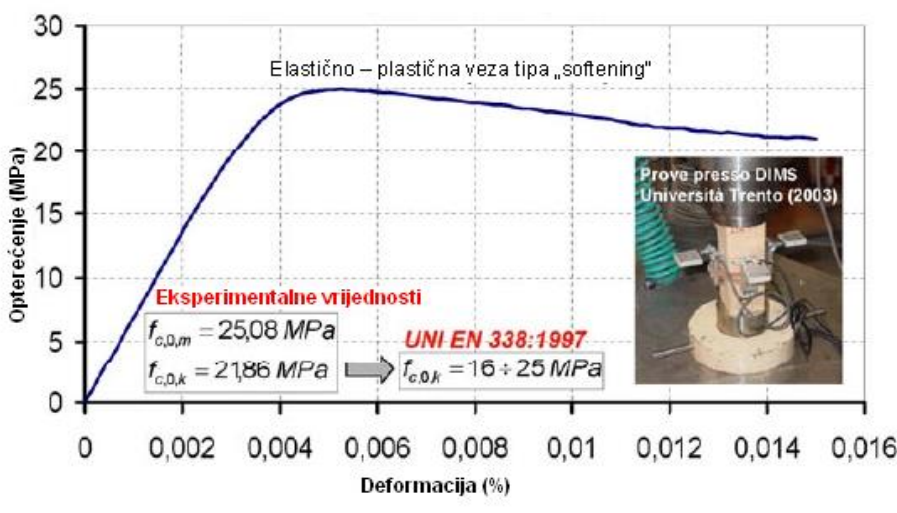
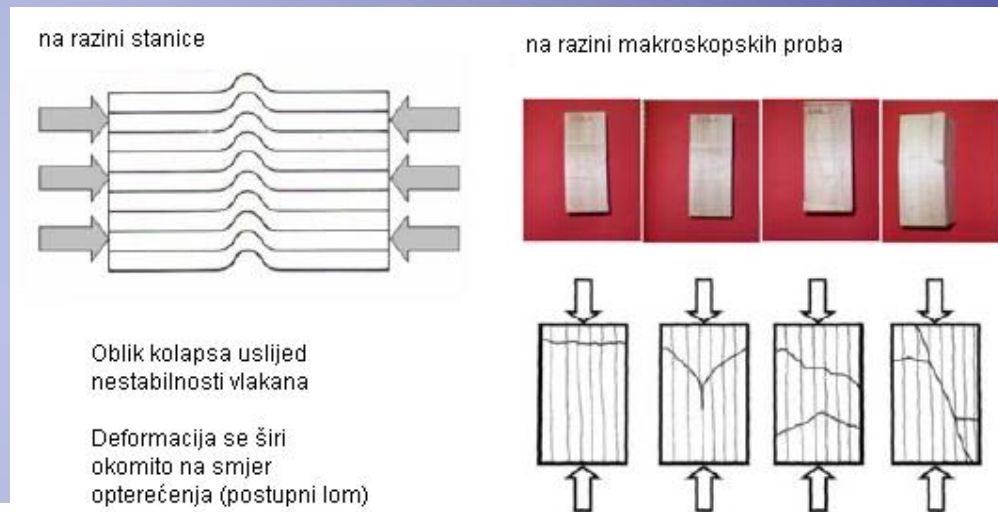
# Ilustracije otpornih mehanizama

- Provjera čvrstoće spoja opterećenog na tlak prenošen između različitih elemenata



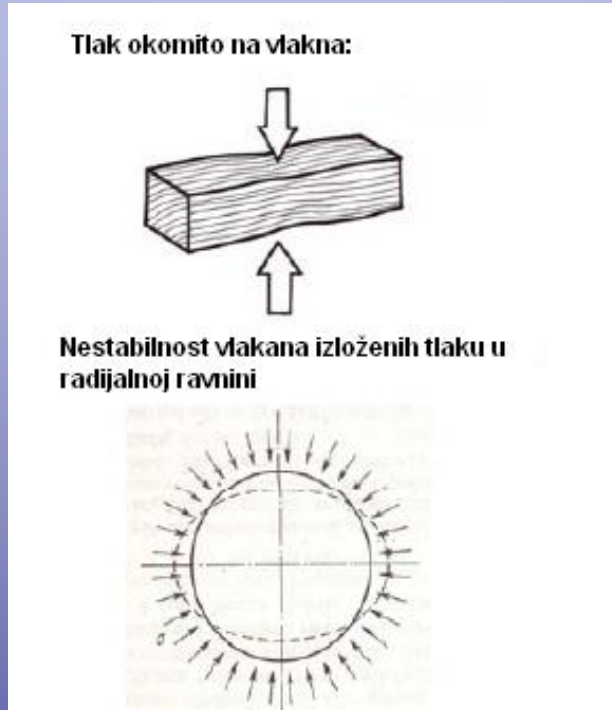
# Tlak paralelno s vlaknima

- Rezultati eksperimentalnog ispitivanja na topolovini prema UNI-ISO 3787 Modul loma



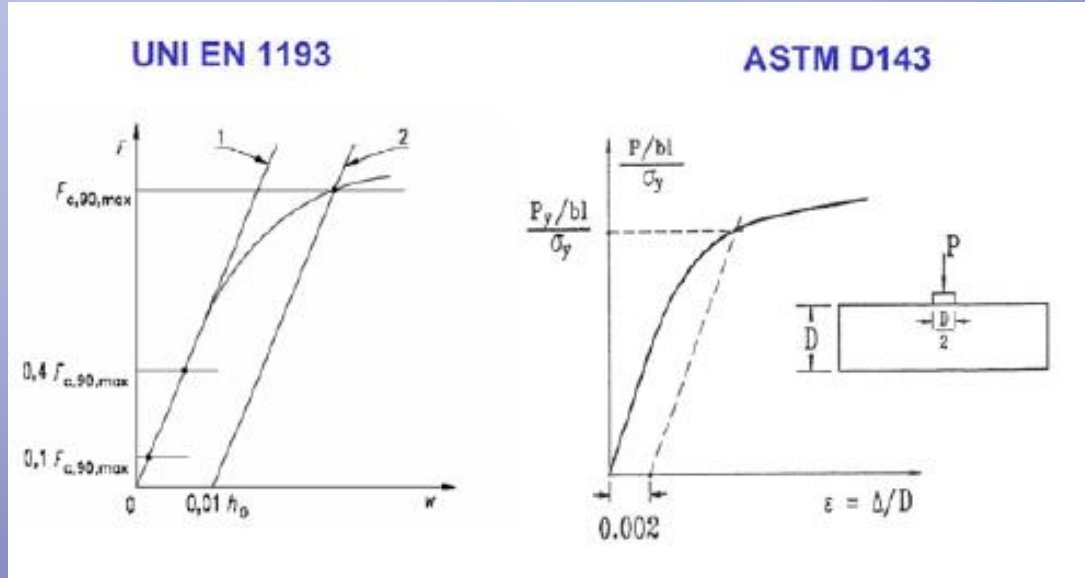
# Tlak okomito na vlakna

- Oblik lokaliziranog kolapsa uslijed nestabilnosti vlakana (nestabilnost staničnih stijenki izloženih vanjskom tlaku)
- Kritično opterećenje je manje nego u slučaju nestabilnosti stupa
- Jako izražene deformacije uslijed maksimalnog opterećenja



# Tlak okomito na vlakna: granična stanja

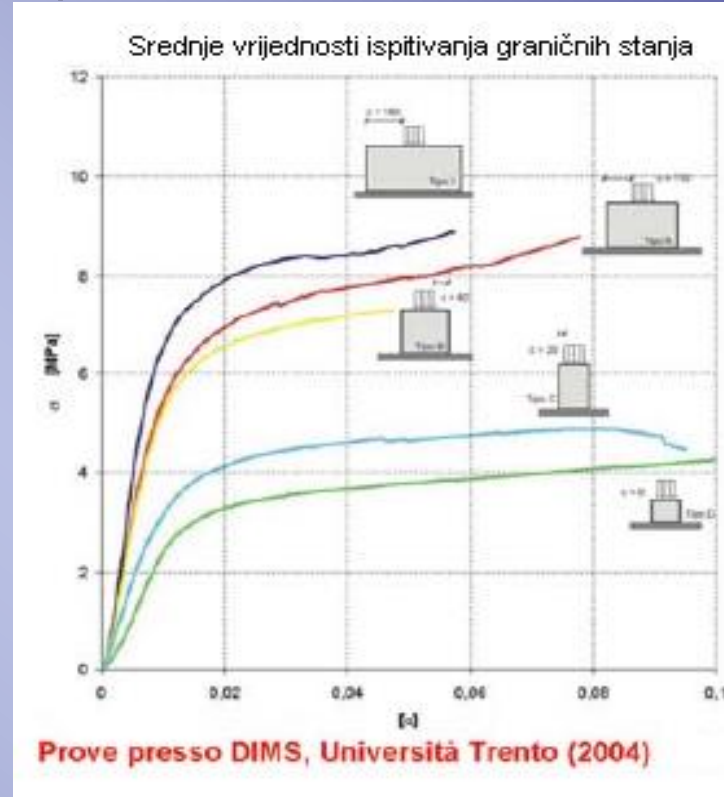
- Pristup određivanjem krajnje (granične) čvrstoće



- Uobičajeno je određivanje kritične vrijednosti za tlak okomito na vlakna jer pri kritičnom opterećenju dolazi do gnječenja vlakana
- potrebno je ograničiti deformacije kako bi se smanjila uleknuća
- ovisi o geometriji problema – „efekt pečatnog pritiska“

# Tlak okomito na vlakna: granična stanja

- uzorci tipa B (granični) imaju veću krutost u usporedbi s uzorcima tipa C (ne granični)
- uzorci tipa A (ne granični) pokazuju plastično ponašanje nakon elastične faze
- uzorci tipa B (granični) pokazuju malu mogućnost plastičnog ponašanja
- povećanje krutosti i čvrstoće kod graničnih uzoraka proporcionalno je širini granične zone
- vrijednosti loma se utvrđuju bilježeći opterećenja koja odgovaraju deformaciji od 1%



# Tlak okomito na vlakna

- „Efekt površine djelovanja sile“

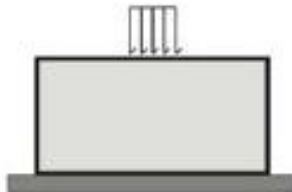
## Caso a : CAMPIONE “NON CONFINATO”

Tutte le fibre sono **schiacciate** come un “fascio di tubi”



## Caso b : CAMPIONE “CONFINATO”

**Solo una porzione** della superficie del legno superiore è **caricata**, e le fibre adiacenti non caricate assorbono una parte del carico



# Tablice

Tlak paralelno s vlnkama

C14	C16	C18	C22	C24	C27	C30	C35	C40	topola i četinjače	C14-C40
16	17	18	20	21	22	23	25	26	UNI EN 338:1997	16-25 MPa
$f_{c,0,k}$ (MPa)		lističe		D30	D35	D40	D50	D60	D70	D30-D70
		UNI EN 338:1997		23	25	26	29	32	34	23-34 MPa
		lamelirano drvo		GL24h	GL28h	GL32h	GL36h	homogeno		GL24h-GL36h
		UNI EN 1194:2000		24	26,5	29	31			24-31 MPa
		lamelirano drvo		GL24c	GL28c	GL32c	GL36c	kombinirano		GL24c-GL36c
		UNI EN 1194:2000		21	24	26,5	29			21-29 MPa

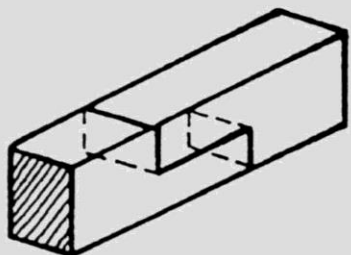
Tlak okomito na vlakna

recentemente giudicati "troppe alti"

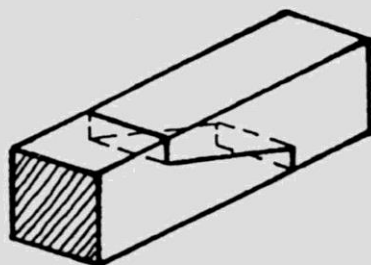
pr EN 338:2002 va da 2,0 - 2,9

C14	C16	C18	C22	C24	C27	C30	C35	C40	topola i četinjače	C14-C40
4,3	4,6	4,8	5,1	5,3	5,6	5,7	6	6,3	UNI EN 338:1997	4,3-6,3 MPa
$f_{c,90,k}$ (MPa)		lističe		D30	D35	D40	D50	D60	D70	D30-D70
		UNI EN 338:1997		8	8,4	8,8	9,7	10,5	13,5	8-13,3 MPa
		lamelirano drvo		GL24h	GL28h	GL32h	GL36h	homogeno		GL24h-GL36h
		UNI EN 1194:2000		2,7	3	3,3	3,6			2,7-3,6 MPa
		lamelirano drvo		GL24c	GL28c	GL32c	GL36c	kombinirano		GL24c-GL36c
		UNI EN 1194:2000		2,4	2,7	3,2	3,8			2,4-3,8 MPa

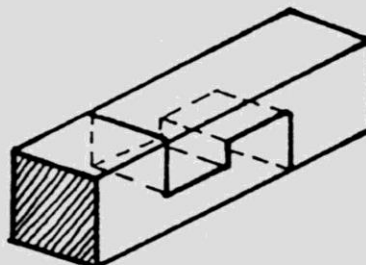
- Tesarske veze



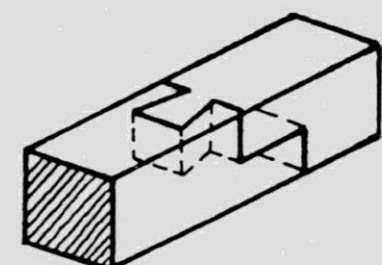
Veza na list s  
okomitim  
sučeljkom



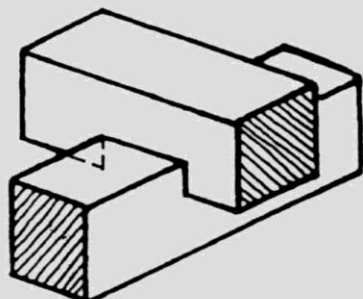
list s kosim sučeljkom



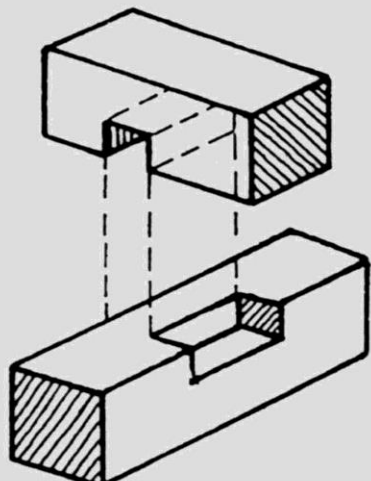
dodatni zub



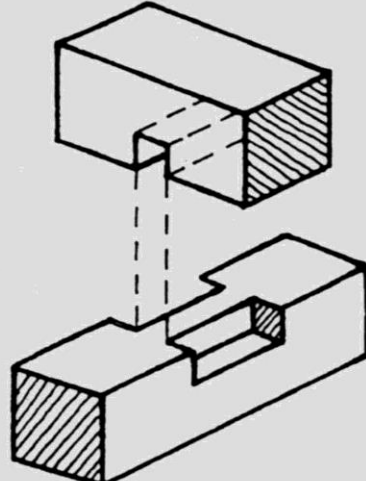
veza na lastin rep



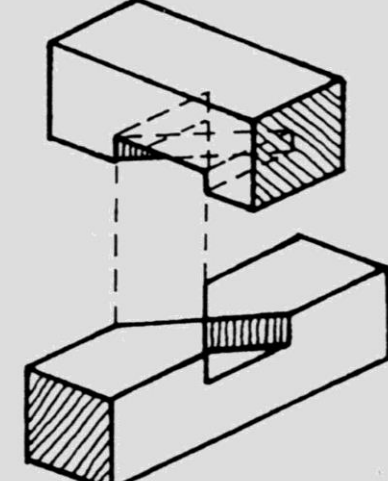
veza prehvaćanjem



- jednostruko

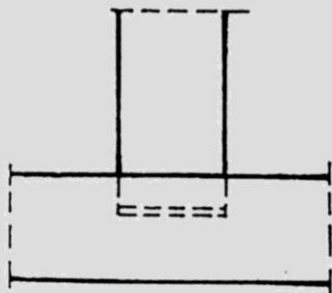


- dvostruko

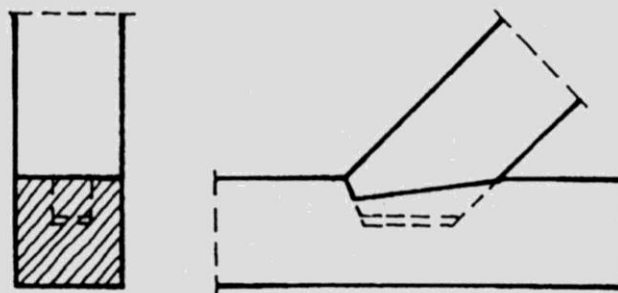


- križno

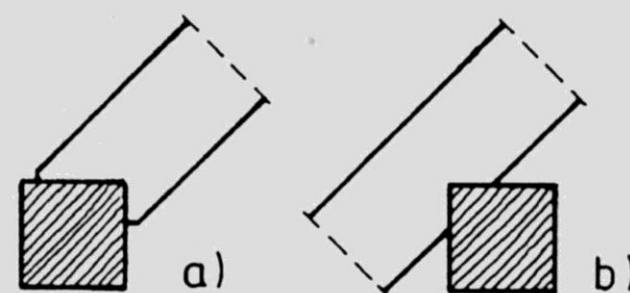
- Tesarske veze II



čep



Zasjek sa čepom ili  
bez čepa



usjecanje

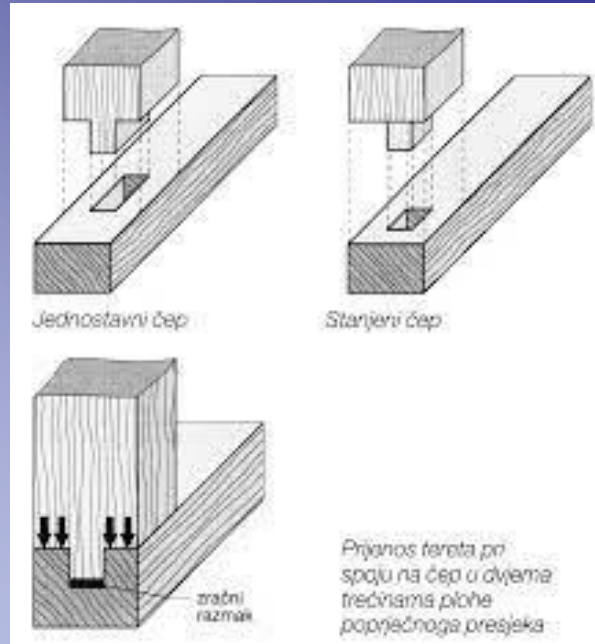
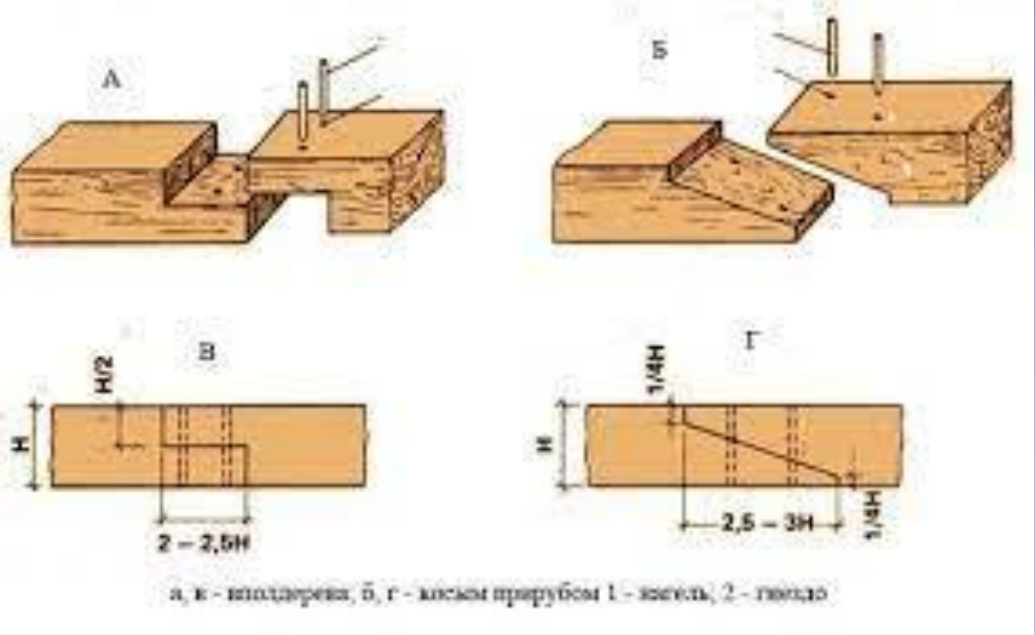
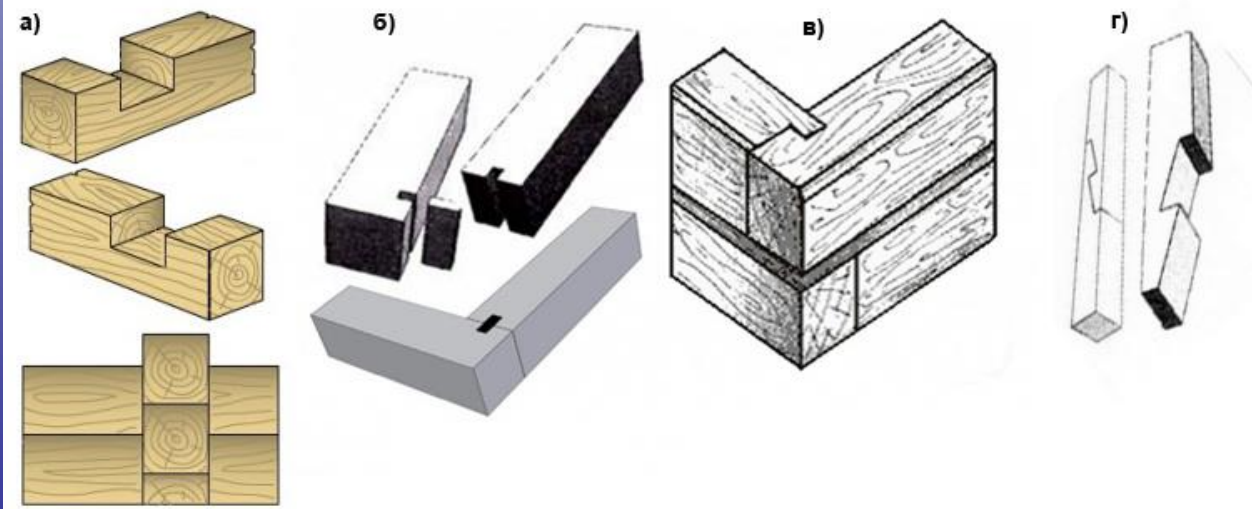
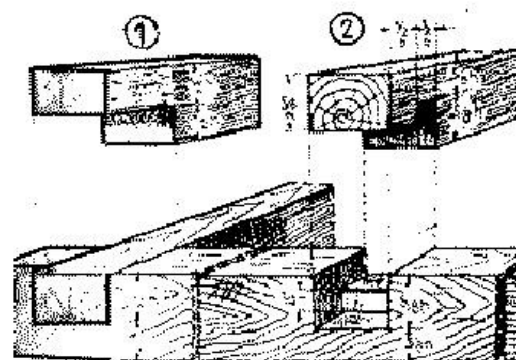
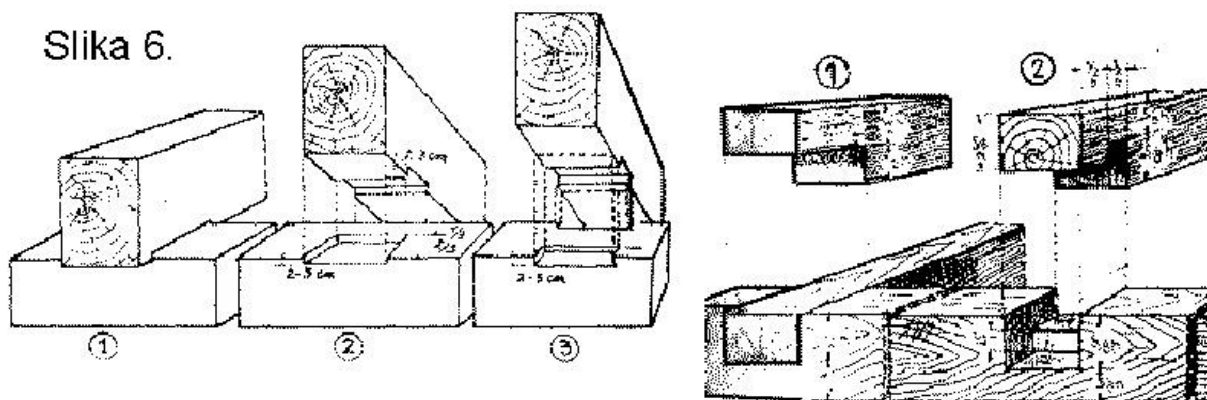


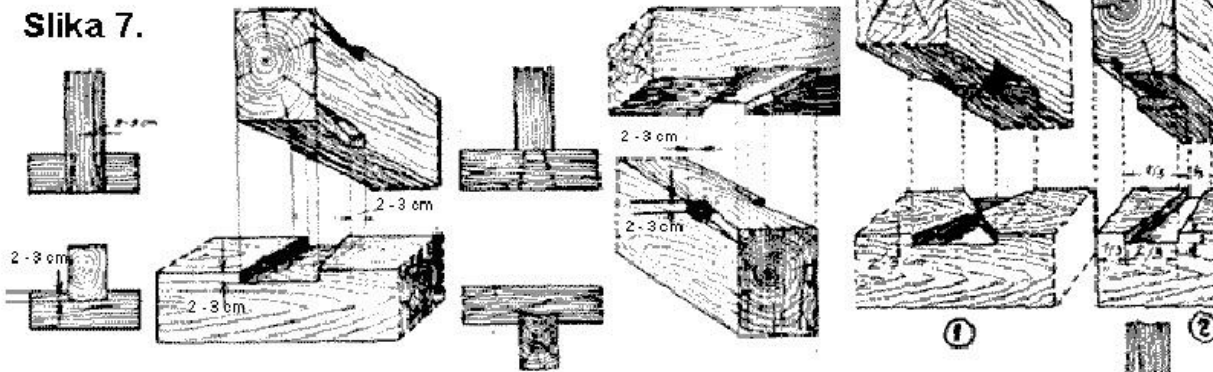
Рис. 1. Способы наращивания бруса



Slika 6.



Slika 7.



Slika 8.

## **1. VEZE NA SUČELJAK:**

Veze sučeljavanja dvaju elementa.

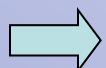
Naziv veze prema obliku sučeljka; **okomit ili kosi**

Veze se osiguravaju parom pijavica (skobice ili klamfe) - konstruktivno.

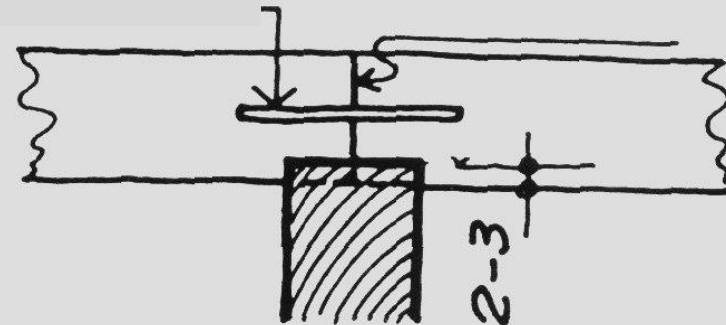
Koriste se u jednostavnijim krovnim konstrukcijama i konstrukcijama skela

### **a) OKOMIT SUČELJAK**

**VEZA NA OKOMIT SUČELJAK**



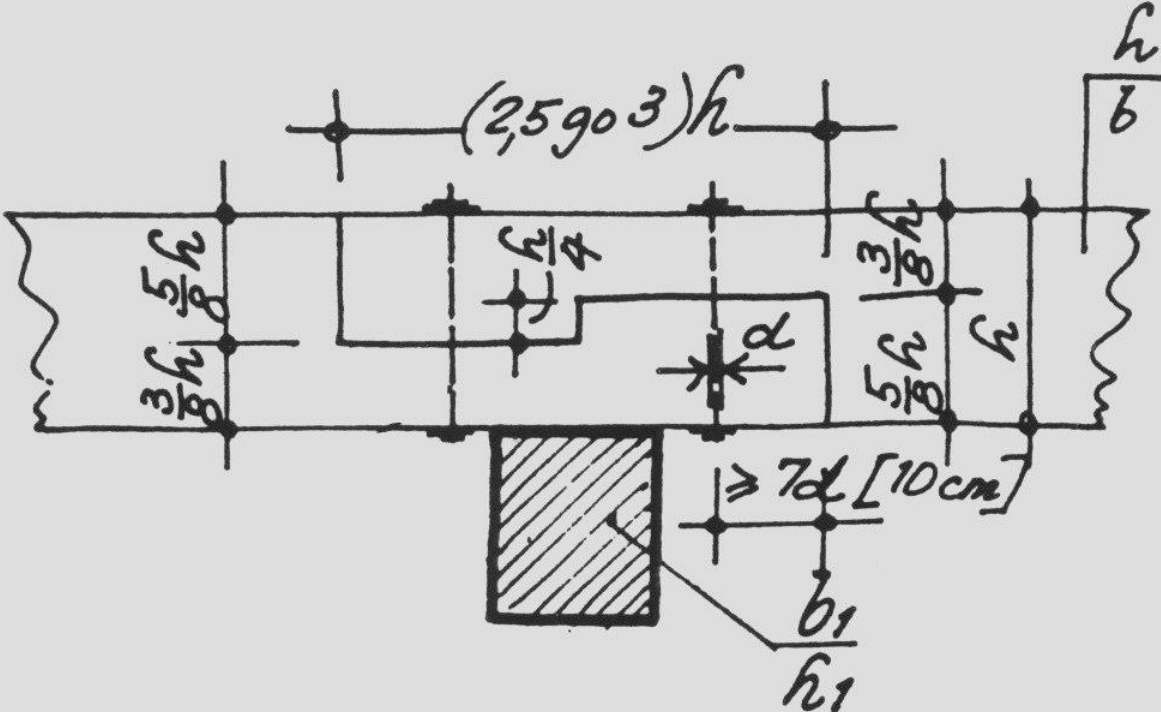
2 SKOBE



### **b) KOSI SUČELJAK**



## 2. VEZE NA LIST:

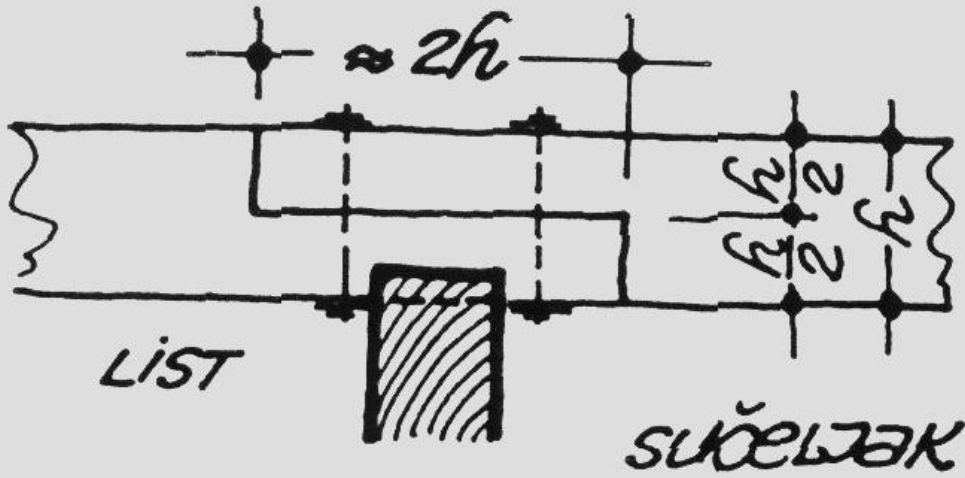


**OKOMIT LIST S  
OKOMITIM ZUBOM I  
SUČELJKOM**

### NAPOMENA:

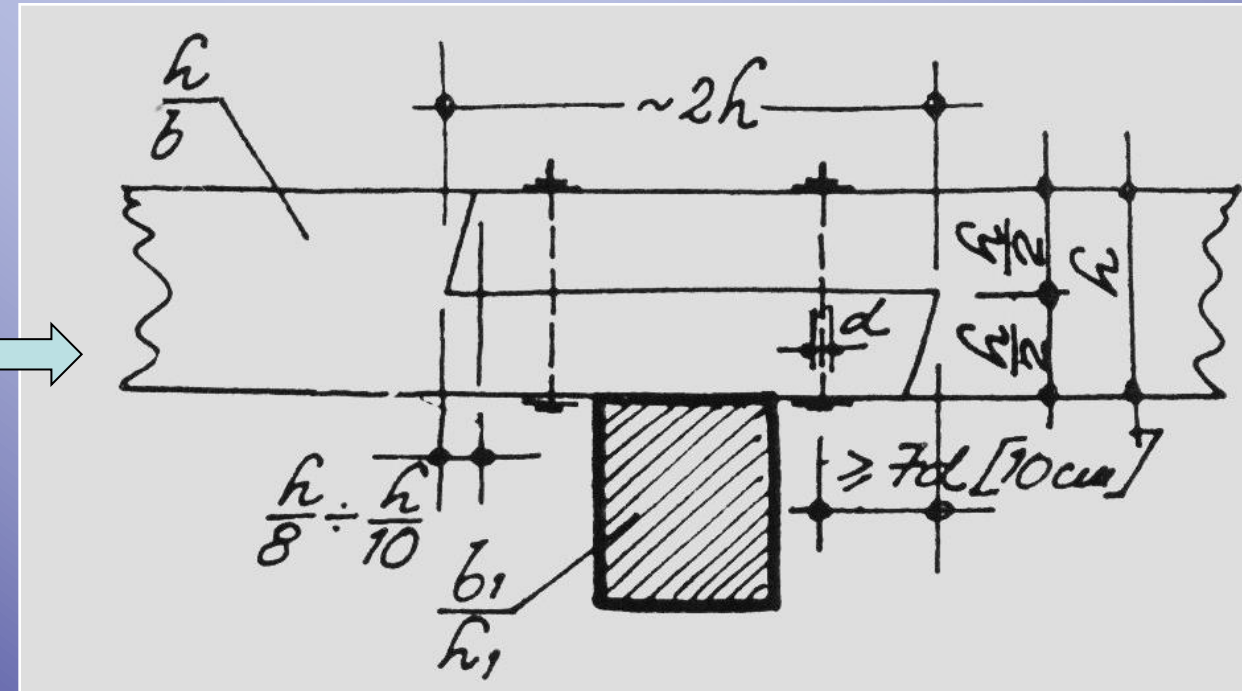
Povoljnije je ako se list izvede po širini (b), a ne po visini poprečnog presjeka (h)!

List sa zubom može preuzeti i manju vlačnu silu  
Obavezno osiguranje spojnim sredstvima (vijci, trnovi)



VEZA NA OKOMIT  
LIST SA OKOMITIM  
SUČELJKOM

OKOMITI LIST S  
KOSIM SUČELJKOM

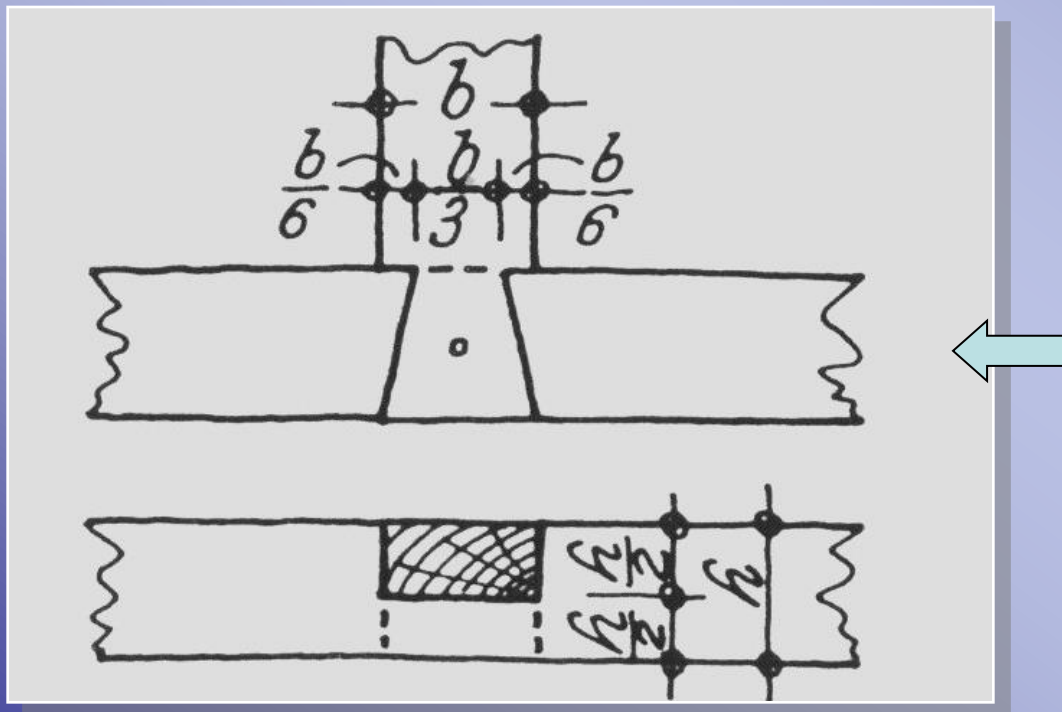


## **VEZE UKLAPANJEM (VEZE NA PREKLOP):**

**Osi štapova se sijeku, odnosno jedan element se uklapa u drugi.**

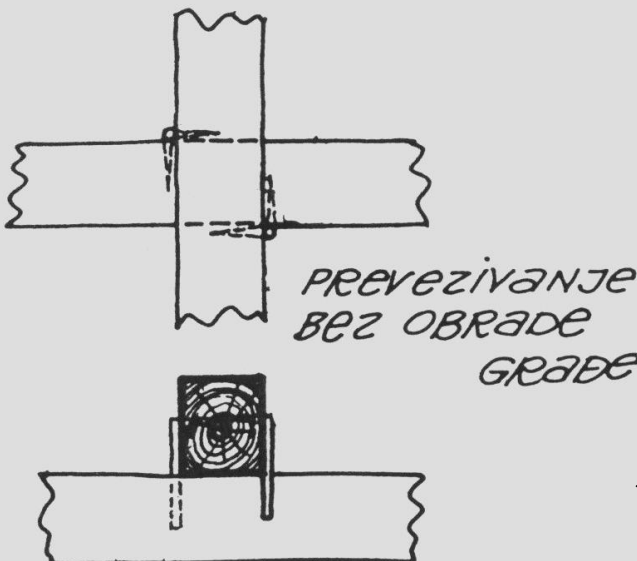
Razlikuju se veze na: **jednostavno uklapanje, uklapanje na lastin rep ili polurep i druge**

Ove veze nalaze primjenu u konstrukcijama zgrada od drva ( bondruk sustavi), kod oplata i kod konstrukcija ukrućenja



**UKLAPANJE NA  
LASTIN REP**

### 3. VEZE PREVEZIVANJEM:



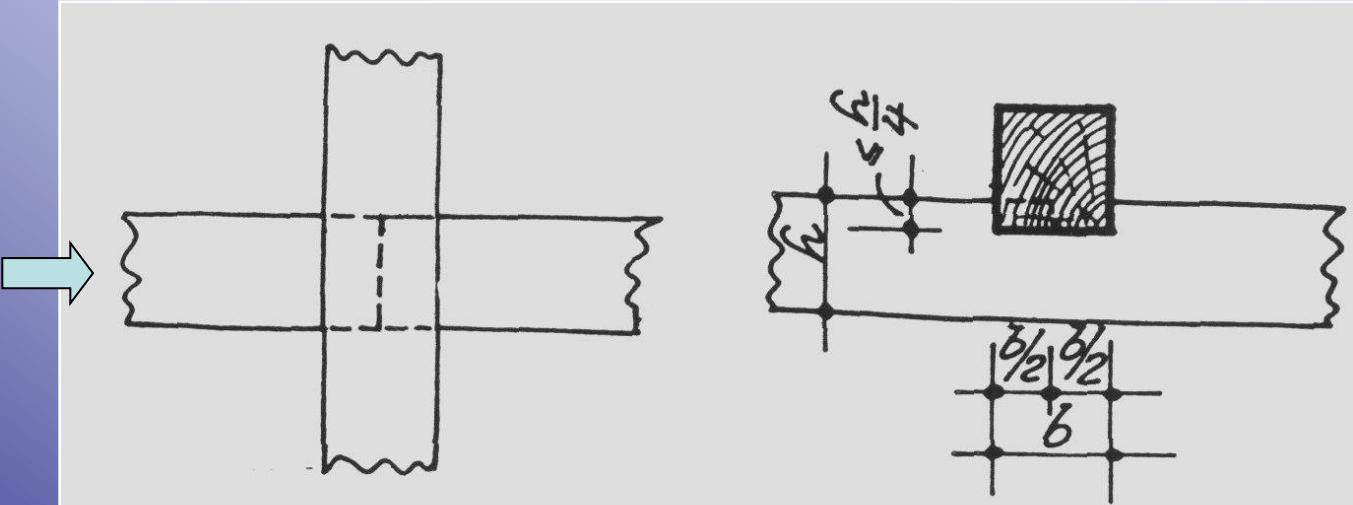
**Veze kod kojih se osi štapova mimoilaze**

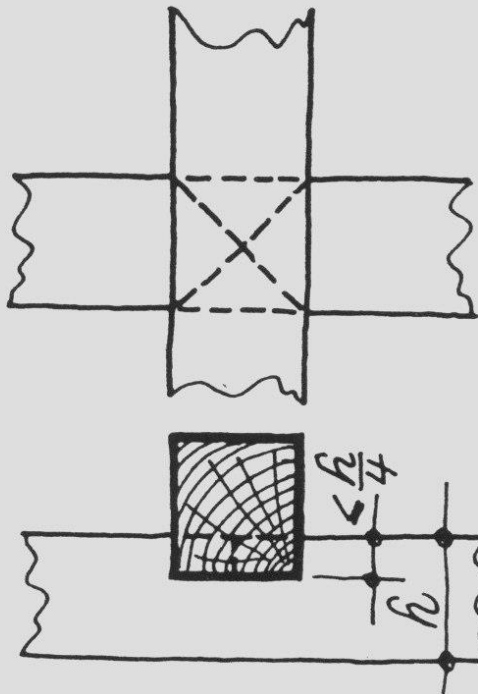
Razlikuju se veze na: **jednostavni, dvostruki i križni prevez**

Primjena - kao kod veza uklapanjem

#### **PREVEZIVANJE BEZ OBRADE GRAĐE**

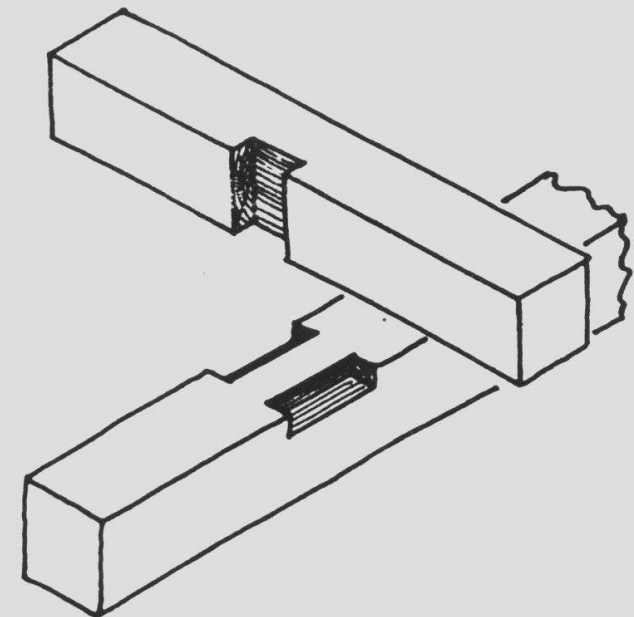
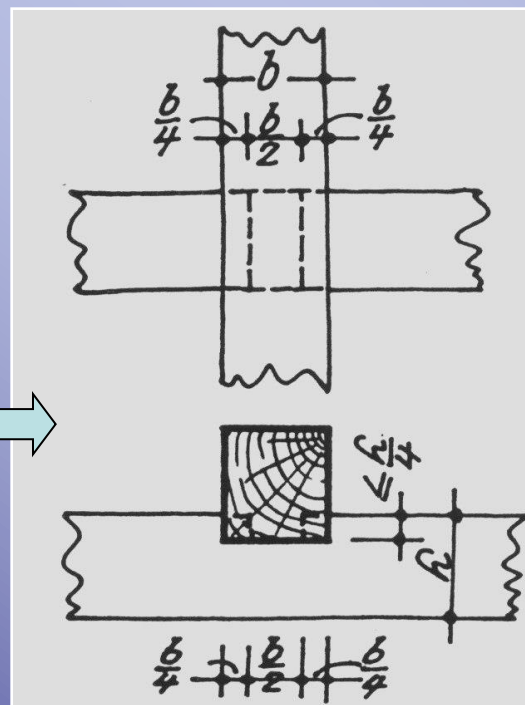
#### **JEDNOSTAVNI PREVEZ**





## KRIŽNI PREVEZ

## DVOSTRUJKI PREVEZ



#### 4. VEZE NA ČEP:

Velika primjena u drvenim konstrukcijama (oblik čepa može biti različit )

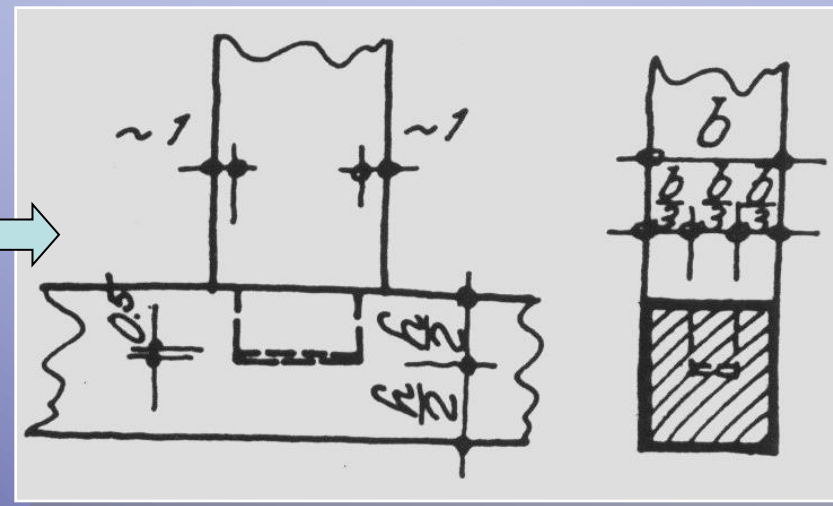
Posebnu pažnju treba obratiti na preciznost izrade

Dubina žlijeba treba biti obavezno veća za 0.5 do 1 cm veća od visine čepa

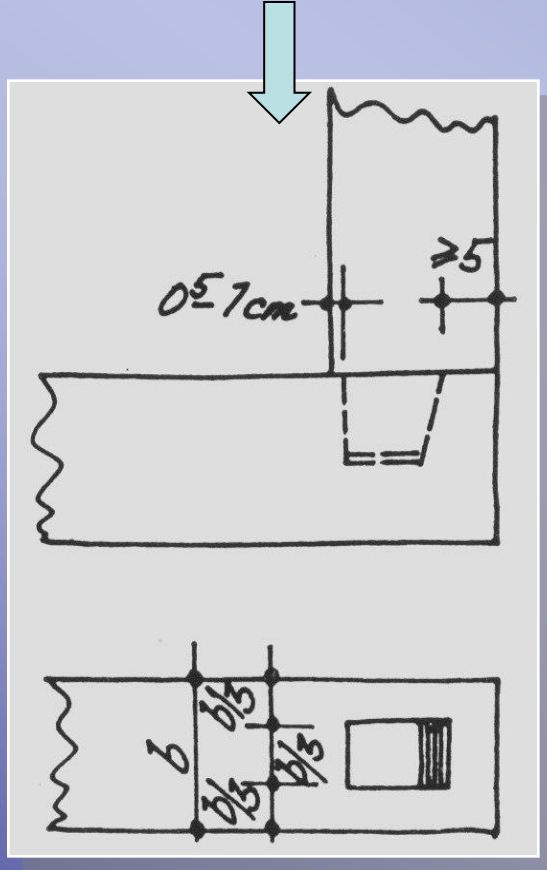
**NAPOMENA: U statickim (nosivim) vezama srednjih i većih horizontalnih sila nisu preporučljive!**

**Iznimno su osjetljive na djelovanje horizontalnih sila!**

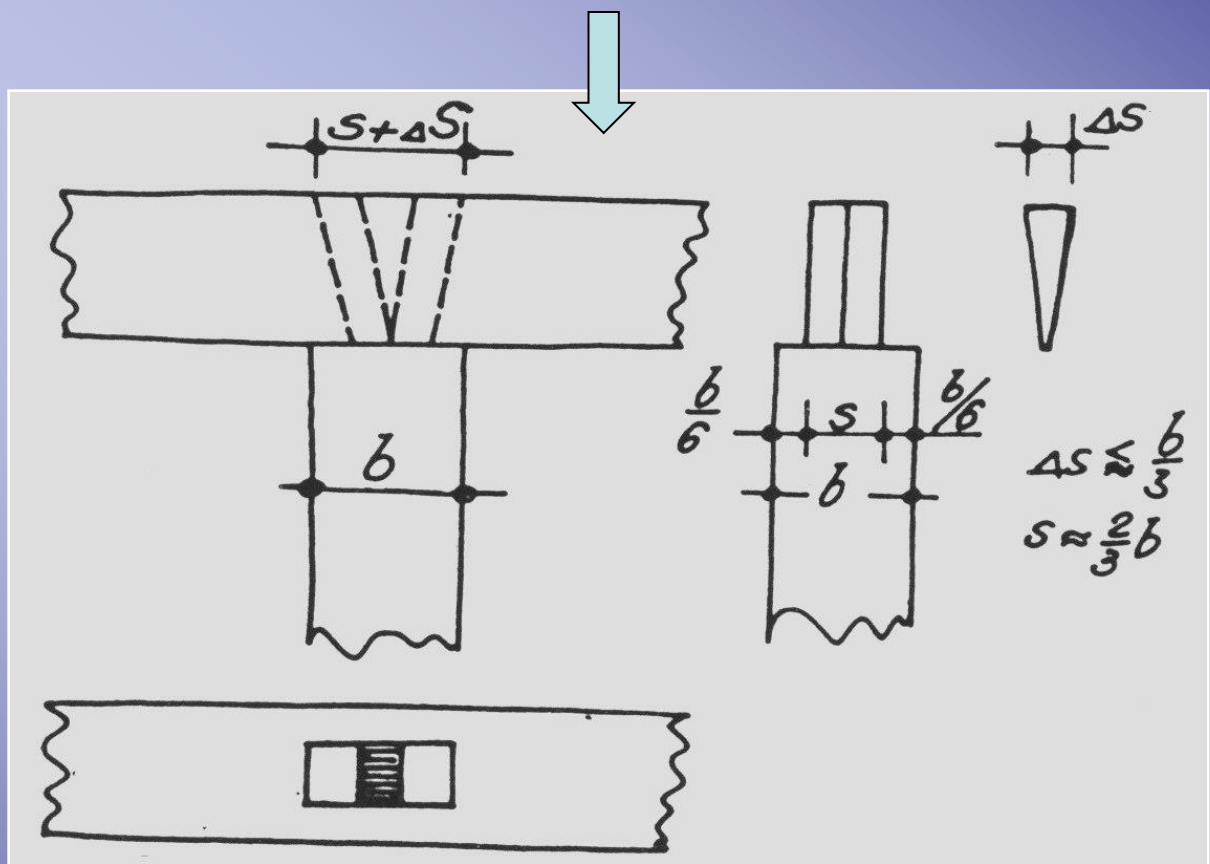
**VEZA NA ČEP**

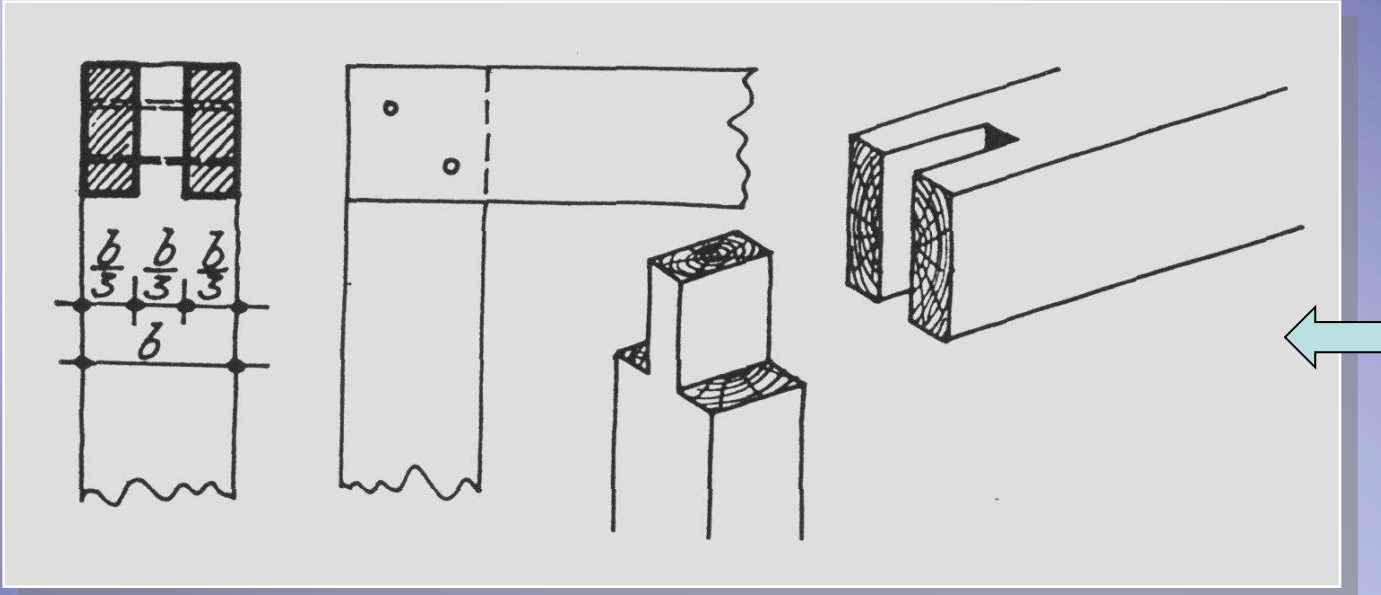


## ČEP NA UGLU



## ČEP S KLINOM

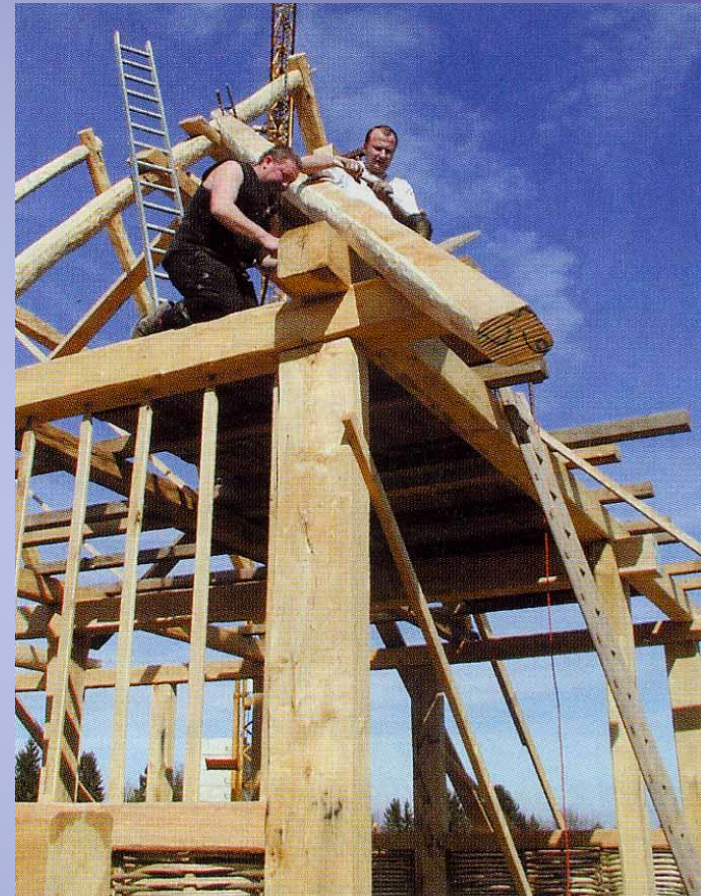




**ČEP S PUNIM  
PROREZOM  
(VEZA NA  
UTOR I PERO)**

Tesarske veze jednako dobro se izvode od rezane kao i od oble građe

# Centar “Kopački rit”, autori V. Rajčić, A. Bjelanović



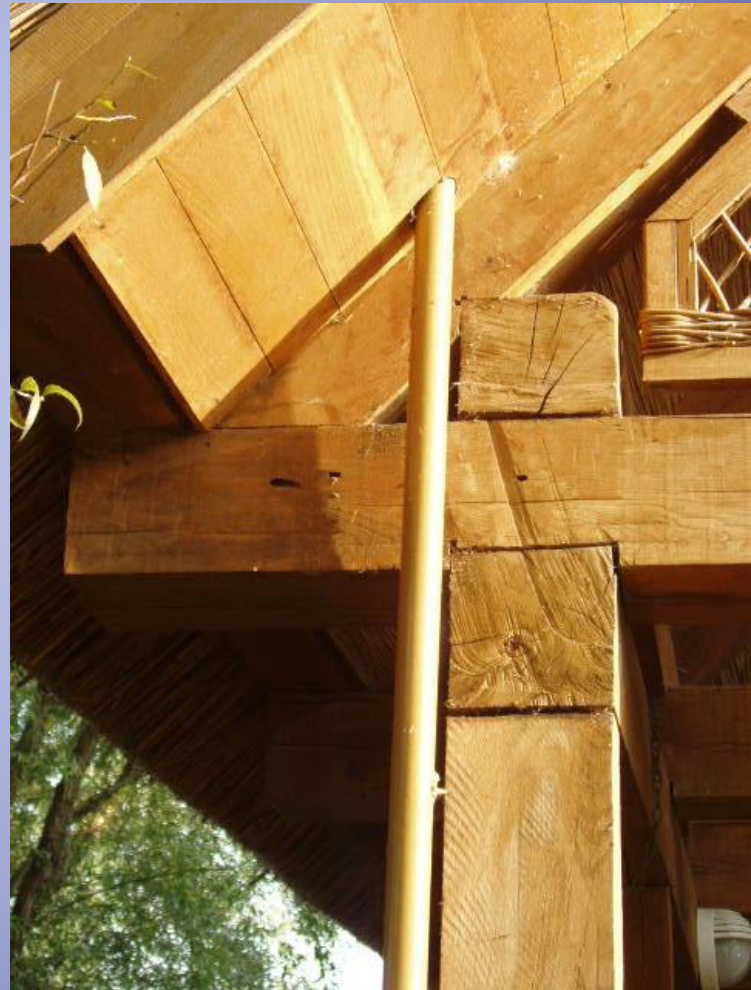
# Centar “Kopački rit”



# Centar “Kopački rit”



# Centar “Kopački rit”



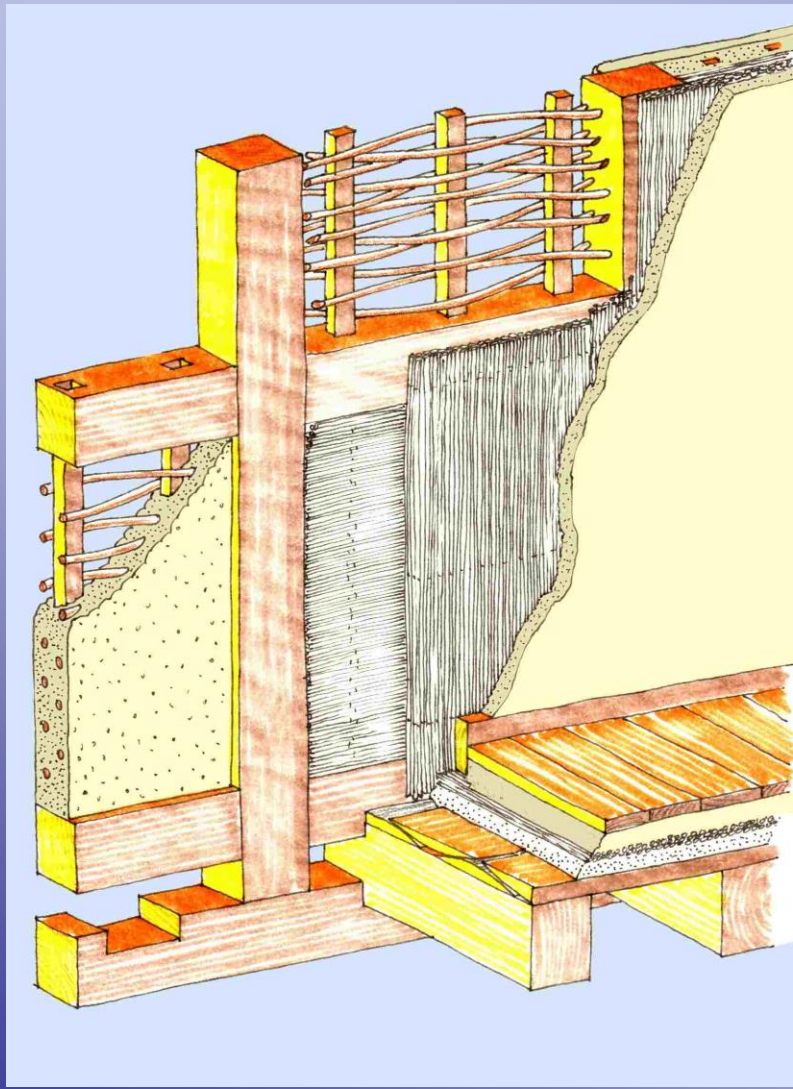
# Centar “Kopački rit”



# Centar “Kopački rit”



# Struktura zida



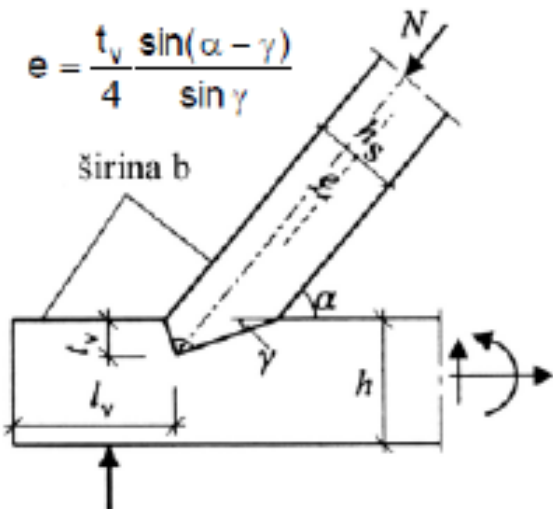
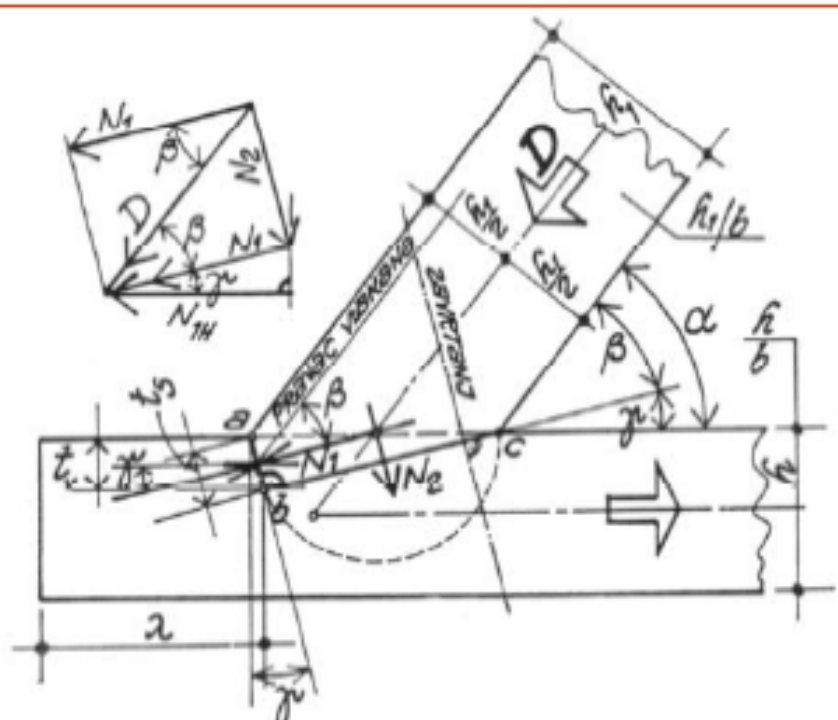
## JEDNOSTRUKI ZASJEK POD PRAVIM KUTOM

### 5. Provjera naprezanje na "čelu" zasječka

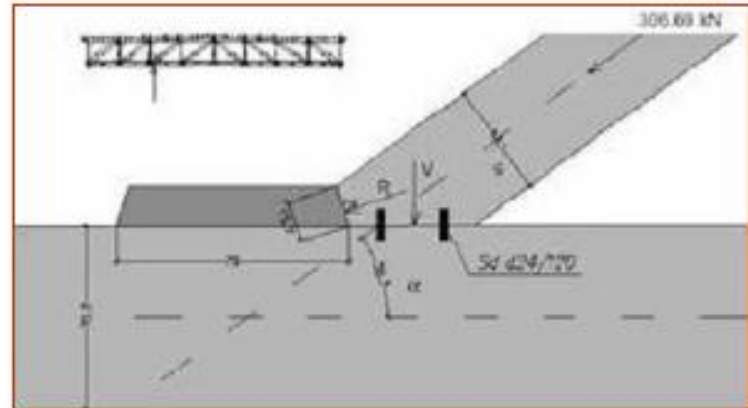
- tlak pod kutom  $\gamma$  na vlakna pojasa
- tlak pod kutom  $\beta > \gamma$  na vlakna kosnika

$$\sigma_{c,\gamma,d} = \frac{N_1}{t_s \cdot b} = \frac{N_1 \cdot \cos \gamma}{t_v \cdot b} \leq k_{c,\gamma} \cdot f_{c,0,d}$$

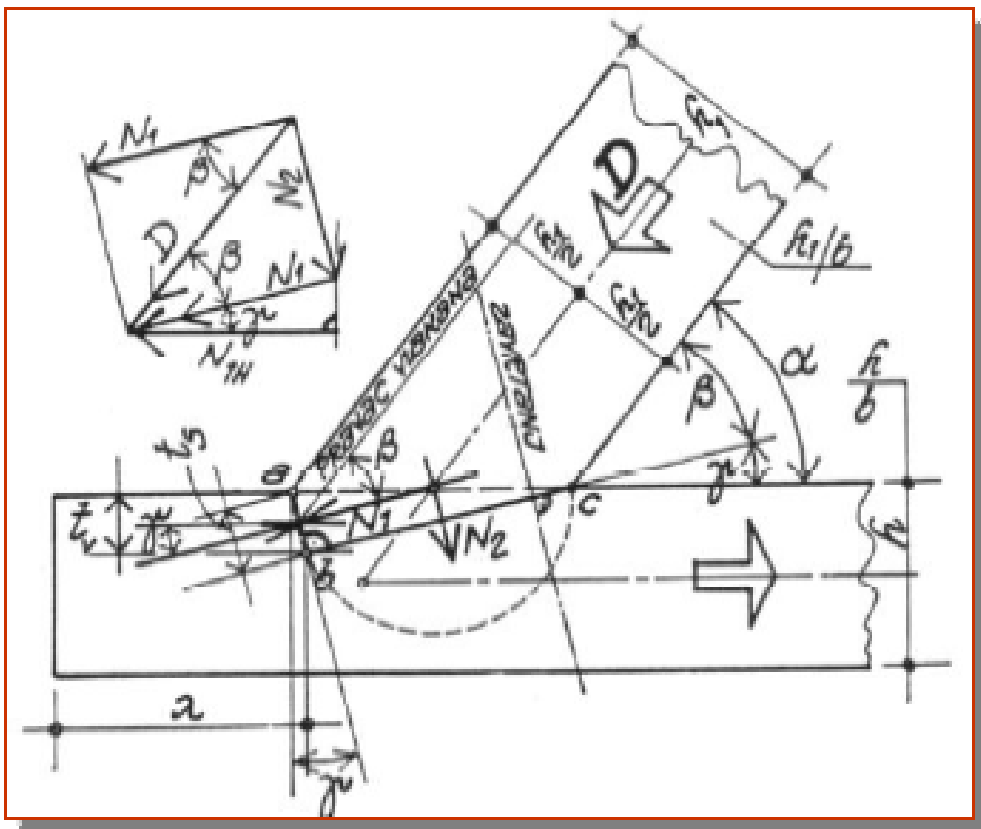
$$k_{c,\gamma} = \frac{1}{\frac{f_{c,0,d}}{f_{c,90,d}} \cdot \sin^2 \gamma + \cos^2 \gamma}$$



- Primjena posrednih priključaka u rešetkastim konstrukcijama



## JEDNOSTRUKI ZASJEK POD PRAVIM KUTOM



6. Projekcija sile  $D$  u kosniku na posmičnu ravninu  $\lambda b$

$$N_{1H} = N_1 \cdot \cos \gamma$$

$$N_{1H} = (D \cdot \cos \beta) \cdot \cos \gamma$$

7. Određivanje posmične duljine  $\lambda$  (posmik paralelno s vlaknima)

$$\lambda \geq \frac{N_{1H}}{b \cdot f_{v,d}} \quad (+\text{cca } 5 - 10 \text{ cm})$$

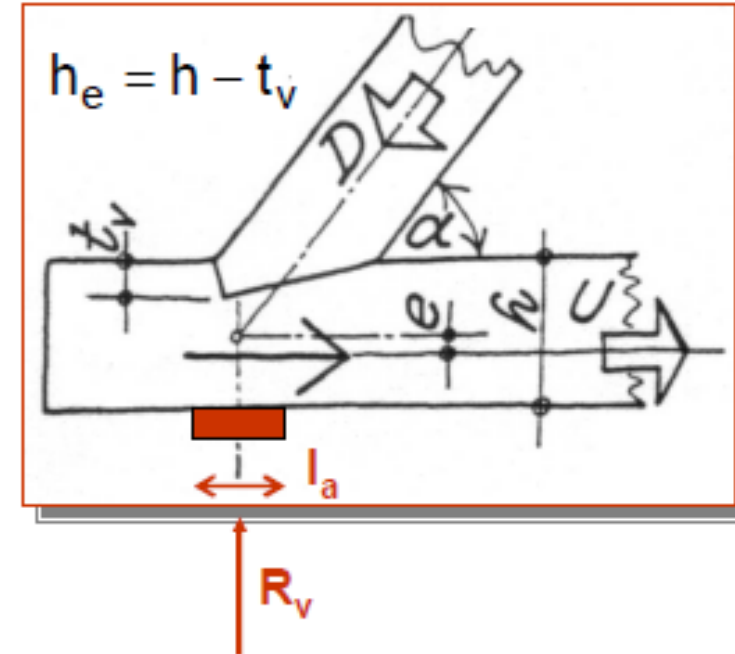
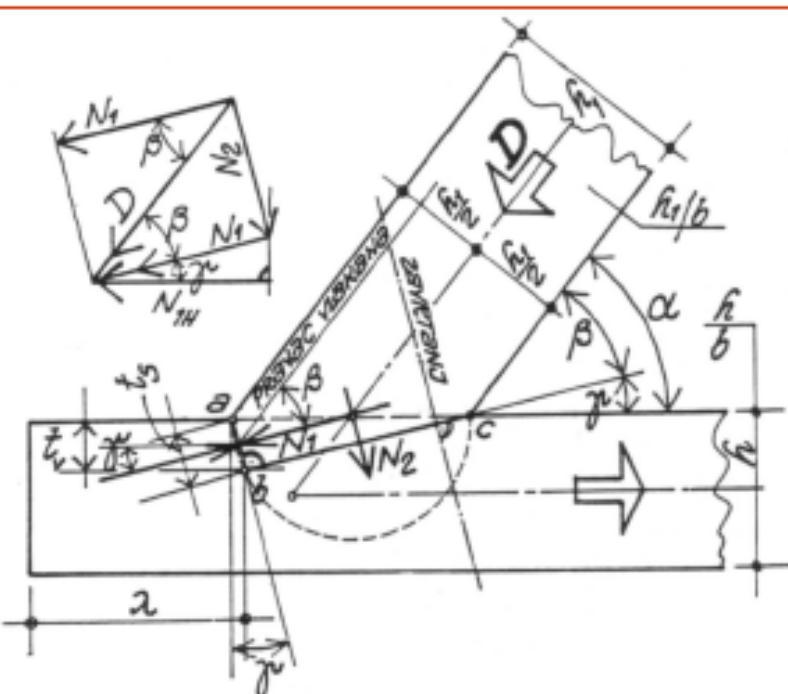
#### ▪ JEDNOSTRUJKI ZASJEK POD PRAVIM KUTOM

8. Provjera ekscentričnog vlaka u oslabljenom pojasu ( $A_{neto}$ ,  $W_{neto} - h_e = h_{neto}$ ) za ekscentricitet  $e$

$$e = \frac{h}{2} - \frac{h - t_v}{2}$$

$$\frac{\sigma_{t,0,d}}{f_{t,0,d}} + \frac{\Delta\sigma_{m,y,d}}{f_{m,d}} \leq 1$$

$$\Delta M_d = U_d \cdot e$$



### 9. Provjera posmika pri savijanju u oslabljenom pojusu, $k_v = 1$ )

$$\tau_{v,d} = 1,5 \cdot \frac{V_{d,max}}{b \cdot h_e} \leq f_{v,d}$$

## JEDNOSTRUKI ZASJEK U SIMETRALI VANJSKOG KUTA

- "Čelo" zasječka u simetrali vanjskog kuta  $\beta = 180^\circ - \alpha$  konstrukcijski je povoljnije jer projekcija tlačne sile u kosniku  $N_1$  zatvara isti kut nagiba prema vlaknima oba štapa,  $\alpha/2$ .

**Postupak proračuna**

1. Dubina zasijecanja

$$t_v \leq t_{v,\max}$$

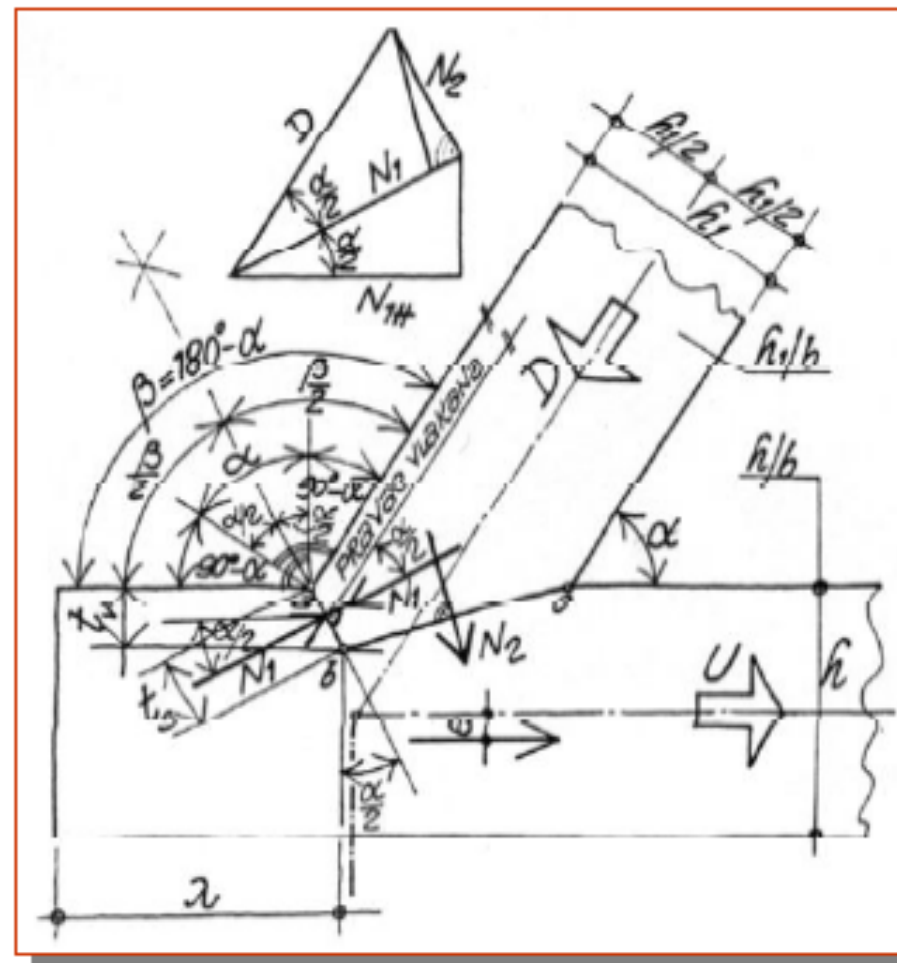
$$t_{v,\max} = \frac{h}{4}; \quad t_{v,\max} = \frac{h}{6}$$

2. Geometrija zasječka

(kut  $\alpha/2$ )

$$\beta = 180^\circ - \alpha$$

$$t_s = \frac{t_v}{\cos(\alpha/2)}$$



## JEDNOSTRUKI ZASJEK U SIMETRALI VANJSKOG KUTA

3. Provjera tlačnih naprezanja pod kutom  $\alpha/2$  na čelo zasjeka

$$\sigma_{c,\alpha/2,d} = \frac{N_1}{t_s \cdot b} = \frac{N_1 \cdot \cos \alpha / 2}{t_v \cdot b} \leq k_{c,\alpha/2} \cdot f_{c,0,d}$$

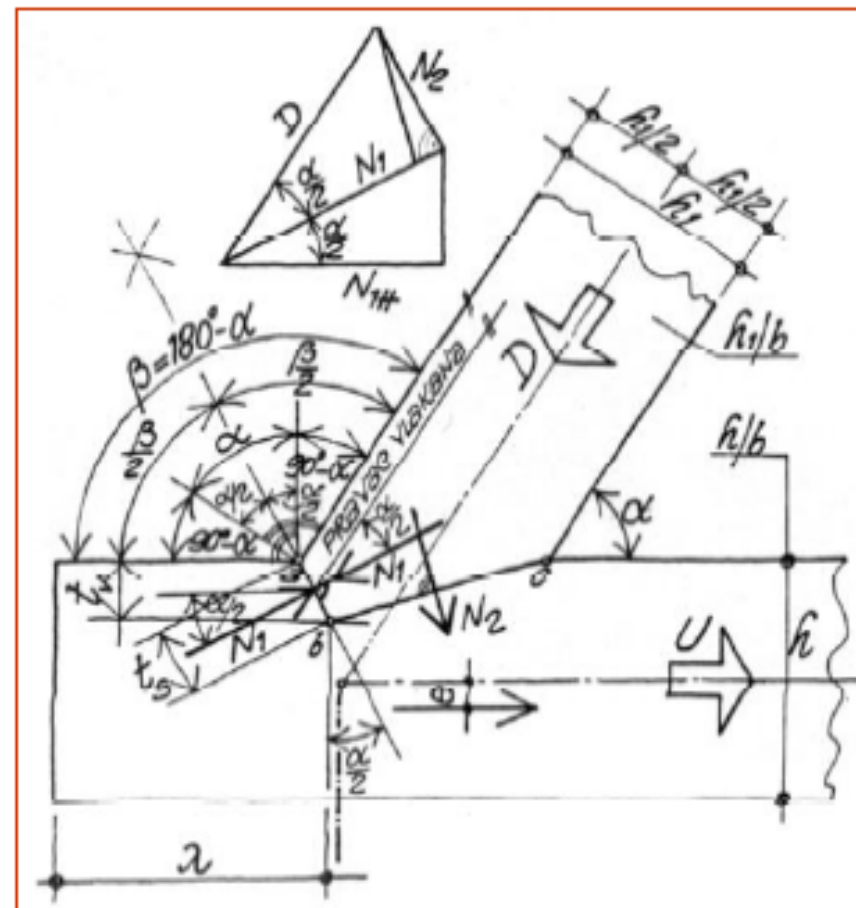
(vlakna pojasa):

– projekcija sile  $D$  na čelo zasjeka, površinu  $ab$

$$N_1 = D \cdot \cos \alpha / 2$$

$$\sigma_{c,\alpha/2,d} = \frac{D \cdot \cos^2 \alpha / 2}{t_v \cdot b} \leq k_{c,\alpha/2} \cdot f_{c,0,d}$$

$$k_{c,\alpha/2} = \frac{1}{f_{c,0,d} \cdot \sin^2 \alpha / 2 + \cos^2 \alpha / 2}$$



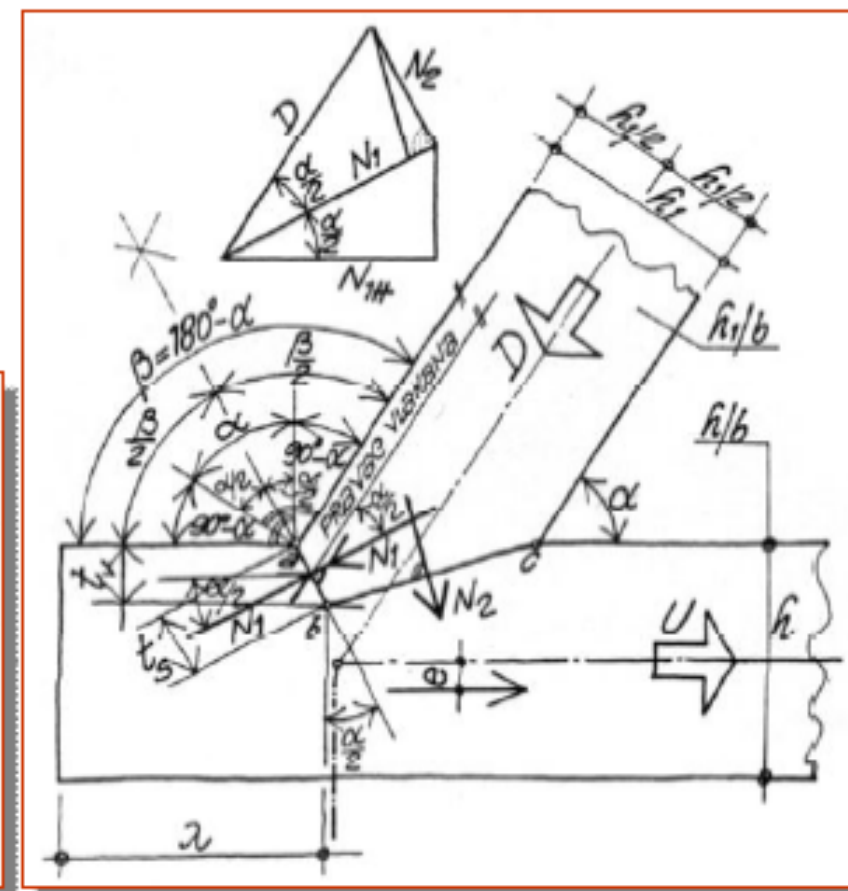
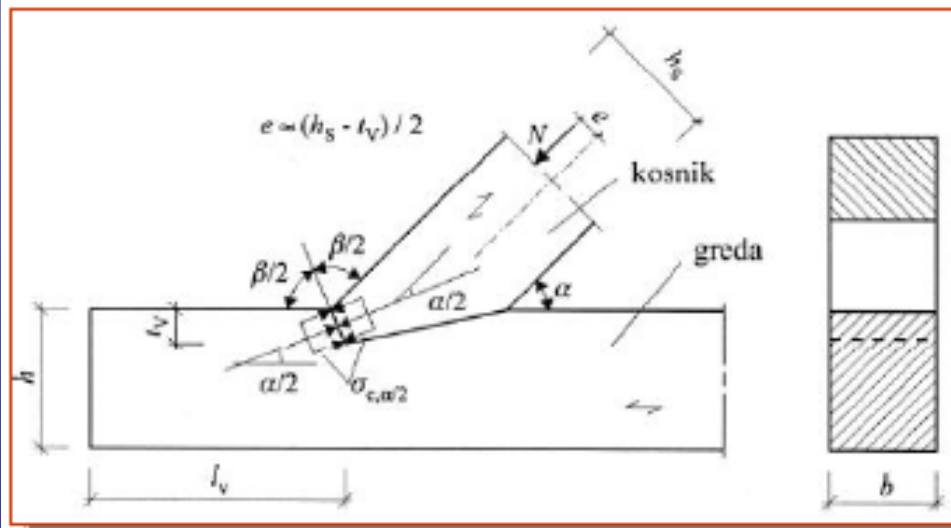
## ■ JEDNOSTRUKI ZASJEK U SIMETRALI VANJSKOG KUTA

4. Projekcija sile  $D$  u kosniku na posmičnu ravninu  $\lambda b$

$$N_{1H} = N_1 \cdot \cos \alpha / 2 \quad N_{1H} = D \cdot \cos^2 \alpha / 2$$

5. Određivanje posmične duljine  $\lambda$  (posmik  $\parallel$  vlaknima)

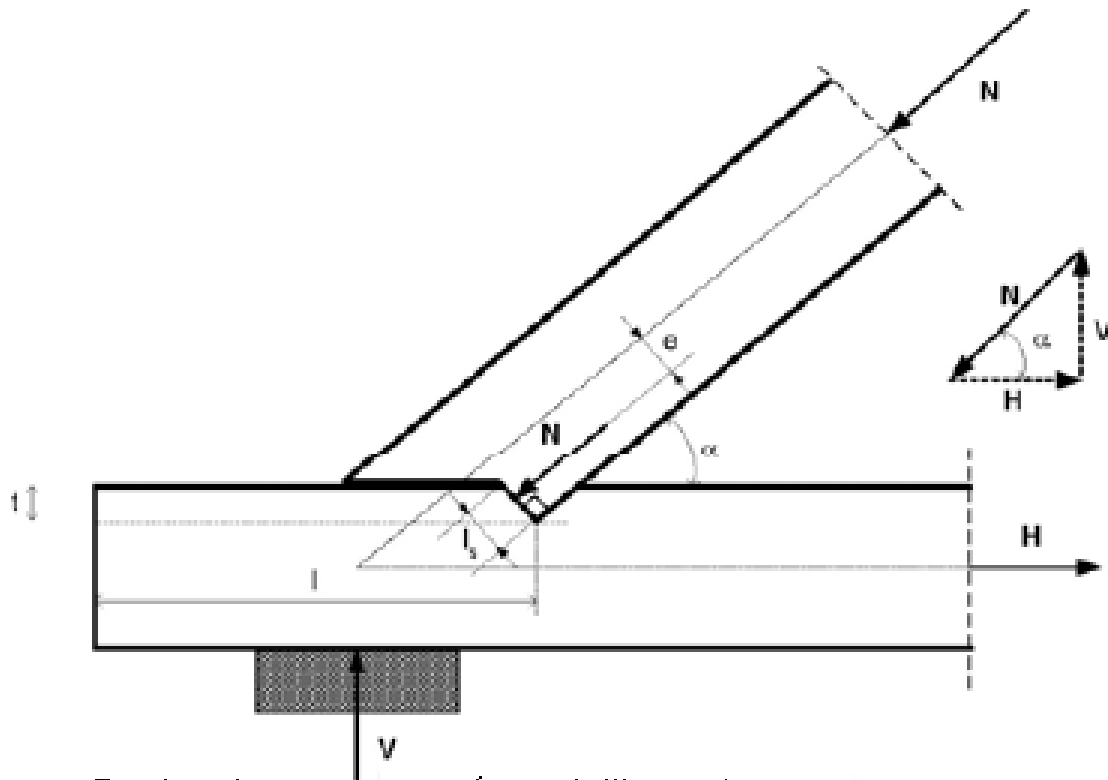
$$\lambda \geq \frac{N_{1H}}{b \cdot f_{v,d}} \quad (+\text{cca } 5 - 10 \text{ cm})$$



# Petni zasječek

- Kod spojeva sa petnim zasječkom geometrija zasječka se izvodi tako da se povećava površina kosnika (veća duljina pete). Kod takvih je spojeva ispitivanje na tlak (tlačne čvrstoće) nešto komplikiranije nego kod jednostavnog zasječka. Naime, zasječek se obično izvodi sa nagibom okomito na smjer stupa (zbog jednostavnosti postupka).
- Takva geometrija spoja zahtijeva posebne propise za izvedbu kao što su postojanje određenog hoda u odnosu na prednju površinu (1-2mm) kako bi se izbjeglo da djelovanje takve površine pokrene opterećenja okomito na smjer vlakana što može uzrokovati pukotine na stupu.

# Petni zasječek



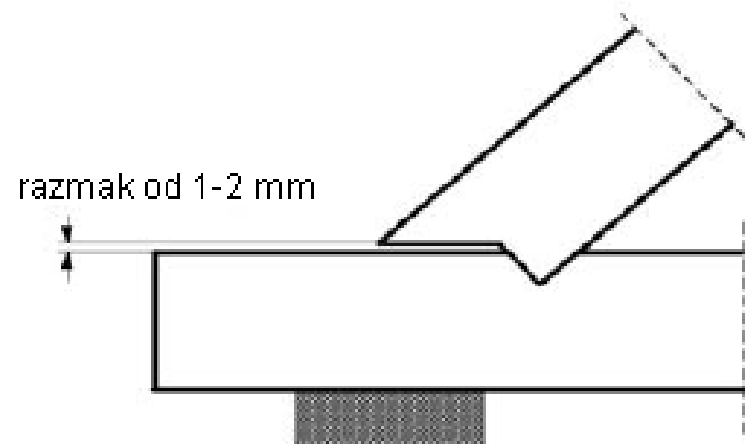
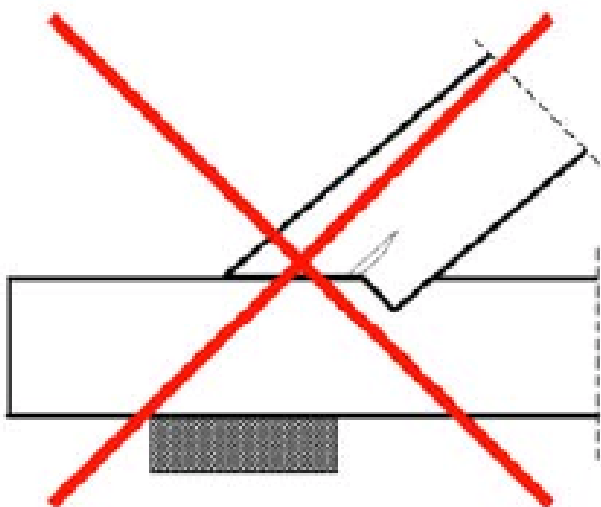
Prednost: povećana duljina pете

Nedostatak: kut između smjera sile i smjera vlakana manji je nego kod jednostavnog zasječka (kod petnog zasječka kut je obično  $90^\circ$ )

$$t_s = \frac{t}{\cos \alpha}$$

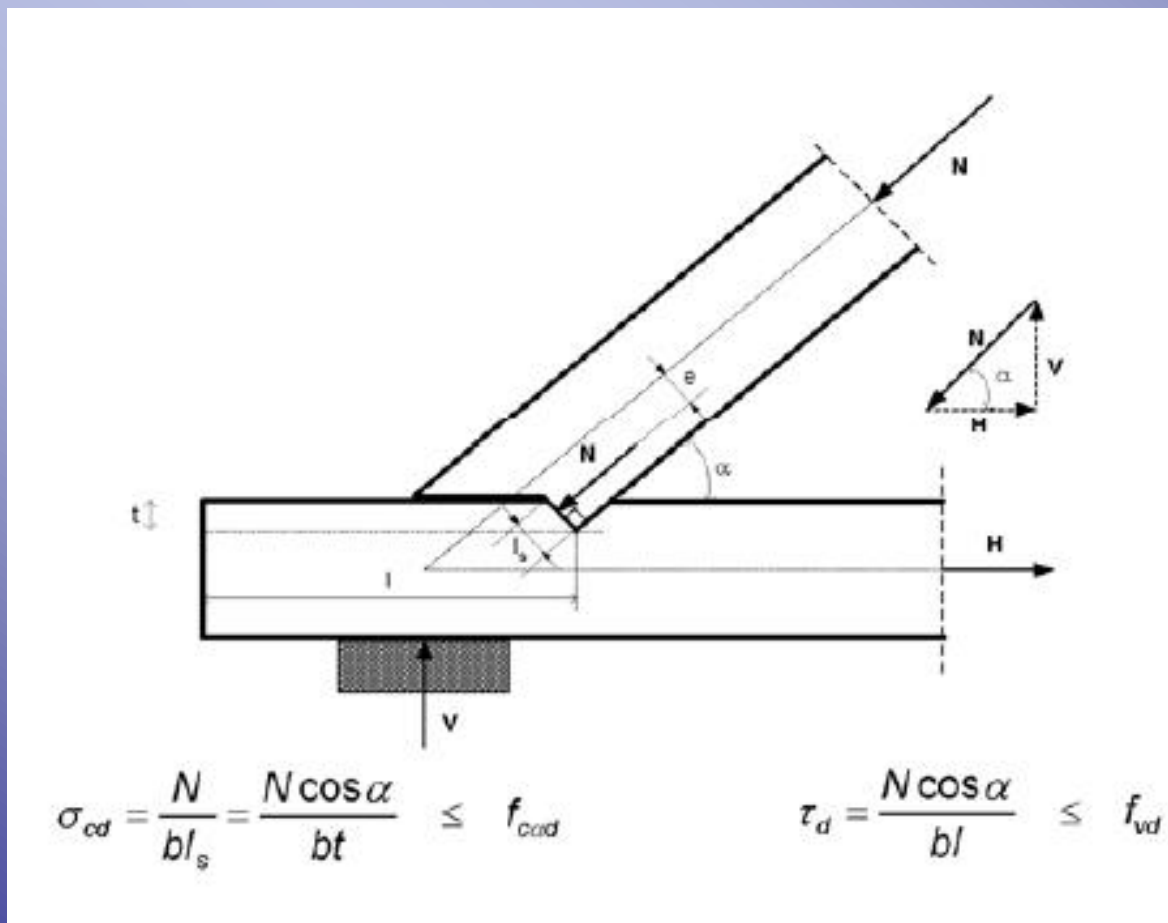
# Proračun tesarskih spojeva

- konstrukcijski propisi: Potrebno je ostaviti određeni razmak između kontaktnih površina (1-2 mm) kako se izbjeglo da opterećenja okomito na smjer vlakana uslijed kontakta uzrokuju nastanak pukotina.



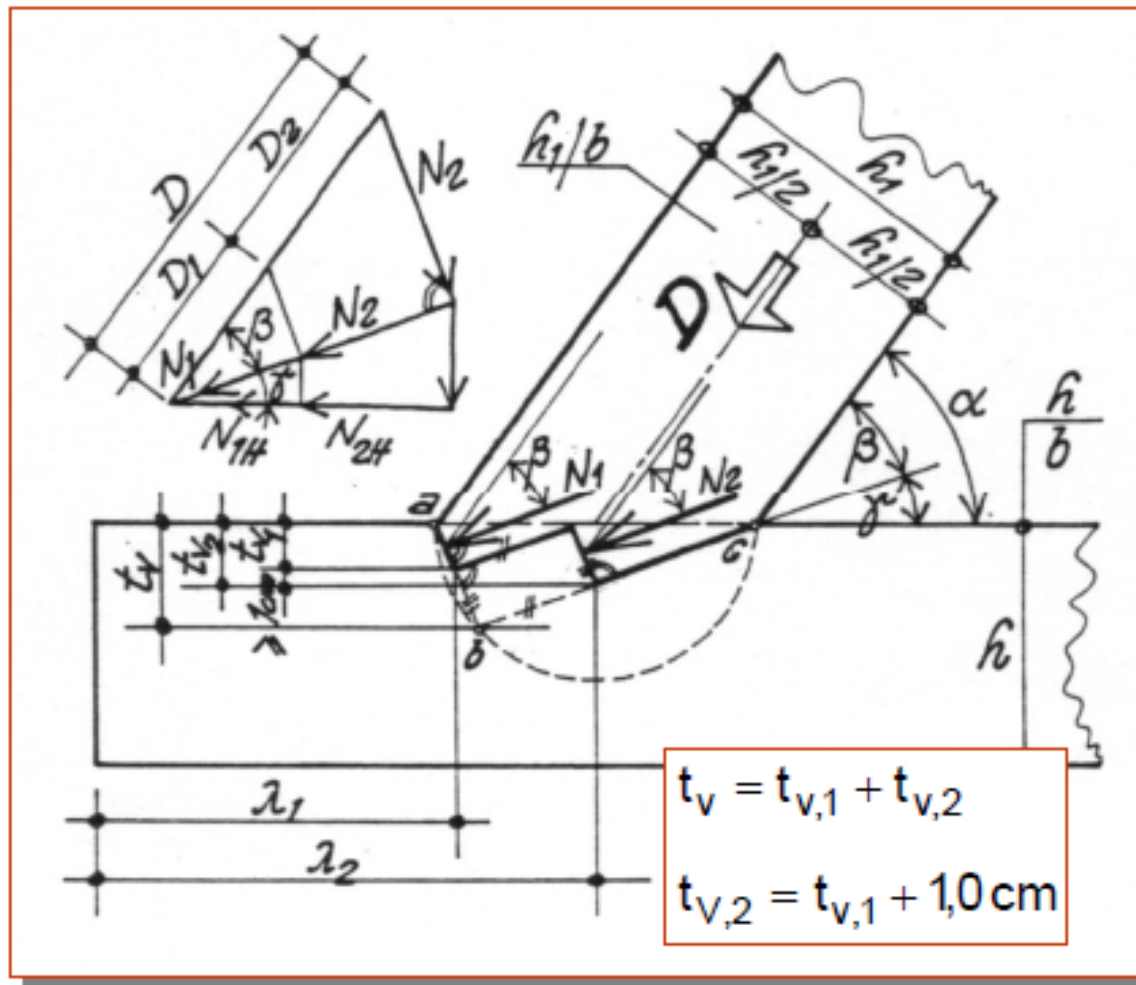
# Petni zasječek

- Provjera



## DVOSTRUKI ZASJECI

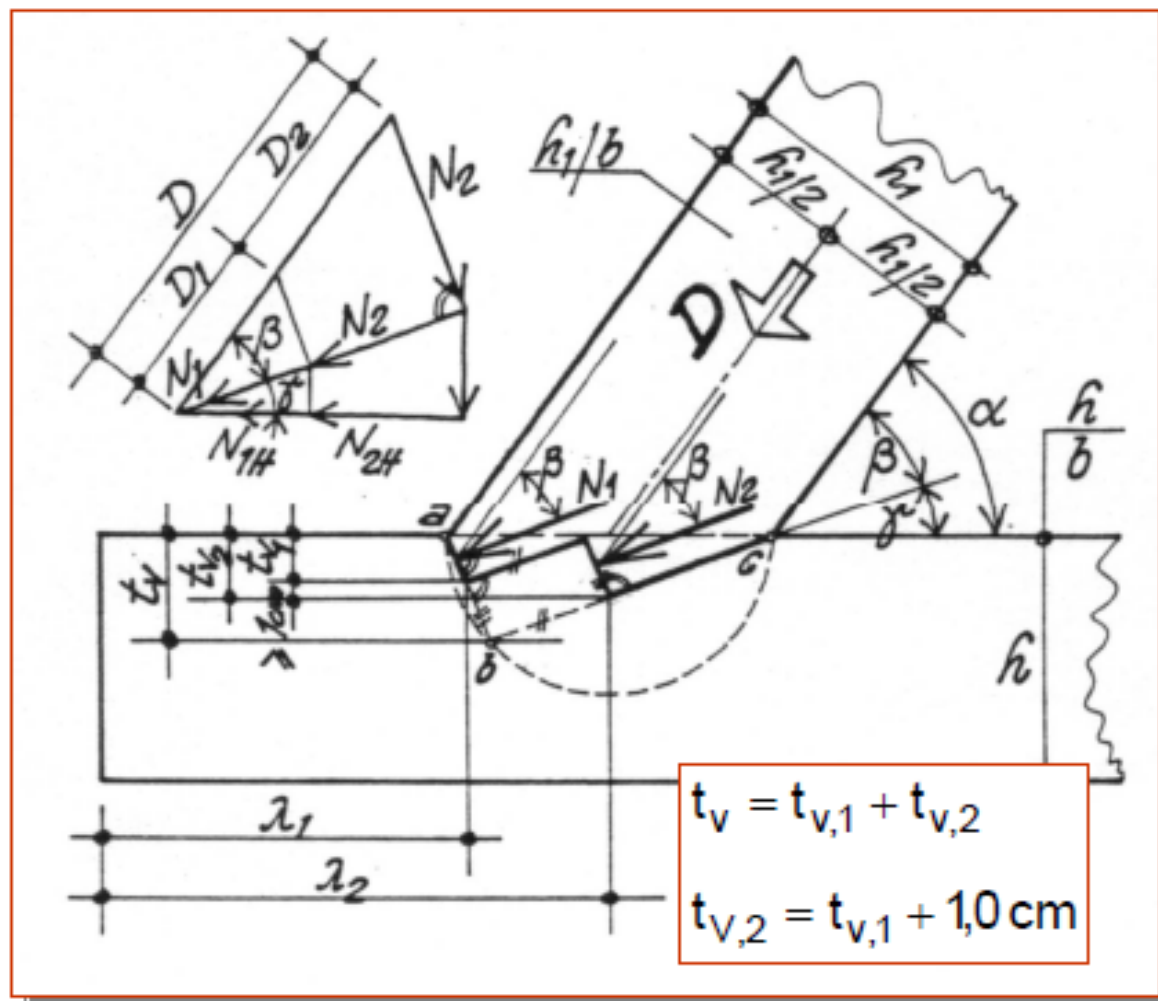
- Dva čela zasjeka – dvije dubine zasijecanja  $t_{v,1}$  i  $t_{v,2}$  i dvije posmične ravnine duljina  $\lambda_1$  i  $(\lambda_2 - \lambda_1)$  u pojasu



- Čela zasjeka mogu se izvesti u svim kombinacijama i neovisni jedan od drugog:
  - pod pravim kutom
  - u simetrali vanjskog kuta
  - srednji zasječek
  - petni zasječek

## ▪ Proračun priključka dvostrukim zasječkom

- Dvije stvarne dubine zasječka,  $t_{v,1}$  i  $t_{v,2}$  zamjenjuju se jednom zamjenskom (fiktivnom) dubinom zasijecanja,  $t_v$



- Ograničenja zamjenske dubine zasijecanja

- Za  $\alpha \leq 50^\circ$

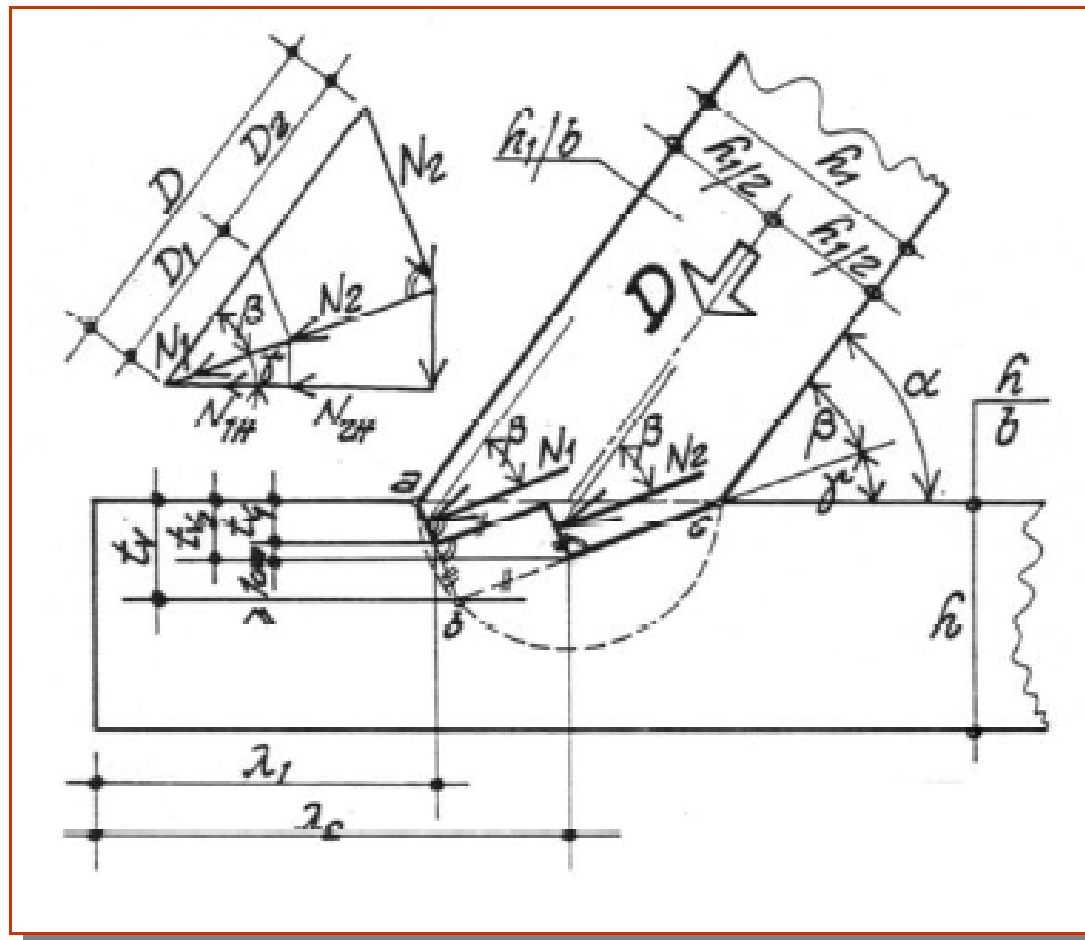
$$t_{v,\max} \leq 2 \cdot \frac{h}{4} - 1 = \frac{h}{2} - 1$$

- Za  $\alpha > 60^\circ$

$$t_{v,\max} \leq 2 \cdot \frac{h}{6} - 1 = \frac{h}{3} - 1$$

## ■ Proračun priključka dvostrukim zasjekom

- Projekcije sile  $D$  u kosniku preuzimaju oba čela zasjeka, a sile  $N_1$  i  $N_2$  proporcionalne su dubinama zasijecanja  $t_{v,1}$  i  $t_{v,2}$

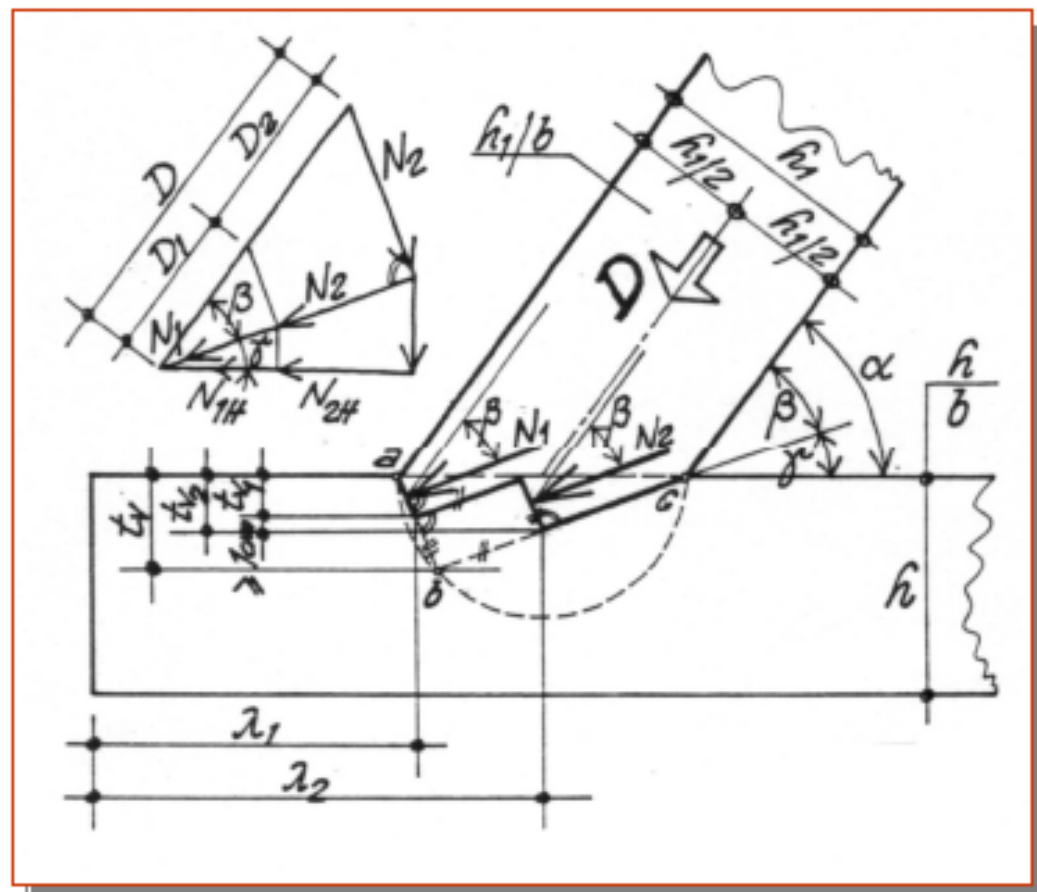


- Primjer za zasjek pod pravim kutom

$$N_1 = D \cdot \cos \beta \cdot \frac{t_{v,1}}{t_v}$$

$$N_2 = D \cdot \cos \beta \cdot \frac{t_{v,2}}{t_v}$$

- Projekcije sile D u kosniku  $N_{1H}$  i  $N_{2H}$  prihvataju obje posmične ravnine u pojasu duljina  $\lambda_1$  i  $\lambda_1 - \lambda_2$
- Projekciju sile D,  $N_{1H} + N_{2H}$  prihvata posmilčna duljina  $\lambda_2$



Horizontalne projekcije sile D u kosniku i posmične duljine za dvostrukе zasjeke pod pravim kutom:

$$N_{1H} = N_1 \cdot \cos \gamma$$

$$N_{2H} = N_2 \cdot \cos \gamma$$

$$\lambda_1 \geq \frac{N_{1H}}{b \cdot f_{v,d}}$$

$$\lambda_1 - \lambda_2 \geq \frac{N_{2H}}{b \cdot f_{v,d}}$$

$$\lambda_2 \geq \frac{N_{1H} + N_{2H}}{b \cdot f_{v,d}}$$

- Pomoći izrazi za proračun čeonih i petnih jednostrukih zasjeka i dvostrukog zasjeka

Čeoni zasjek (S)	Petni zasjek (F)	Dvostruki zasjek (D)
$R_{S,d} = b t_V f_{c,0,d} k_S$	$R_{F,d} = b t_V f_{c,0,d} k_F$	$R_{D,d} = R_{S,d} + R_{F,d}$
$k_S = \frac{f_{c,0,d}}{4}$	$k_F = \frac{f_{c,0,d}}{f_{c,90,d}}$	
$\frac{f_{c,0,d}}{f_{c,90,d}} \sin^2 \alpha + \cos^2 \alpha + 2 \cos \alpha + 1$	$\frac{f_{c,0,d}}{f_{c,90,d}} \sin^2 \alpha \cos \alpha + \cos^3 \alpha$	
$I_V \geq \frac{N_d \cos \alpha}{b f_{v,d}}$	$I_V \geq \frac{N_d \cos \alpha}{b f_{v,d}}$	$I_{V,1} \geq \frac{N_{S,d} \cos \alpha}{b f_{v,d}}, I_{V,2} \geq \frac{N_d \cos \alpha}{b f_{v,d}}$
Puno drvo (PD) <sup>1)</sup> i lijepljeno lamelirano drvo (LLD) klase BSH BS 11		
$R_{S,d} \approx 0,7 b t_V f_{c,0,d}$	$R_{F,d} \approx 0,5 b t_V f_{c,0,d}$	$R_{D,d} \approx 1,06 b t_{V,2} f_{c,0,d}$
Puno drvo (PD) klase MS 13 i lijepljeno lamelirano drvo (LLD) klase BSH BS 14 BS 16 <sup>2)</sup> BS 18		
$R_{S,d} \approx 0,65 b t_V f_{c,0,d}$	$R_{F,d} \approx 0,44 b t_V f_{c,0,d}$	$R_{D,d} \approx 0,96 b t_{V,2} f_{c,0,d}$

1) osim klase MS 13

2) osim klase BS 16h

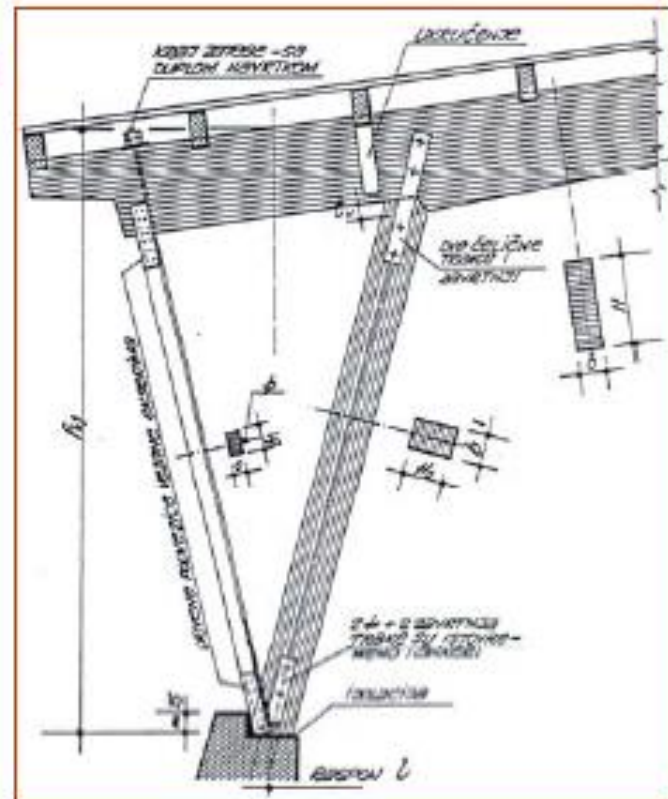
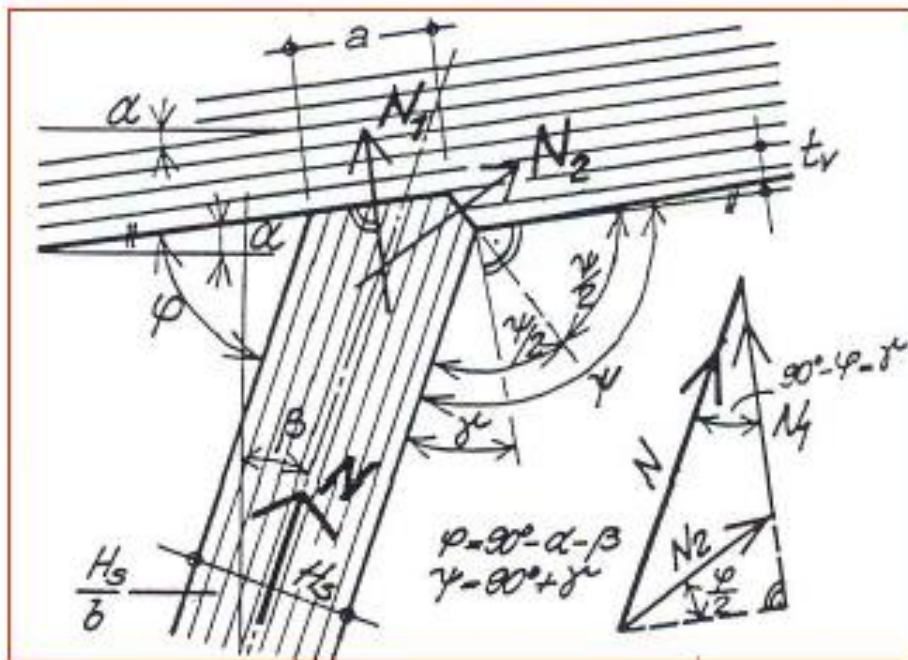
- Vrijednosti faktora  $k_s$  (za čoni zasjek) i  $k_E$  za petni zasjek

	$\alpha$	15°	20°	25°	30°	35°	40°	45°	50°	55°	60°
PD <sup>1)</sup>	$k_S$	0,959	0,930	0,896	0,864	0,829	0,797	0,767	0,741	0,719	0,702
BSH BS 11	$k_F$	0,834	0,749	0,672	0,608	0,559	0,525	0,505	0,500	0,510	0,541
PD MS 13	$k_S$	0,948	0,913	0,874	0,833	0,793	0,755	0,721	0,691	0,665	0,645
BS 14/16 <sup>2)/18</sup>	$k_F$	0,805	0,710	0,626	0,559	0,508	0,472	0,451	0,444	0,451	0,476

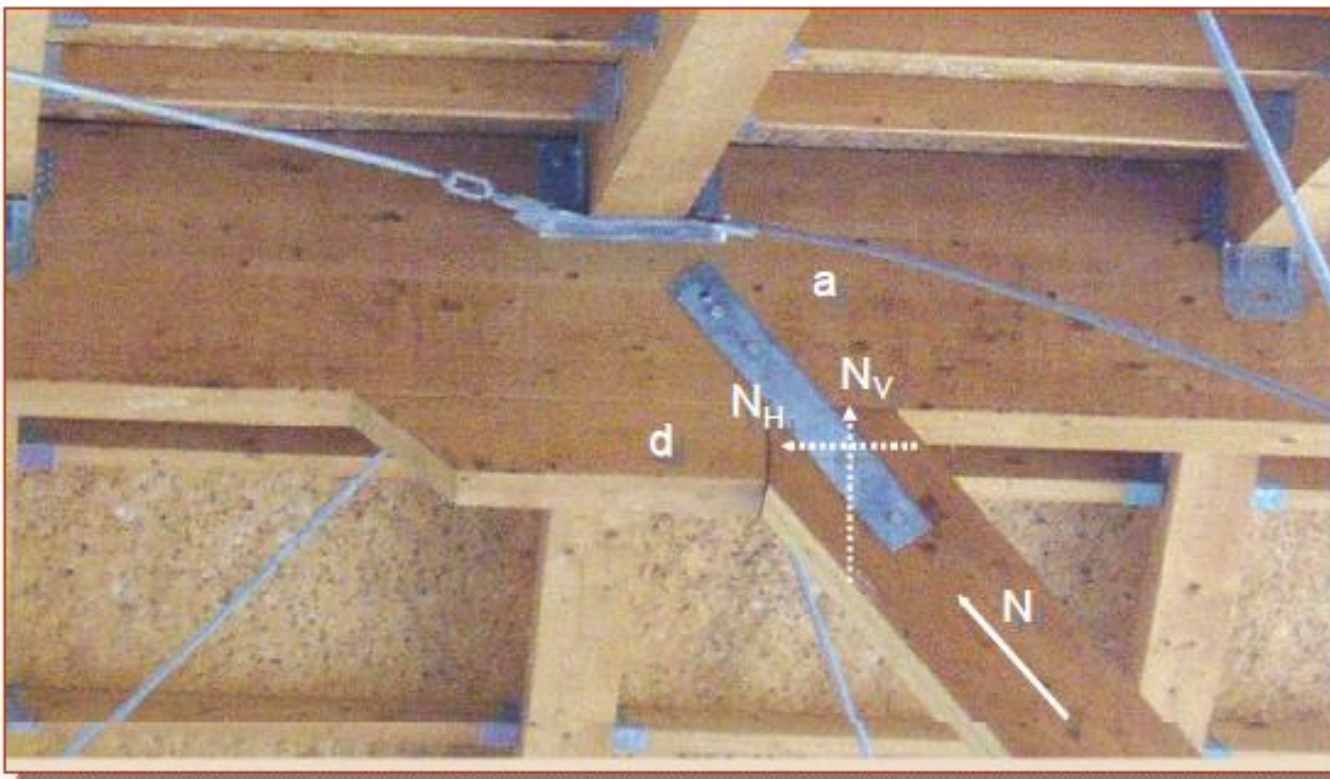
<sup>1)</sup> Ne vrijedi za puno drvo klase MS13.

<sup>2)</sup> Ne vrijedi za lijepljeno lamelirano drvo klase BS 16H.

#### ▪ Primjena u suvremenim konstrukcijama



- Priklučci bez zasijecanja – posredan priključak kosog stupa

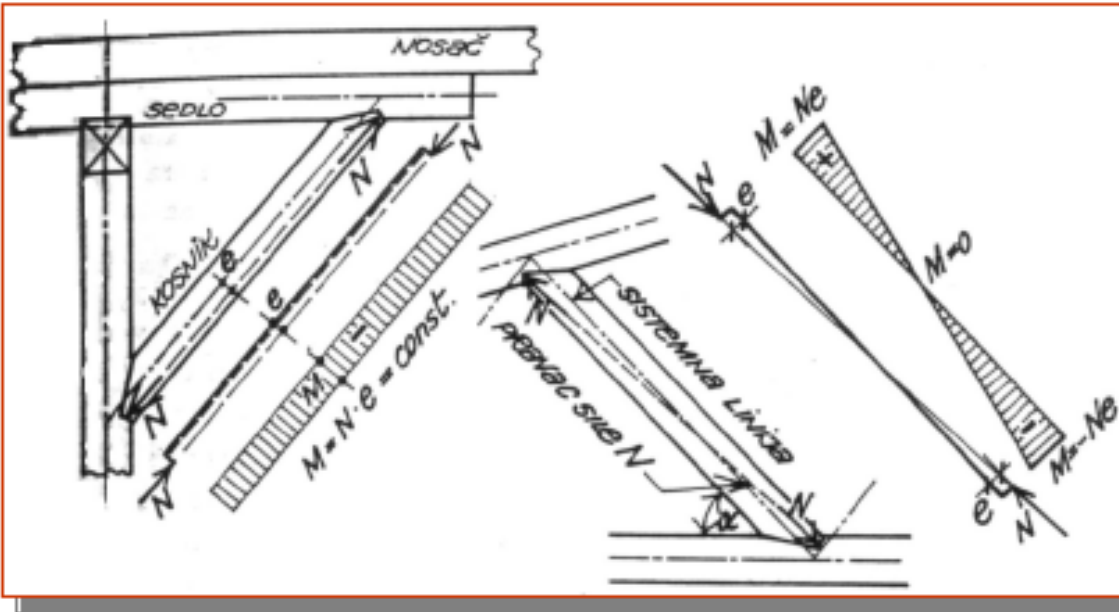


Vezu kladice i grede spajalima treba dimenzionirati na vrijednost komponente  $N_H$

$$\sigma_{c,0,d} = \frac{N_H}{d \cdot b} \leq f_{c,0,d}$$

$$\sigma_{c,90,d} = \frac{N_V}{a \cdot b} \leq k_{c,90} \cdot f_{c,90,d}$$

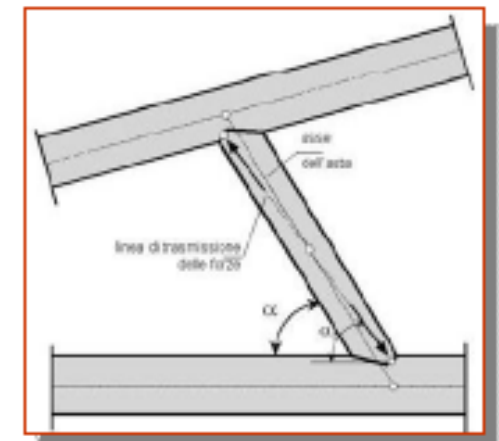
- Utjecaj ekscentriciteta u priključcima zasjekom na stabilnost tlačnog štapa



- Ekscentricitet osne tlačne sile:  $\Delta M = \Delta M_y = N \cdot e$

$$\frac{\sigma_{c,0,d}}{k_{c,y} \cdot f_{c,0,d}} + \frac{\Delta\sigma_{m,y,d}}{k_{crit} \cdot f_{m,d}} + k_m \frac{\sigma_{m,z,d}}{k_{crit} \cdot f_{m,d}} \leq 1$$

$$\frac{\sigma_{c,0,d}}{k_{c,z} \cdot f_{c,0,d}} + k_m \frac{\Delta\sigma_{m,y,d}}{k_{crit} \cdot f_{m,d}} + \frac{\sigma_{m,z,d}}{k_{crit} \cdot f_{m,d}} \leq 1$$



Izvedba spoja sa dvostrukim zasječkom zahtijeva veliku preciznost kako bi se osigurao kontakt između svih površina što se u današnje vrijeme može postići samo uz pomoć strojeva sa numeričkom kontrolom. Kod takvih spojeva potrebno je dakle obratiti veću pažnju na odstupanja tijekom obrade.

Za visine zasječka DIN 1052 propisuje:

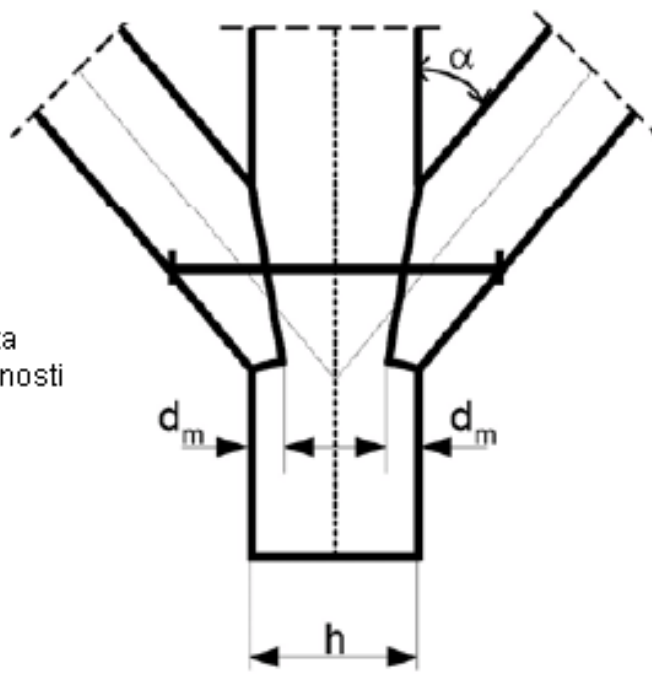
spoј stup – kosnik

$$d_m \leq \frac{h}{4} \quad \alpha < 50^\circ$$

$$d_m \leq \frac{h}{6} \quad 50^\circ \leq \alpha$$

} interpolacija za srednje vrijednosti

simetrični spojevi...  $d_m \leq \frac{h}{6} \quad \forall \alpha$



# TESARSKI PRIKLJUČCI

## – STATIČKE VEZE –

Prehvaćanja i sudari s  
izravnim i posrednim prijenosom sile

## ■ TESARSKI STATIČKI PRIKLJUČCI

- Priključci koji se izvode prema statičkom proračunu primjenom tesarskih tehnika spajanja
  - Prihvataju tlačna i posmična naprezanja – zasjeci, sudari
  - Prihvataju vlačna naprezanja – prehvaćanja
- IZRAVNI PRIKLJUČCI – VEZE S IZRAVNIM PRIJENOSOM SILA
  - U prihvaćanju sila sudjeluju samo glavni elementi priključka
  - Proračunsko naprezanje ne prelazi proračunsku otpornost dodirne površine,  $E_d \leq S_d$ 
    - zasjeci, sudari, prehvaćanja
- POSREDNI PRIKLJUČCI – VEZE S POSREDNIM PRIJENOSOM SILA
  - U prihvaćanju sudjeluju i posredni elementi priključka i spajala
  - Proračunsko naprezanje veće je od proračunske otpornosti dodirne površine,  $E_d > S_d$ 
    - Sudari (kosi i okomiti), veze bez zasijecanja (pojasa)

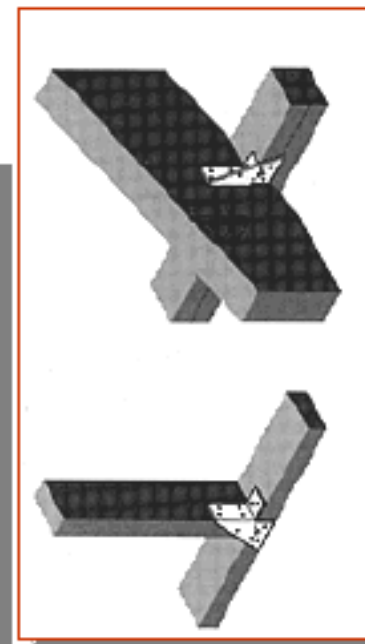
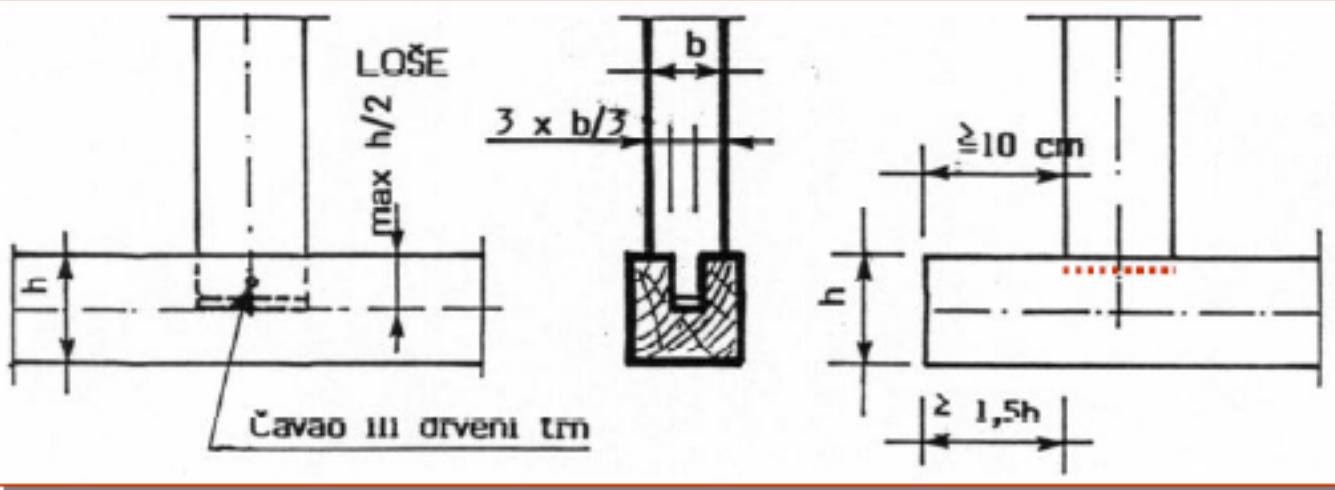
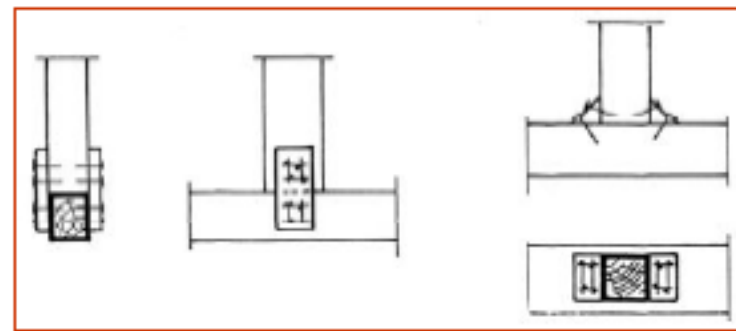
## ■ IZRAVNI SUDARI

- Prijenos **TLAČNE SILE  $\leq 90^\circ$**  na drugi element

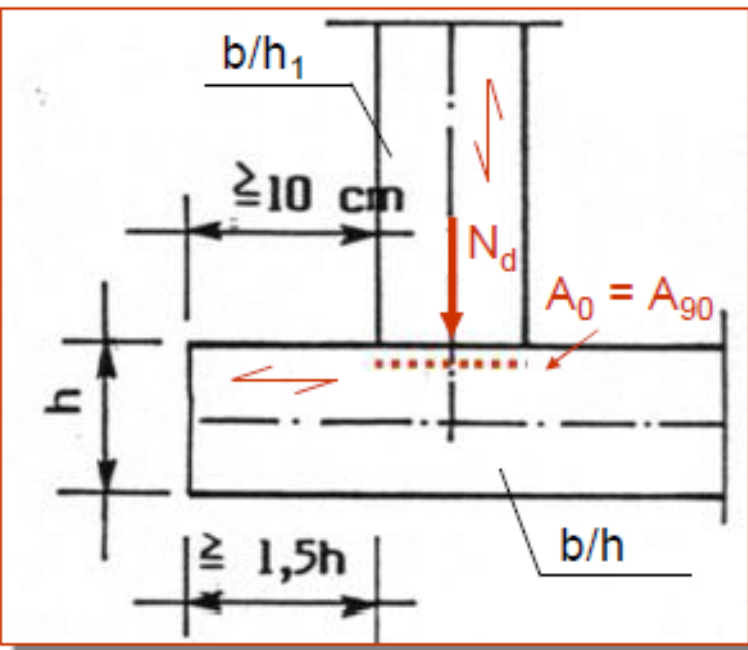
- Otpornost priključka – otpornost na površini dodira

ZADOVOLJAVA PROVJERU NAPREZANJA

- Okomiti sudari –  $\sigma_{c,90,d} \leq f_{c,90,d}$
- Kosi sudari –  $\sigma_{c,\alpha,d} \leq k_{c,\alpha} f_{c,0,d}$



- Provjera otpornosti priključka – izravni okomiti sudar



- Stabilnost tlačnog elementa izvan priključka

$$\sigma_{c,0,d} = \frac{N_d = N_{0,d}}{A_0} \leq k_{cy(z)} f_{c,0,d}$$

Spajala i vezice – konstruktivni elementi (osiguranje veze) u izravnim sudarima

- Otpornost presjeka na površini dodira:

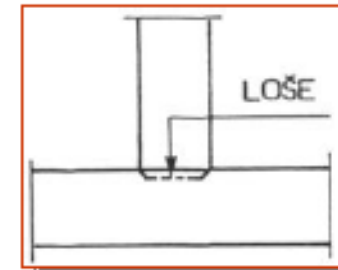
$$\sigma_{c,90,d} = \frac{N_d = N_{90,d}}{A_{90}} \leq f_{c,90,d}$$

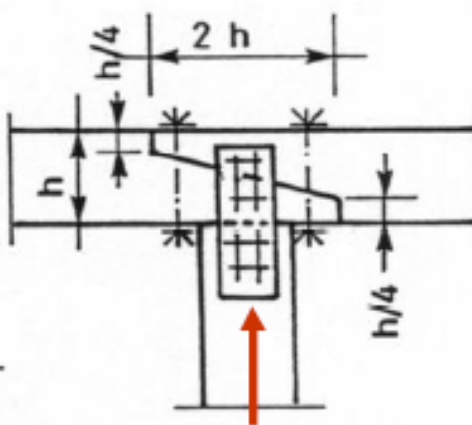
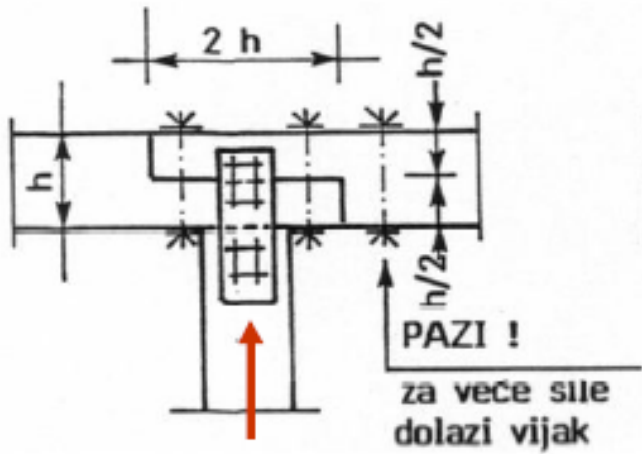
$$A_{90} = b h_1 \quad (k_{c,90} = 1)$$

- Otpornost presjeka na kraju priključenog tlačnog štapa:

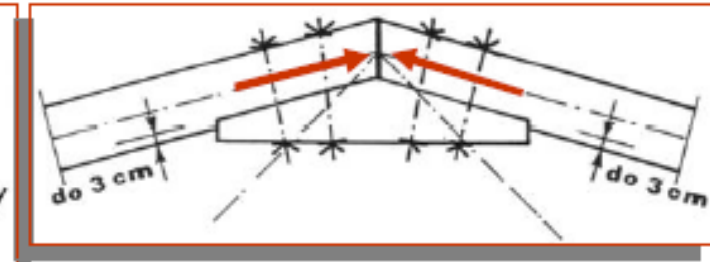
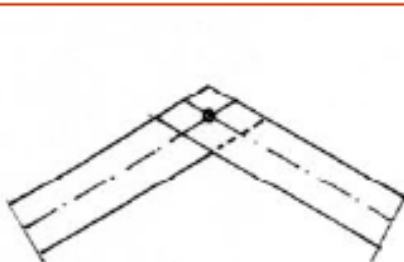
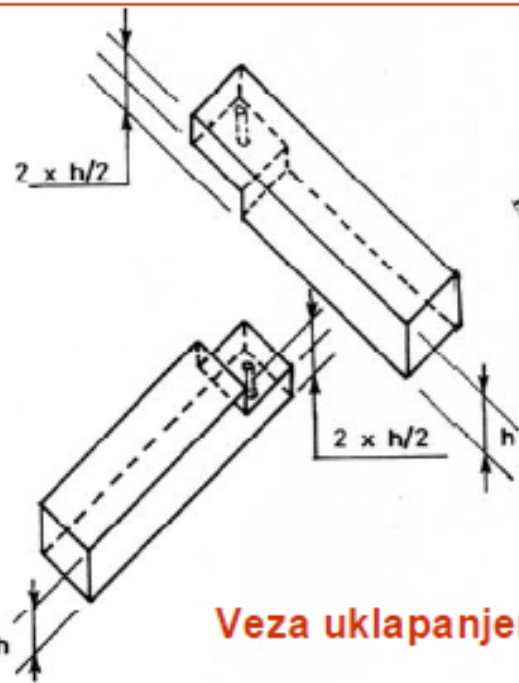
$$\sigma_{c,0,d} = \frac{N_d = N_{0,d}}{A_0} \leq f_{c,0,d}$$

$$A_0 = b h_1$$

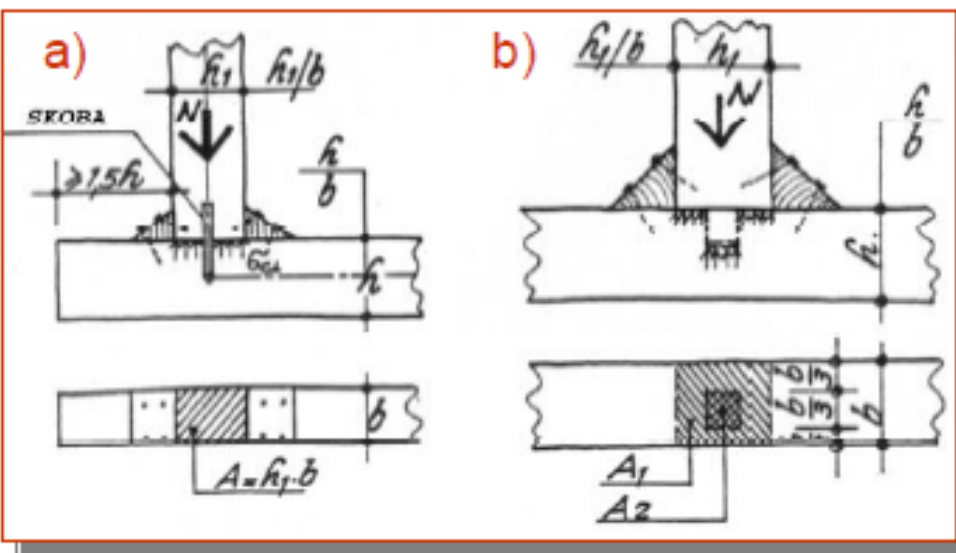




- IZRAVNI OKOMITI SUDAR
- IZRAVNI KOSI SUDAR



- Provjera otpornosti priključka – izravni okomiti sudar s učepljenjem



- Otpornost presjeka na površinama dodira  $A_1$  i  $A_2$

$$\sigma_{c,90,d,1} = \frac{N_d = N_{90,d}}{A_1} \leq f_{c,90,d}$$

$$\sigma_{c,90,d,2} = \frac{N_d = N_{90,d}}{A_2} \leq f_{c,90,d}$$

$$A_1 = 2 \cdot (2/3)^2 b h_1$$

$$A_2 = (1/3)^2 b h_1$$

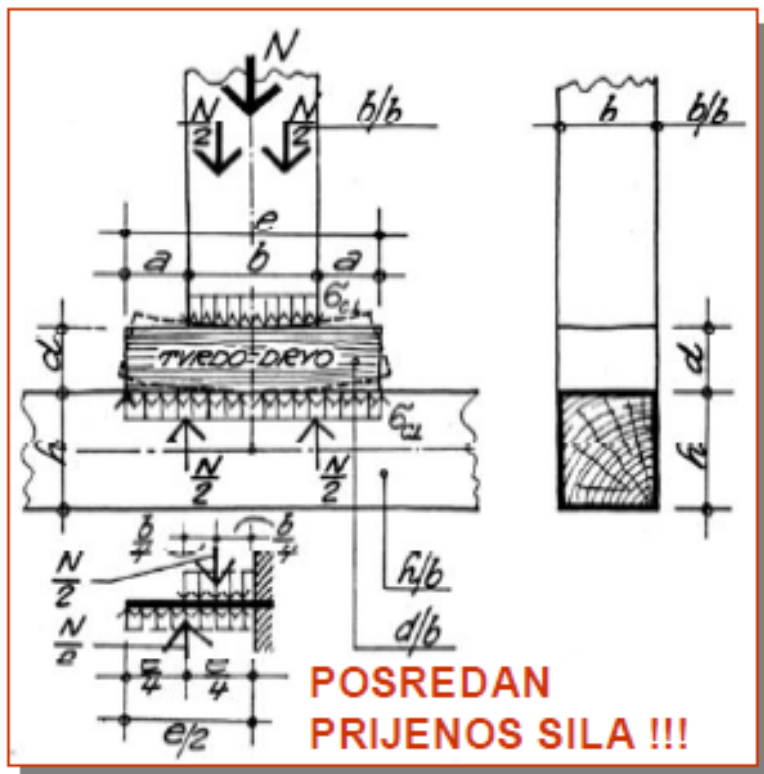
- **Priklučci s posrednim prijenosom sile**
- **POSREDNI SUDARI**
  - Prijenos **TLAČNE SILE**  $\leq 90^\circ$  na drugi element
    - Otpornost priključka (glavnih elemenata) **NE ZADOVOLJAVA** provjeru naprezanja na površini dodira
      - Okomiti sudari –  $\sigma_{c,90,d} > f_{c,90,d}$
      - Kosi sudari –  $\sigma_{c,\alpha,d} > k_{c,\alpha} f_{c,0,d}$
    - Nedostatna otpornost priključka glavnih elemenata rješava se uvođenjem posrednih elemenata (dodatni elementi):
      - povećava se površina dodira (s elementom na koji se prenosi sila)
      - povećava se čvrstoća (drveni posredni elementi višeg razreda čvrstoće / čelični elementi)
        - povećanje otpornosti na dodiru posrednika (podložni element) i tlačnog elementa)

## ▪ POSREDNI SUDARI

- Posredni elementi se SPAJALIMA povezuju s glavnim elementom na koji se prenosi sila.
  - Posredni elementi i spajala – nosivi elementi čiju otpornost treba proračunati (prenose sile).
- Ako su posredni elementi priključka drvena bočna proširenja (drvene vezice, umetci) i spajala – kombiniran prijenos sile:
  - Otpornost posrednih elemenata i priključka treba proračunati na 50% uvećanu razliku ukupne proračunske sile koju **treba** preuzeti priključak,  $N_{u,d}$  i proračunske sile koju **može** preuzeti priključak – površina dodira tlačnog elementa i elementa na koji se priključuje,  $N_{k,d}$ .
$$1,5 \cdot \Delta N_d = 1,5 \cdot (N_{u,d} - N_{k,d})$$
  - **Spajala za vezu svih bočnih proširenja i tlačnog elementa** treba dimenzionirati na 50% uvećanu razliku istih sila,  $N_{u,d}$ .

$$n \geq \frac{1,5 \cdot \Delta N_d}{\sum R_d}$$

## ▪ POSREDNI SUDAR S PROŠIRENJEM KЛАДИКОМ



- Otpornost presjeka na proširenoj površini dodira posrednika – kladice od tvrdog drva i pojasa od mekog drva,  $A_1 = e \cdot b$

- Otpornost presjeka na izravnoj površini dodira tlačnog štapa i pojasa (od mekog drva),  $A = b \cdot b$

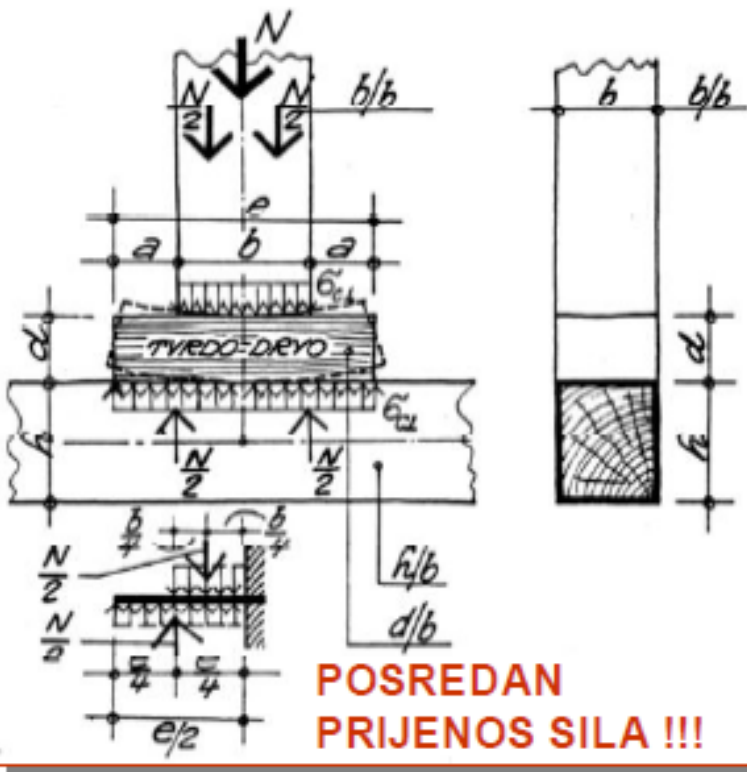
$$\sigma_{c,90,d} = \frac{N_d}{A} = \frac{N_{90,d}}{A} > f_{c,90,d}$$

- Otpornost presjeka na površini dodira tlačnog štapa i posrednika – kladice od tvrdog drva,  $A = b \cdot b$

$$\sigma_{c,90,d} = \frac{N_d}{A} = \frac{N_{90,d}}{A} \leq f_{c,90,d}$$

$$\sigma_{c,90,d} = \frac{N_d}{A_1} = \frac{N_{90,d}}{A_1} \leq f_{c,90,d}$$

$$e \geq \frac{N_d}{b \cdot f_{c,90,d}}$$



- Otpornost presjeka posrednika od tvrdog drva na savijanje,  $W = d^2 \cdot b / 6 \text{ mm}^3$

$$\sigma_{m,y,d} = \frac{M_{y,d}}{W} \leq f_{m,d}$$

$$M_{y,d} = \frac{N_d}{2 \cdot \frac{e}{2} \cdot b} \cdot \left( \frac{e^2}{8} \right) - \frac{N_d}{2 \cdot \frac{b}{2} \cdot b} \cdot \left( \frac{b^2}{2} \right)$$

$$M_{y,d} = \frac{N_d}{8} \cdot \left( \frac{e^2}{e \cdot b} - \frac{b^2}{b \cdot b} \right) = \frac{N_d}{8} \cdot (e - b)$$

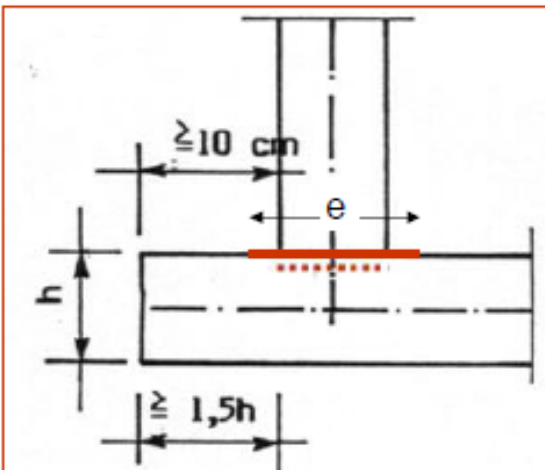
- Otpornost pravokutnog presjeka posrednika na posmik,  $A_p = d \cdot b$

$$\tau_{v,d} = 1,5 \cdot \frac{V_d}{A_p} = 1,5 \cdot \frac{N_d}{A_p} \cdot \frac{a}{e} \leq f_{v,d}$$

- Potrebna visina posrednika od tvrdog drva,  $d$

$$d \geq \min(d_{\sigma_m}; d_{\tau_v})$$

- POSREDNI SUDAR S PROŠIRENJEM ČELIČNOM PODLOŽNOM PLOČOM  $\neq e/b \dots t$



- Otpornost presjeka na izravnoj površini dodira tlačnog štapa i pojasa (od mekog drva),  $A = b \cdot b$

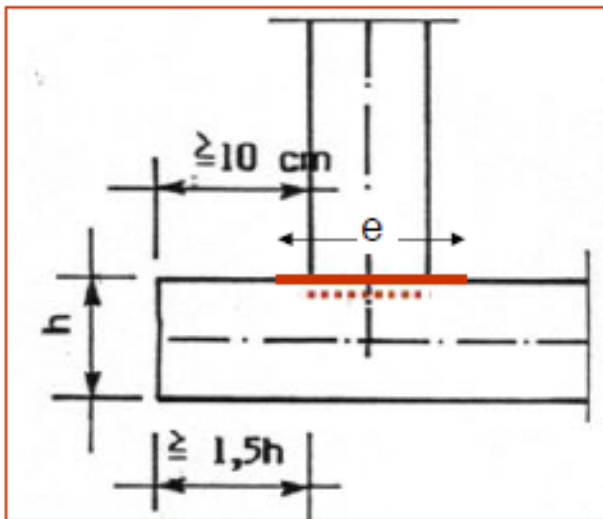
$$\sigma_{c,90,d} = \frac{N_d = N_{90,d}}{A} > f_{c,90,d}$$

- Otpornost presjeka na proširenoj površini dodira posrednika – čelične podložne ploče i pojasa od mekog drva,  $A_1 = e \cdot b$

$$\sigma_{c,90,d} = \frac{N_d = N_{90,d}}{A_1 > A} \leq f_{c,90,d}$$

$$e \geq \frac{N_d}{b \cdot f_{c,90,d}}$$

- POSREDNI SUDAR S PROŠIRENJEM ČELIČNOM PODLOŽNOM PLOČOM  $\neq e/b \dots t$

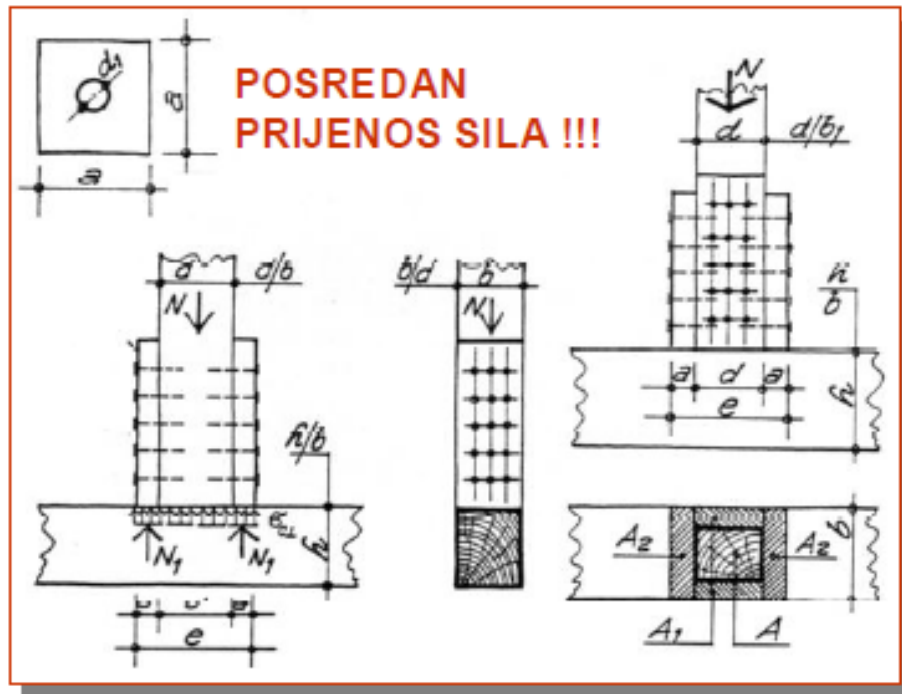


- Čelična podložna ploča – poprečni presjek razreda 3 / otpornost na savijanje (postupak elastično-elastično),  $W = b \cdot t^2/6$

$$M_{Sd}^{el} = \frac{N_d}{8} \cdot (e - b) \leq M_{Rd}^{el}$$

$$M_{Rd}^{el} = W_{el} \cdot \frac{f_y}{\gamma_{M_0=1,1}} = \frac{b \cdot t^2}{6} \cdot \frac{f_y}{1,1}$$

- POSREDNI SUDAR S PROŠIRENJEM TLAČNOG ELEMENTA VANJSKIM DRVENIM VEZICAMA 2a/b



- Otpornost presjeka na kraju tlačnog štapa površine,  $A = d \cdot b$

$$\sigma_{c,0,d} = \frac{N_d = N_{0,d}}{A} \leq f_{c,0,d}$$

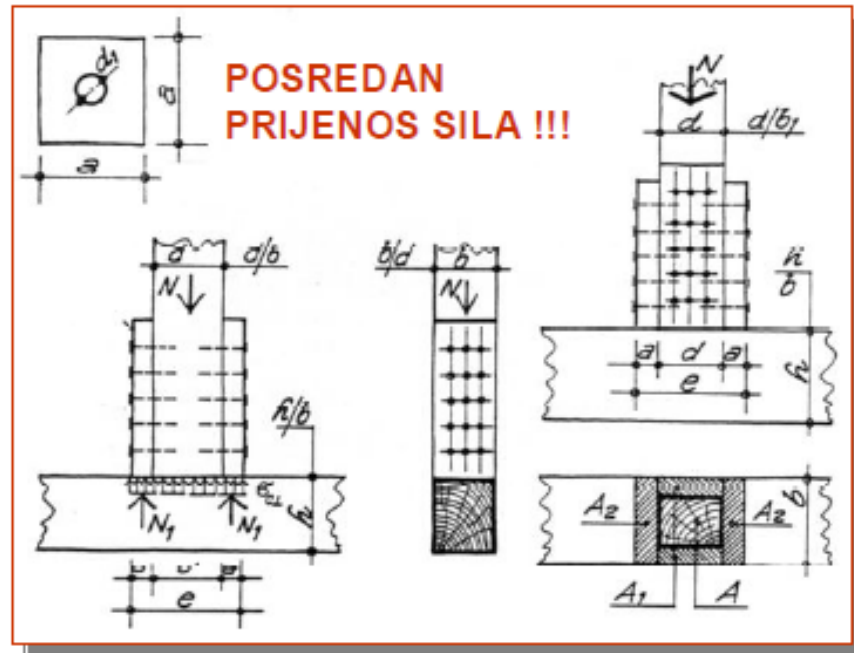
- Otpornost presjeka na površini izravnog dodira tlačnog štapa i pojasa,  $A = d \cdot b$

$$\sigma_{c,90,d} = \frac{N_d = N_{90,d}}{A} > f_{c,90,d}$$

- Proračunska sila koju izravno može prihvati površina dodira:

$$N_{k,d} = f_{c,90,d} \cdot A$$

- POSREDNI SUDAR S PROŠIRENJEM TLAČNOG ELEMENTA VANJSKIM DRVENIM VEZICAMA 2a/b



- Proračunska sila koju moraju prihvatiti obostrane drvene vezice površine  $A_v = 2a \cdot b$ :

$$\Delta N_d = 1,5 \cdot (N_d - N_{k,d}) = 1,5 \cdot N_{1,d}$$

- Proračunska otpornost presjeka na krajevima posredno opterećenih drvenih vezica:

$$\sigma_{c,0,d} = \frac{\Delta N_d}{A_v} \leq f_{c,0,d}$$

- Otpornost presjeka na proširenoj tlačnoj površini,  $A_u = A + A_v$

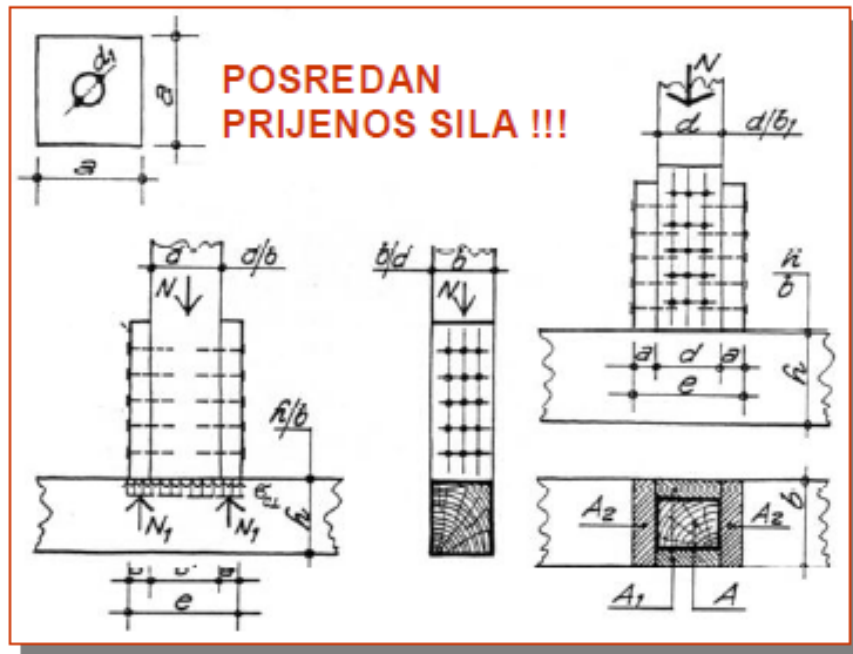
$$\sigma_{c,90,d} = \frac{N_d}{A_u} = \frac{N_d}{e \cdot b} \leq f_{c,90,d}$$

$$e \geq \frac{N_d}{b \cdot f_{c,90,d}}$$

$$N_{1,d} = \frac{N_d}{e}$$

36

- POSREDNI SUDAR S PROŠIRENjem TLAČNOG ELEMENTA VANJSKIM DRVENIM VEZICAMA 2a/b



- Potreban broj **spajala** za vezu obostranih drvenih vezica i tlačnog štapa:

$$n \geq \frac{\Delta N_d}{\sum R_d}$$

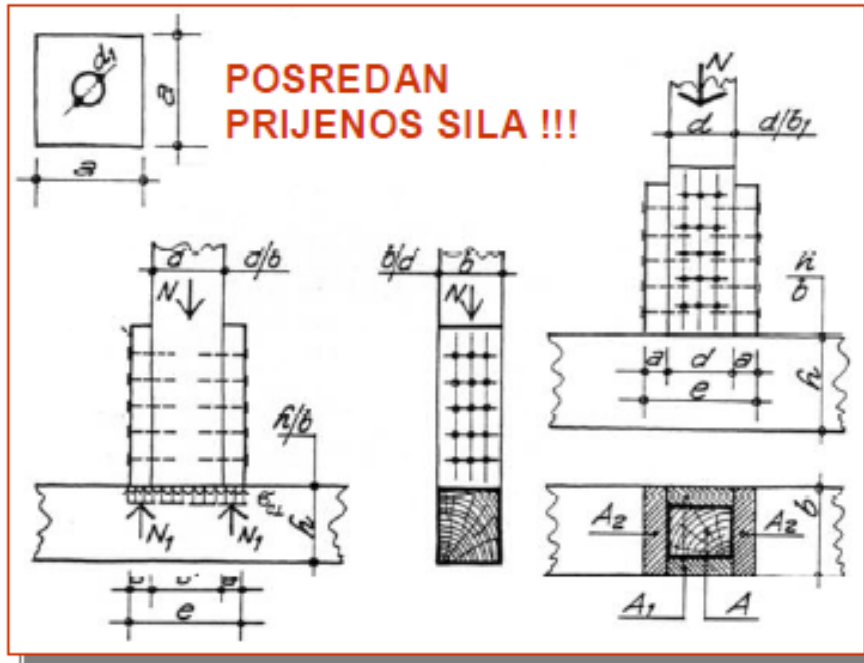
- Proračunska otpornost presjeka na dodiru posredno opterećenih drvenih vezica i pojasa i potrebna površina vezica:

$$\sigma_{c,90,d} = \frac{\Delta N_d}{A_v} = \frac{\Delta N_d}{2a \cdot b} \leq f_{c,90,d}$$

→

$$A_v \geq \frac{\Delta N_d}{f_{c,90,d}}$$

- POSREDNI SUDAR S PROŠIRENJEM TLAČNOG ELEMENTA  
ČETVEROSTRANIM DRVENIM VEZICAMA



- Otpornost presjeka na površini izravnog dodira tlačnog štapa i pojasa,  
 $A = d \cdot b_1$

$$\sigma_{c,90,d} = \frac{N_d}{A} = \frac{N_{90,d}}{A} > f_{c,90,d}$$

- Proračunska sila koju izravno može prihvatiti površina dodira:

$$N_{k,d} = f_{c,90,d} \cdot A$$

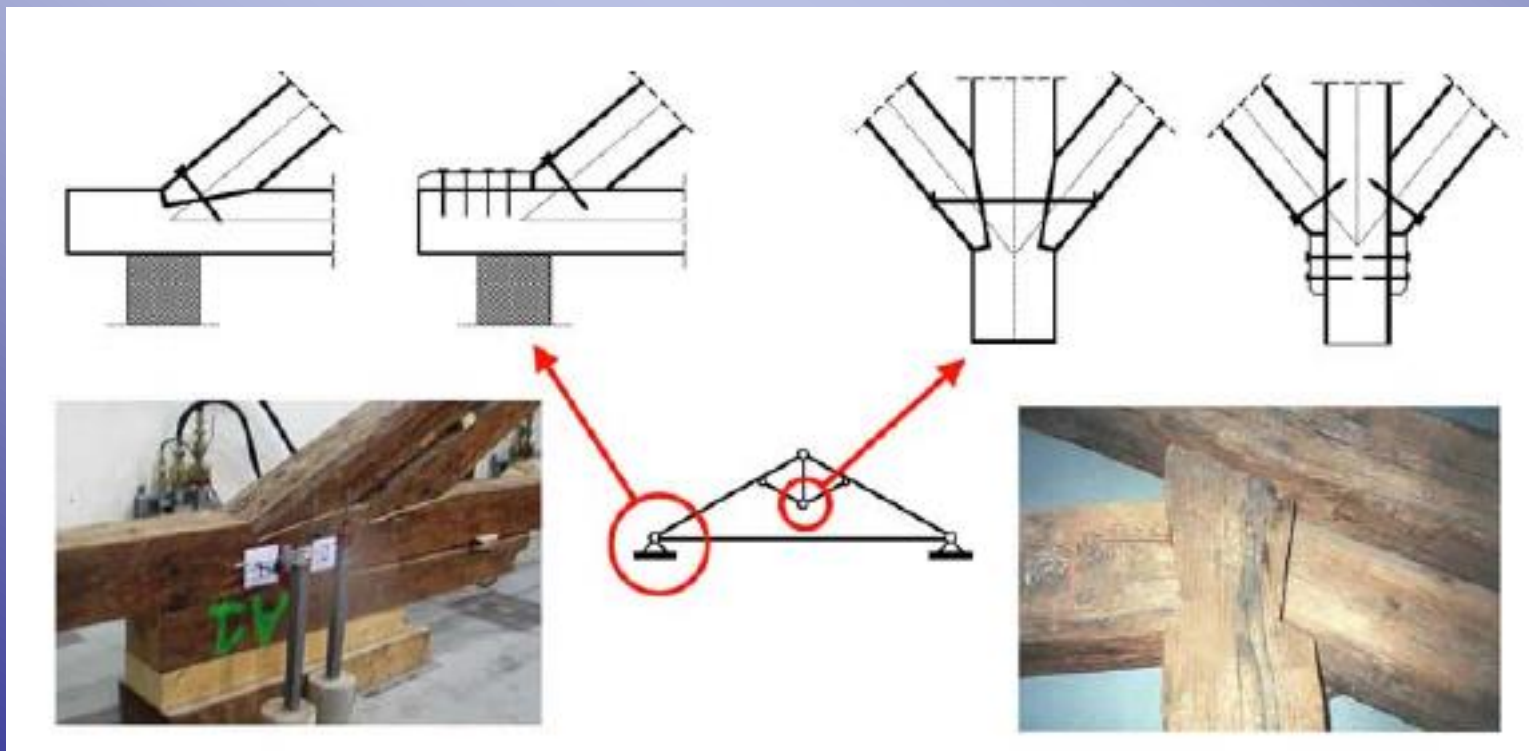
- Proračunska sila koju moraju prihvatiti četverostrane drvene vezice površine  
 $\Sigma A_v: = 2(A_1 + A_2)$

$$\Delta N_d = 1,5 \cdot (N_d - N_{k,d}) = 1,5 \cdot N_{1,d}$$

# Najčešći tesarski spojevi

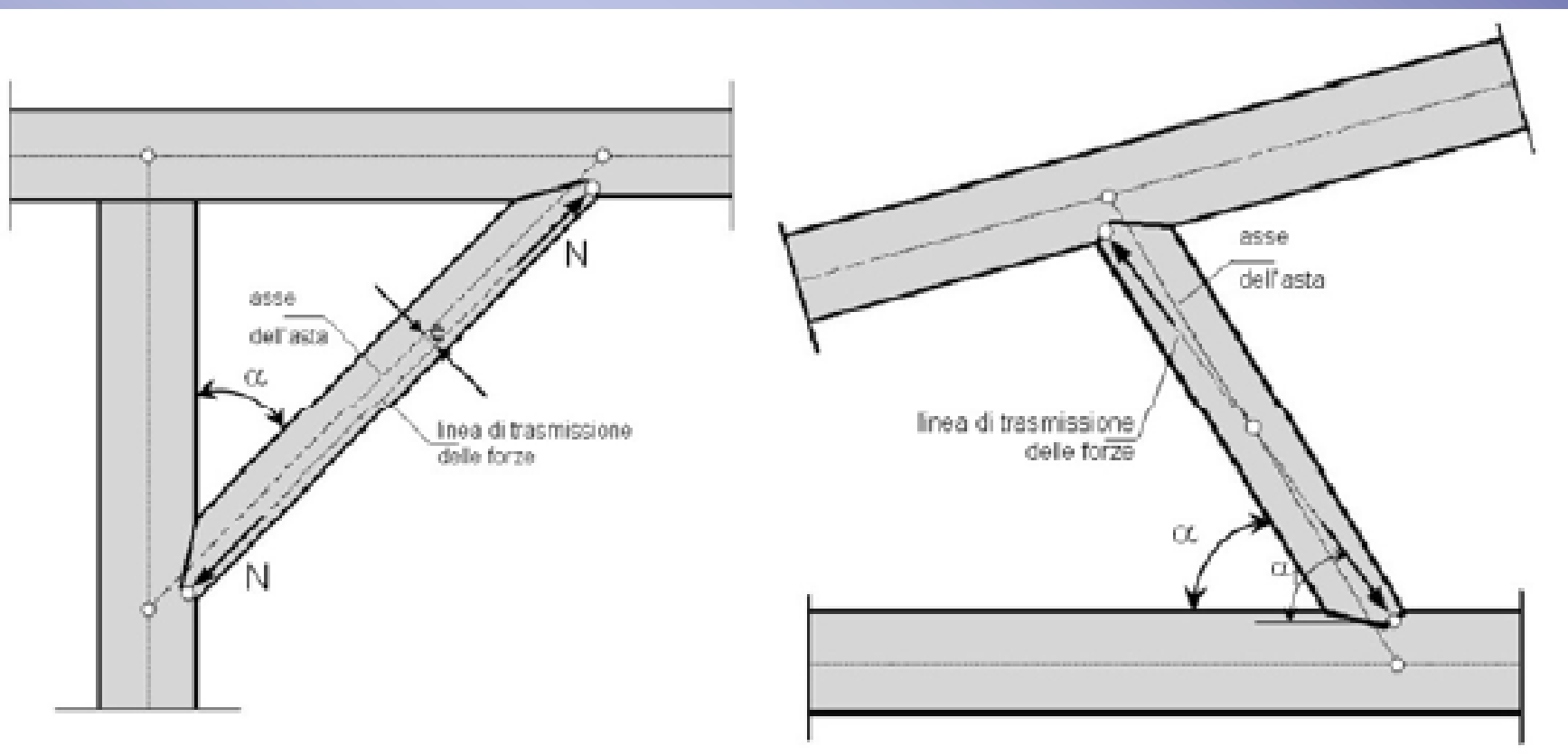
Tesarski spojevi mogu biti opterećeni ne samo na tlak nego i vlak i posmik.

- Spoj kosnika sa gredom-lijevo; spoj kosnika sa stupom-desno



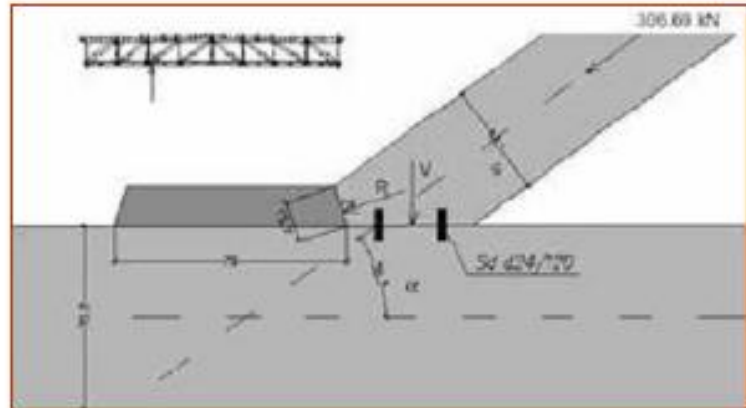
# Daljnja istraživanja

- Daljnja ispitivanja na spojnim elementima uzrokuju li spojevi ekscentričnost i slaba mjesta, nosive elemente treba dodatno provjeriti.



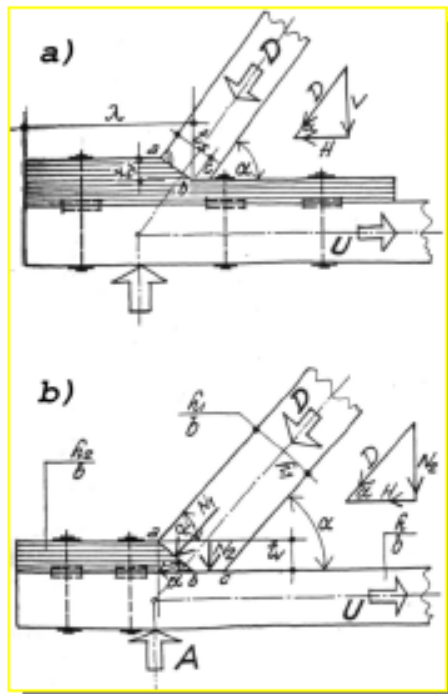
**PRIKLJUČCI S POSREDNIM PRIJENOSOM SILA**  
– prijenos kose tlačne sile bez zasijecanja pojasa –

- Primjena posrednih priključaka u rešetkastim konstrukcijama



## ▪ POSREDAN PRIJENOS (KOSE TLAČNE) SILE

- Priključci tlačnih kosih štapova s posrednim elementima:
  - PODLOŽNE KLADICE OD TVRDOG DRVA
  - OBOSTRANA BOČNA PROŠIRENJA
    - Priključenje posrednih elemenata na glavne ostvaruje se spajalima – prihvaćaju projekciju sile iz tlačnog kosnika D.



- Primjena:
  - Tradicionalne drvene konstrukcije
    - Alternativa dvostrukim zasjecima – prihvaćanje većih tlačnih kosih sila.
  - Suvremene drvene konstrukcije
    - Priključci kosih stupova bez oslabljenja glavnih elemenata zasijecanjem.

- PRIKLJUČCI S POSREDNIM PRIJENOSOM SILE

A) Posredni priključak s kladicom od tvrdog drva

- Provjera tlačnih naprezanja pod kutom

$$\sigma_{c,\alpha,d} = \frac{D}{(t_v / \cos \alpha) \cdot b} = \frac{D}{t_s \cdot b} \leq k_{c,\alpha} \cdot f_{c,0,d}$$

- Provjera posmika paralelno s vlaknima

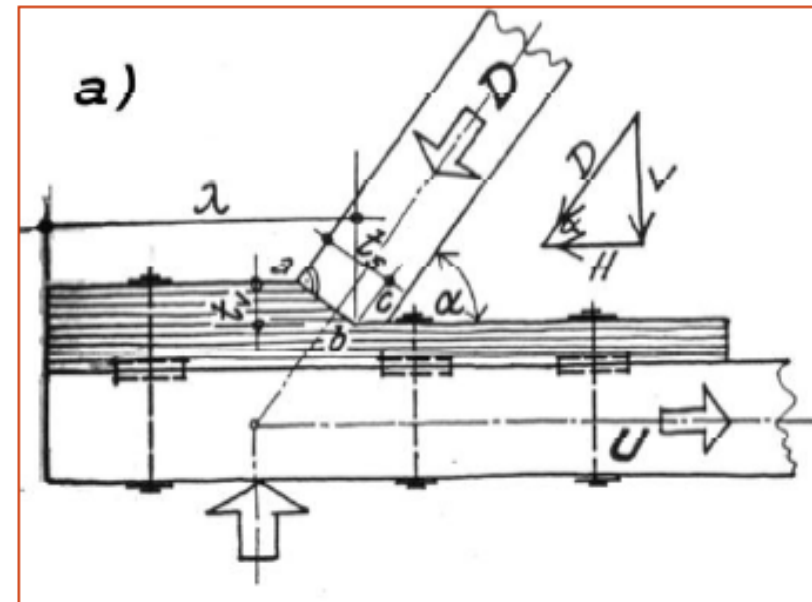
$$\lambda \geq \frac{D \cdot \cos \alpha}{b \cdot f_{v,d}} = \frac{H}{b \cdot f_{v,d}}$$

- Potreban broj spajala za vezu kladice i pojasa

$$n \geq \frac{H}{\sum R_d}$$

$$n \geq \frac{H_d / 1,4}{N_{dop}}$$

za  $n_{ef} > 2$   
moždanika



## PRIKLJUČCI S POSREDNIM PRIJENOSOM SILE

### B) Posredni priključak s kladicom od tvrdog drva

#### 1. Provjera tlačnih naprezanja

- pod kutom na vlakna kladice na duljini  $ab$

$$\sigma_{c,\alpha,d} = \frac{N_1}{ab \cdot b} = \frac{N_1}{(t_v / \cos \alpha) \cdot b} \leq k_{c,\alpha} \cdot f_{c,0,d}$$

- okomito na vlakna pojasa (meko drvo) na duljini  $bc$   
 $(N_2 = D \sin \alpha)$

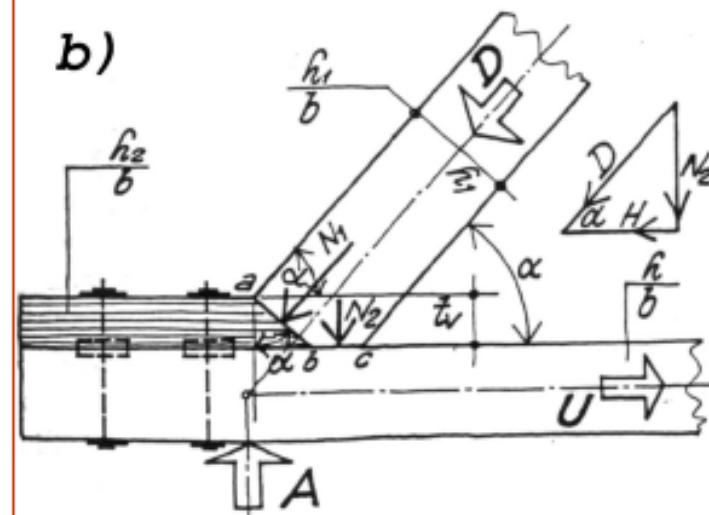
$$\sigma_{c,90,d} = \frac{N_2}{bc \cdot b} \leq k_{c,90} \cdot f_{c,90,d}$$

- geometrijske veličine

$$t_v = h_s$$

$$ab + bc \cdot \sin \alpha = h_1$$

$$h_s / \cos \alpha + bc \cdot \sin \alpha = h_1$$



- PRIKLJUČCI S POSREDNIM PRIJENOSOM SILE

B) Posredni priključak s kladicom od tvrdog drva

2. Provjera posmika paralelno s vlaknima kladice

$$\lambda \geq \frac{N_1 \cdot \cos \alpha}{b \cdot f_{v,d}} = \frac{N_{1H}}{b \cdot f_{v,d}}$$

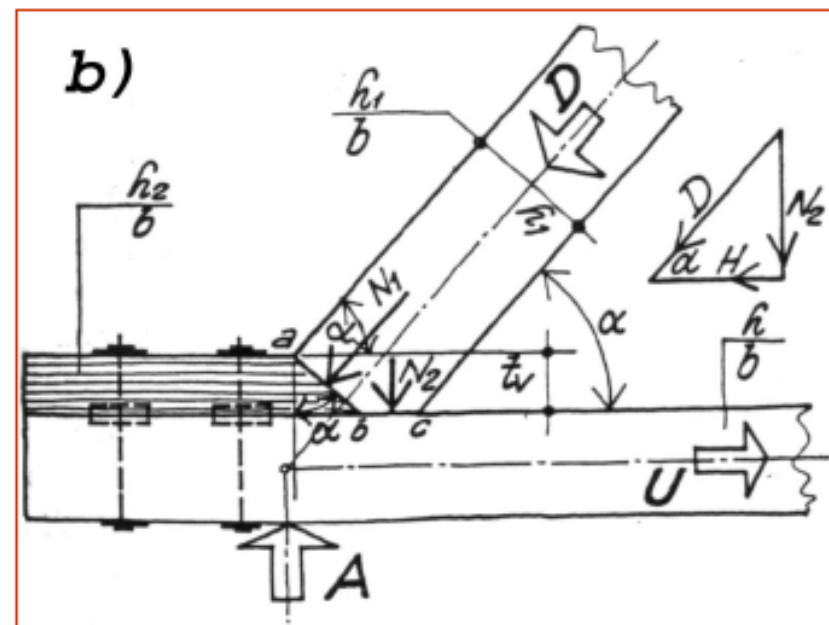
$$N_{1H} = H$$

3. Potreban broj spajala za vezu kladice i pojasa

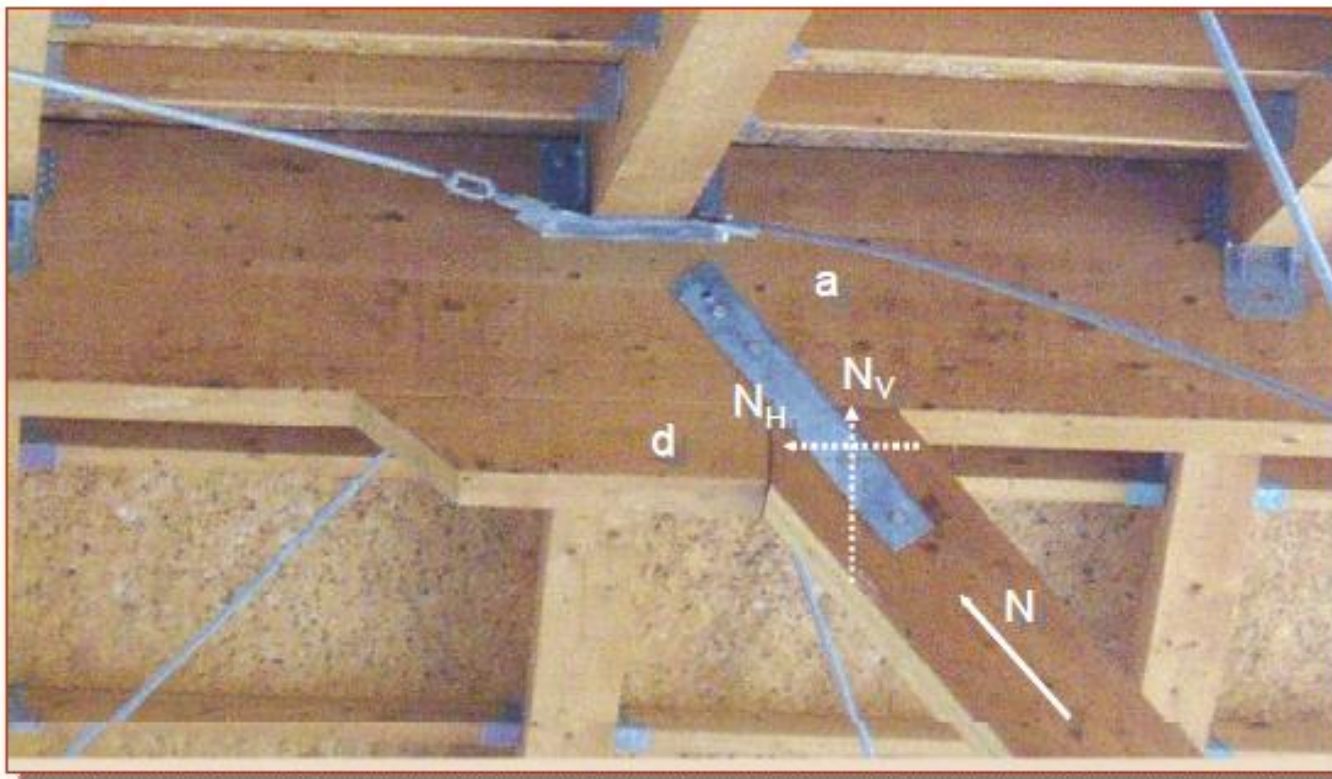
$$n \geq \frac{N_{1H}}{\sum R_d} = \frac{H}{\sum R_d}$$

$$n \geq \frac{H_d / 1,4}{N_{dop}}$$

za  $n = 2$   
moždanika



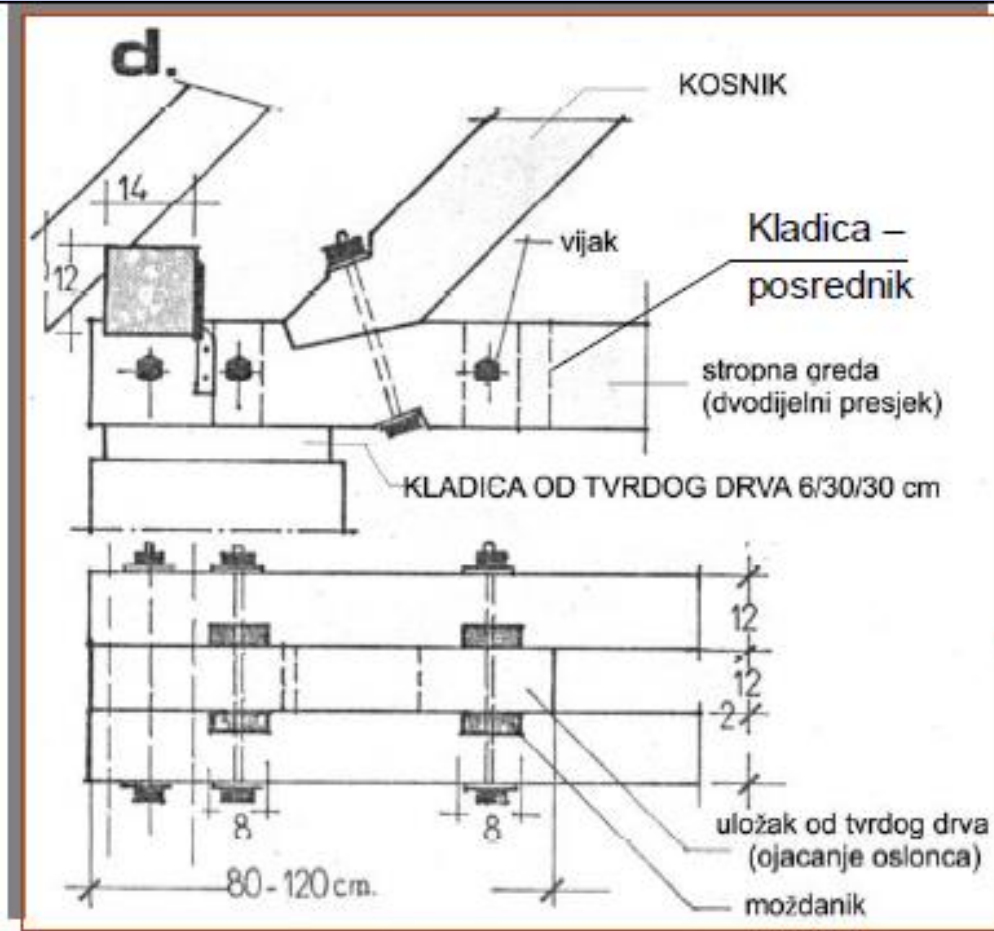
- Priklučci bez zasijecanja – posredan priključak kosog stupa



Vezu kladice i grede spajalima treba dimenzionirati na vrijednost komponente  $N_H$

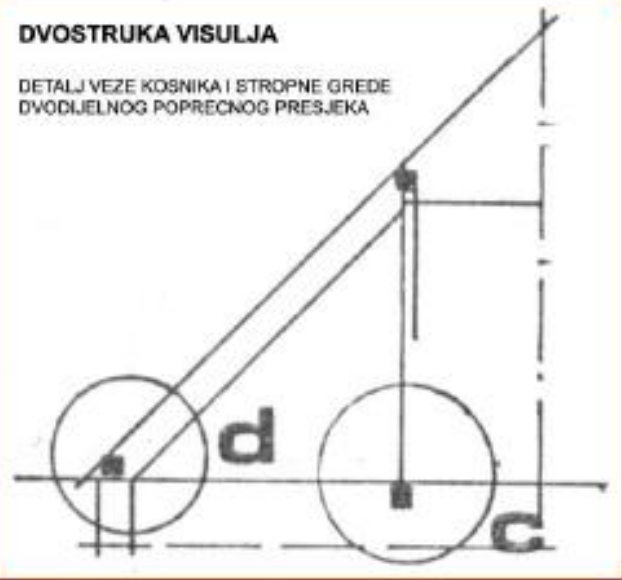
$$\sigma_{c,0,d} = \frac{N_H}{d \cdot b} \leq f_{c,0,d}$$

$$\sigma_{c,90,d} = \frac{N_V}{a \cdot b} \leq k_{c,90} \cdot f_{c,90,d}$$

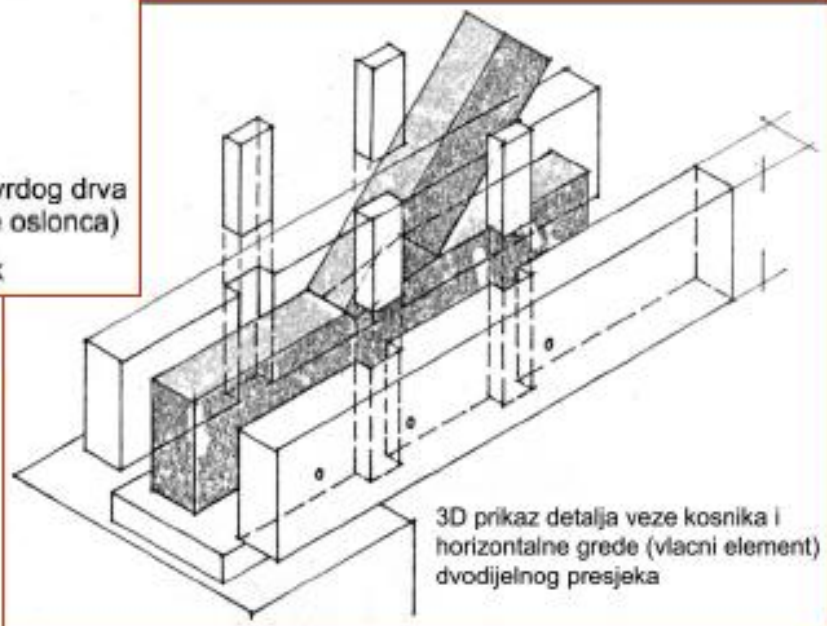


### DVOSTRUKA VISULJA

DETALJ VEZE KOSNIKA I STROPNE GREDE DVODIJELNOG POPREČNOG PRESJEKA



- Posredni priključak kosnika na dvodijelnu gredu



# NEKA PRAVILA KONSTRUIRANJA LEŽAJA U DRVENIM KONSTRUKCIJAMA

Konstrukcija ležišta u principu treba:

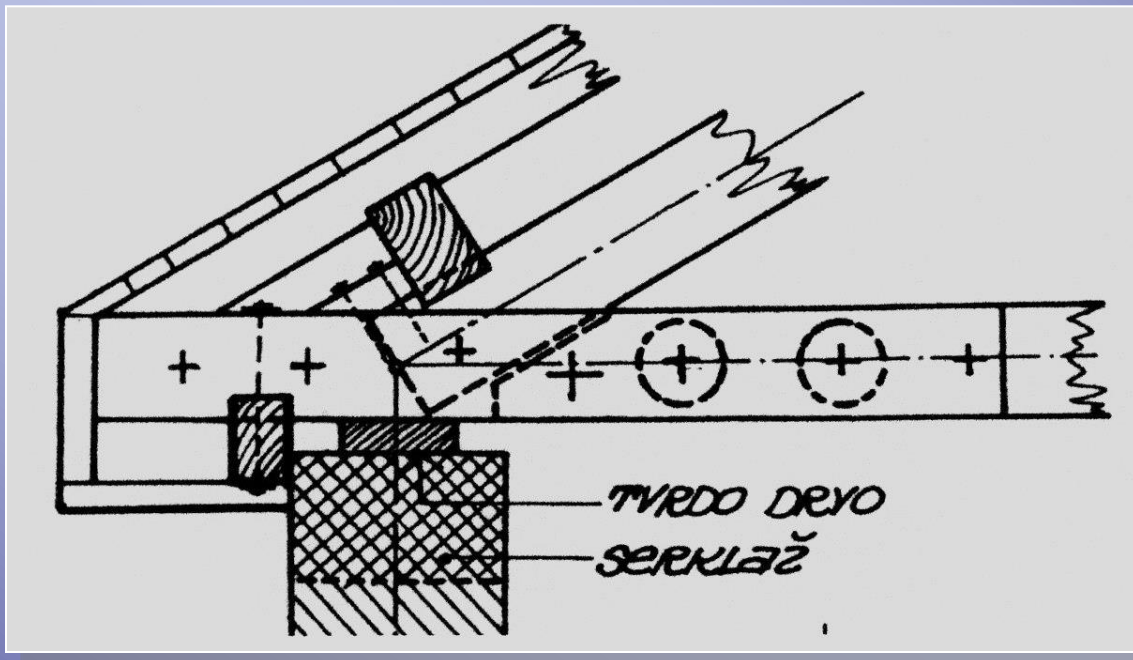
- Omogućiti pravilno **DILATIRANJE, PRAVILAN RAD** konstrukcije odnosno primjenjenog statičkog sustava,
- **Fiksirati sustav** u ravnini, kod ravninskih nosača i **osigurati staticke utjecaje** predviđene statičkim proračunom.

**LEŽIŠTA SE MOGU IZVESTI:**

- Od drveta kada se koristi tvrdo drvo najboljeg kvaliteta ( hrastovina )
- Od čelika sve prema priznatim pravilima čeličnih konstrukcija, a prilagođava se potrebama drvenih konstrukcija.
- Kombinirano od drva i čelika

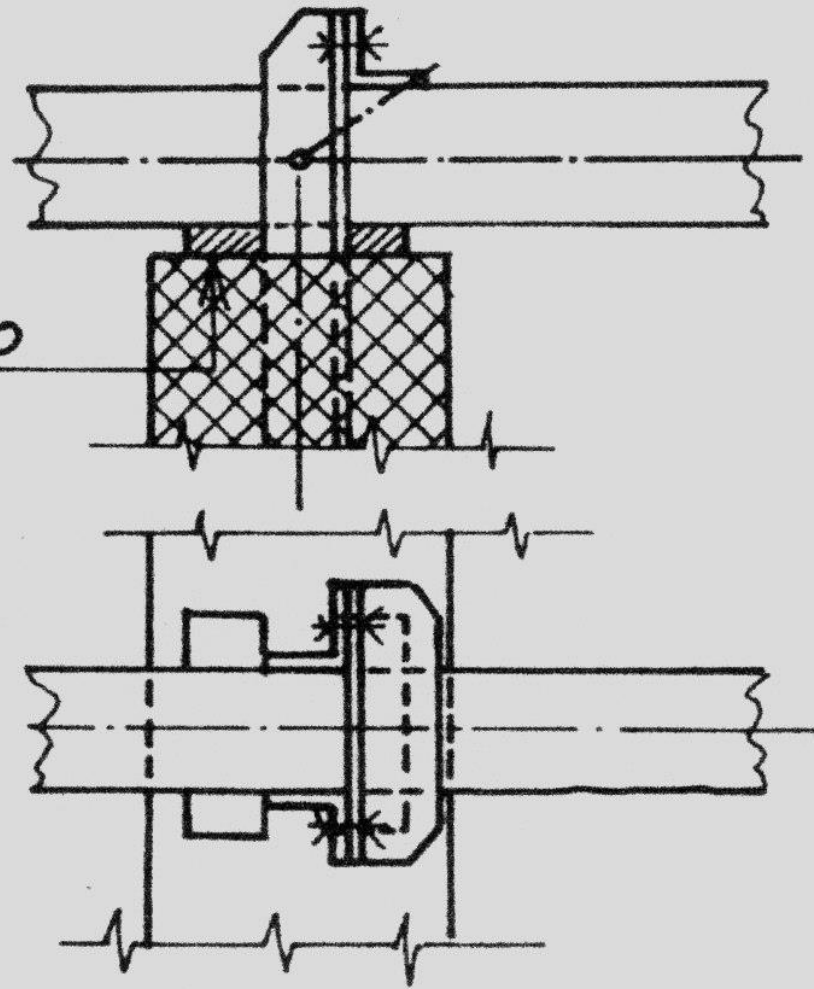
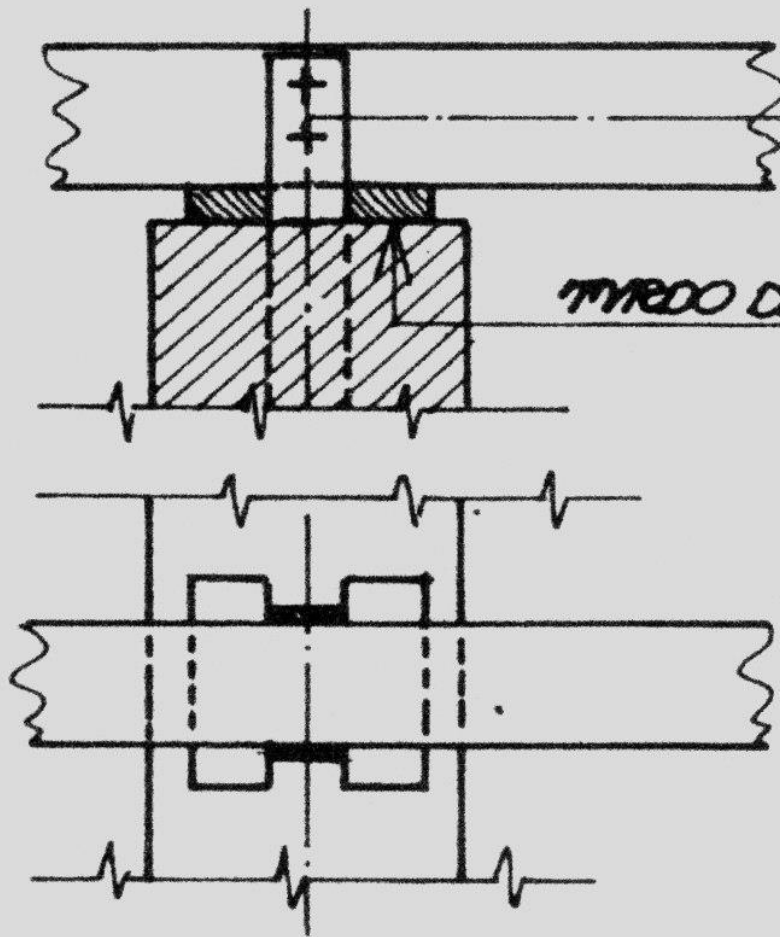
## PRIMJERI:

- Jednostavne krovne konstrukcije i nosači manjih raspona:

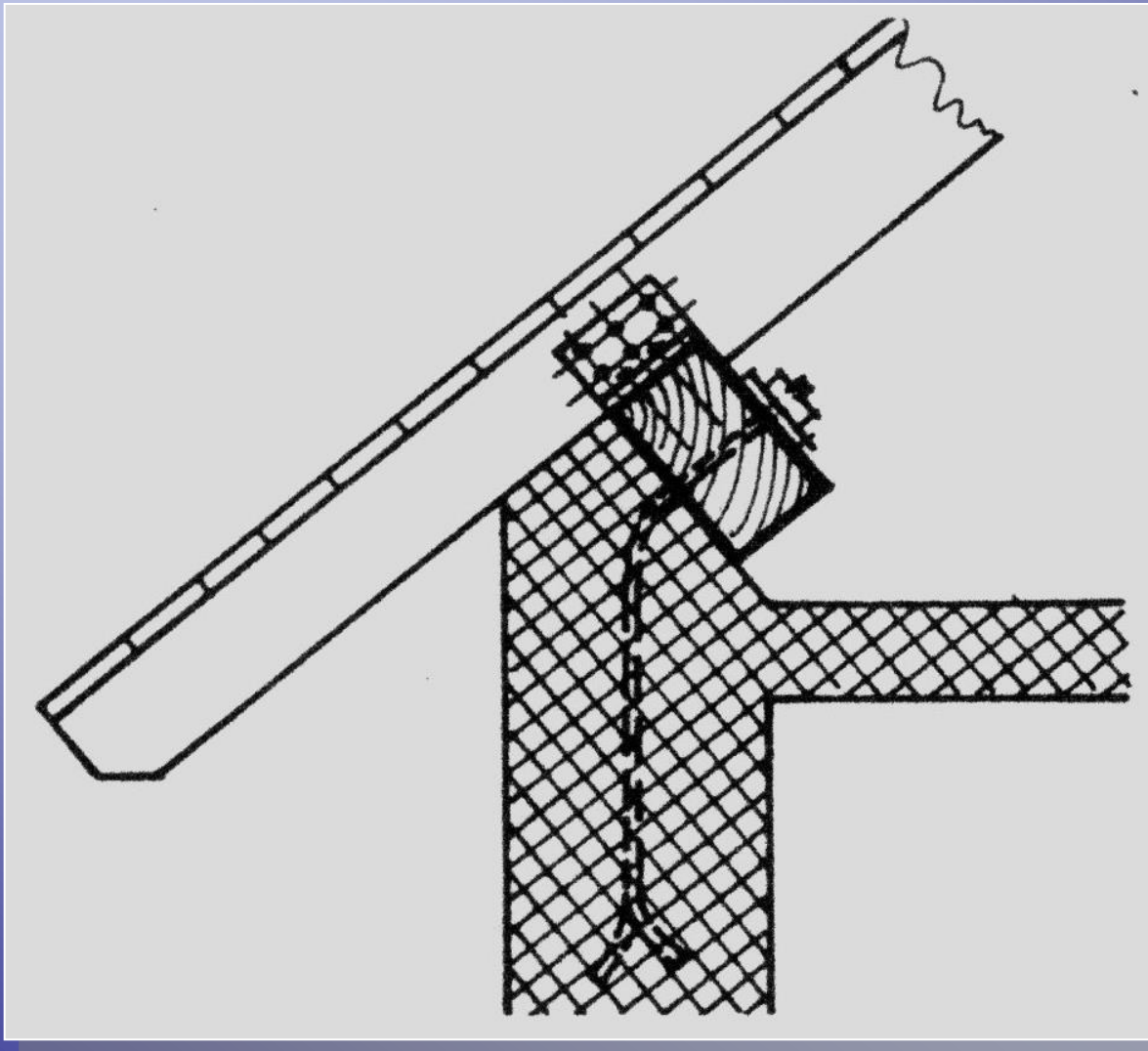


Glavni nosač oslanja se na tvrdo drvo i potrebno je provjeriti tlačno naprezanje okomito na vlakna

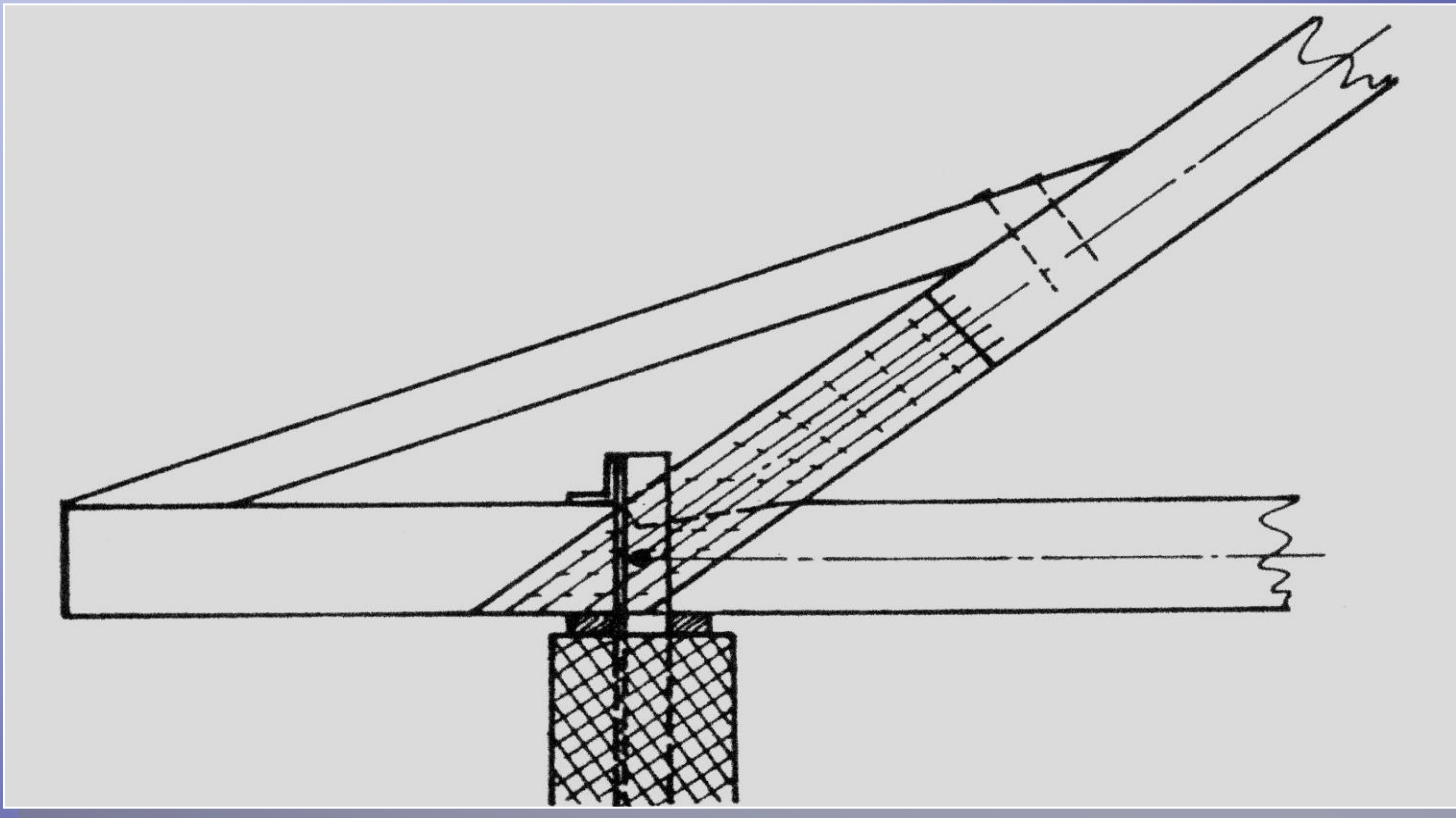
- Za slučaj konstruiranja nepokretnog ležaja odnosno oslonca koji treba primiti negativnu reakciju, nosač se vezuje za ležište pogodnim ankerima ( sidrima ). Ankeri se izrađuju od plosnog ili okruglog željeza ili profila (slika ).



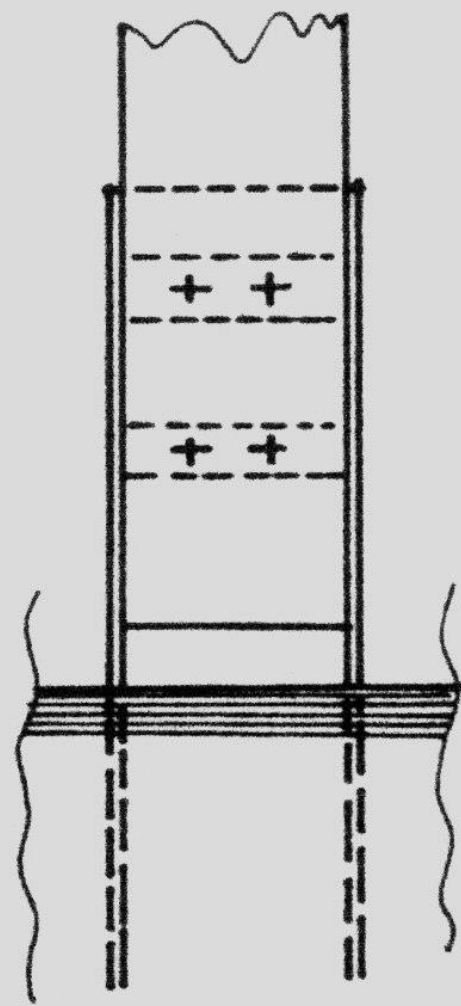
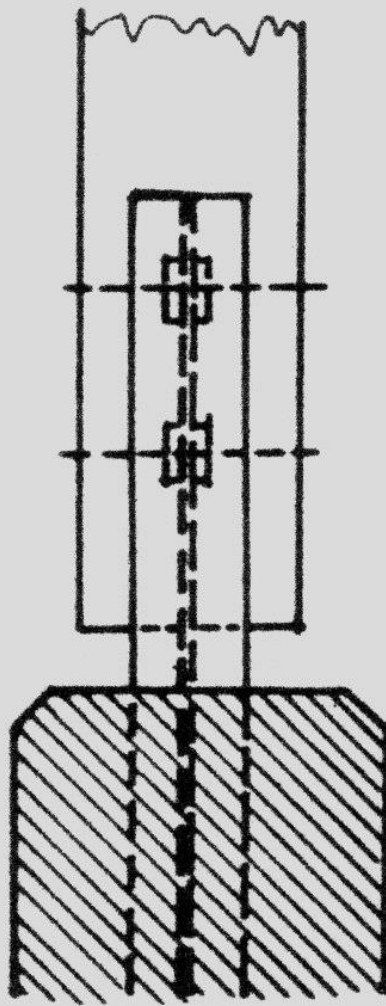
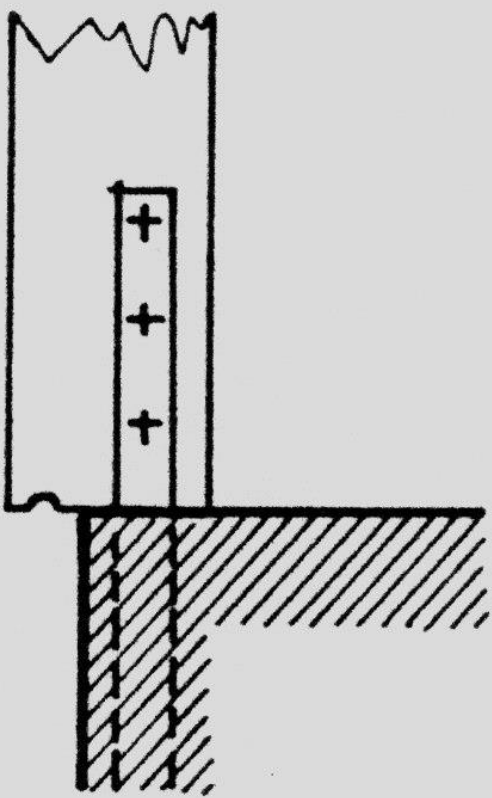
- Kod pajantnog krovišta:



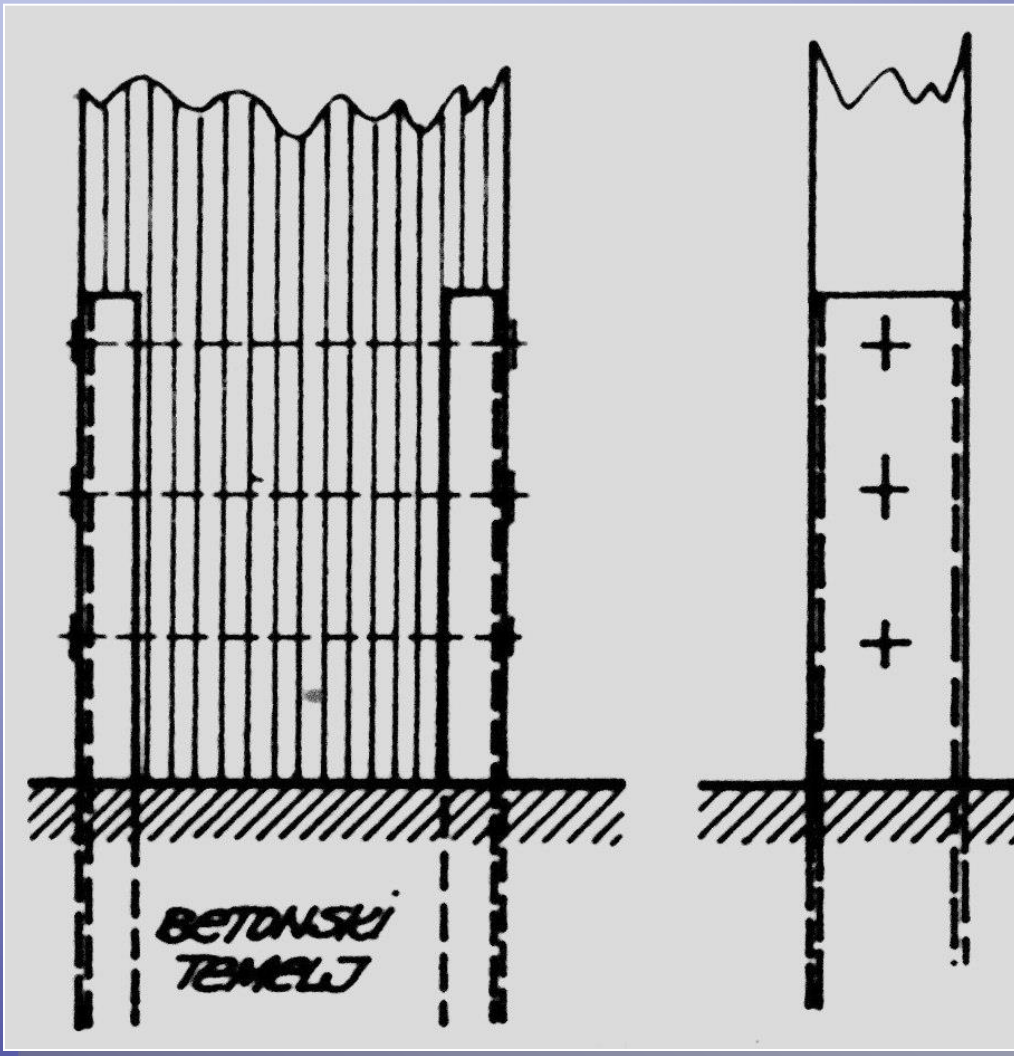
- Detalj ležišta vezan s rješenjem strehe krova ( jedna mogućnost rješenja ):



- Način oslanjanja stupa od drva na temelj od betona: redovno se koriste čelični profili, čelične trake – ankeri i posebno treba obratiti pažnju na ispravno provjetravanje ležišne površine. ( slike ➡ )



- Kada se drvena konstrukcija oslanja na betonski temelj, spojnica drvo – beton treba biti 50 – 60 cm iznad terena zbog sigurnosti od vlaženja odnosno atmosferske vode.

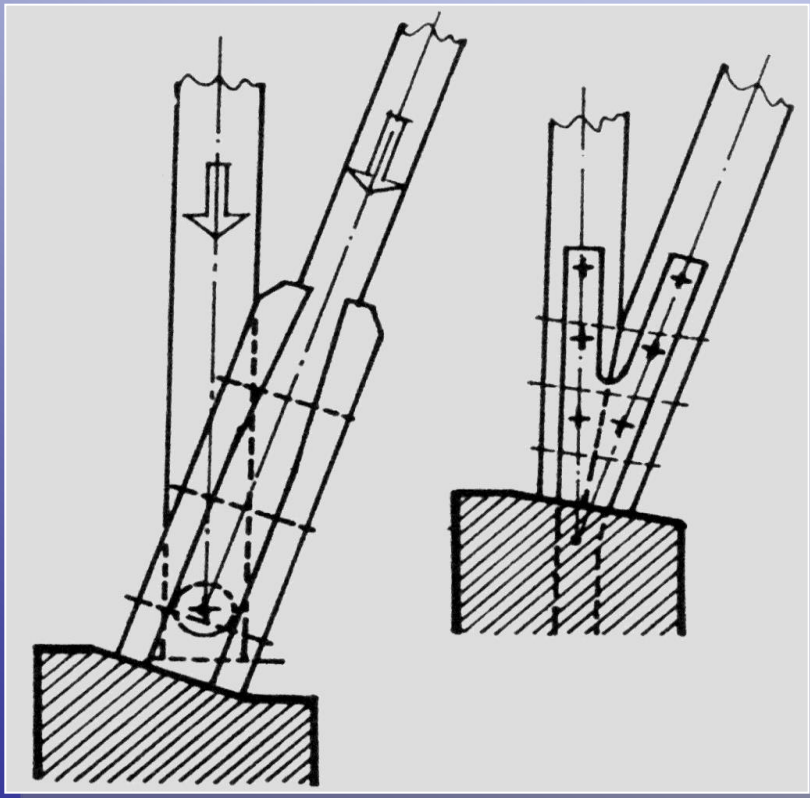


- Ležišta rešetkastih okvirnih nosača i njima sličnih konstrukcija.

Moguće je izvesti U profilima ili čeličnim trakama ili bez čeličnih traka.

Preporučuje se iako nema negativnih reakcija, drvena konstrukcija bude na pogodan način vezana za temelje.

Gornja površina temelja redovno se oblikuje u nagibu, radi efikasnije odvodnje atmosferske vode.



# NASTAVCI VLAČNIH ŠTAPOVA

**NASTAVCI** vlačnih (zategnutih), kao i tlačnih (pritisnutih) štapova pripada grupaciji **STATIČKIH** veza (primjenjuju se i u TESARSKIM VEZAMA)

**Položaj nastavka vlačnog štapa je potpuno slobodan**

Nastavak se postavlja gdje je to zgodno, ovisno o duljini konstrukcije nastavka

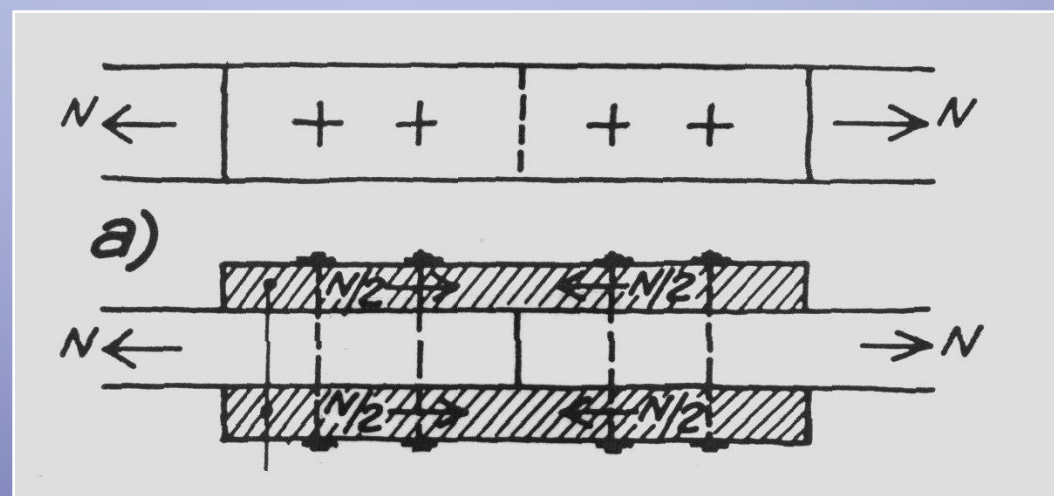
Nastavci su definirani planom montaže

Sila se može prenijeti preko metalnih i drvenih vezica

## PRIJENOS SILA PREKO DRVENIH VEZICA:

a) **konstrukcija nastavka s dvije vezice**

poprečni presjek  
nastavljanog vlačnog  
elementa je jednostruk  
(monolitni presjek)



Kontrola naprezanja za slučaj a) :

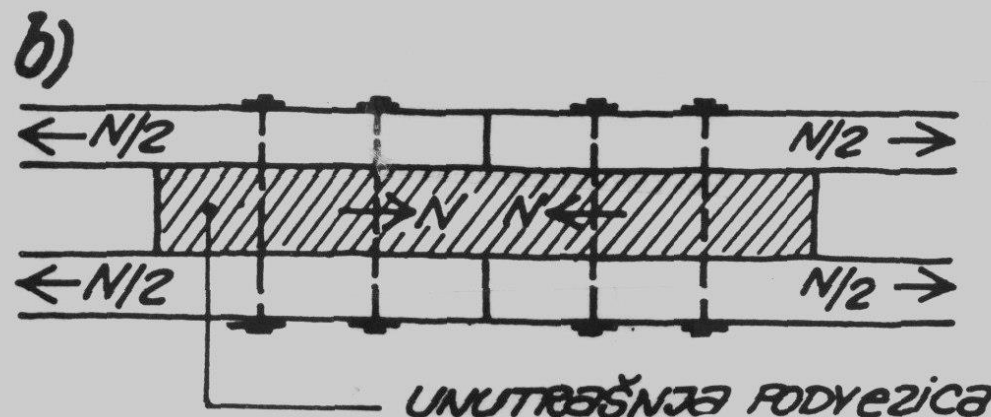
$$\sigma_{t,II}^{\$} = \frac{N}{\$ A_n} \leq f_{t,II,d}$$

NAPREZANJA U ŠTAPU

$$\sigma_{t,II}^p = 1.5 \frac{N}{2A_n} \leq f_{t,II,d}$$

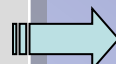
NAPREZANJA U VEZICAMA

b) složeni (dvodijelni) presjek štapa nastavlja se jednom vezicom



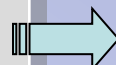
Kontrola naprezanja za slučaj b) :

$$\sigma_{t,II}^S = 1.5 \frac{N}{S A_n} \leq f_{t,II,d}$$



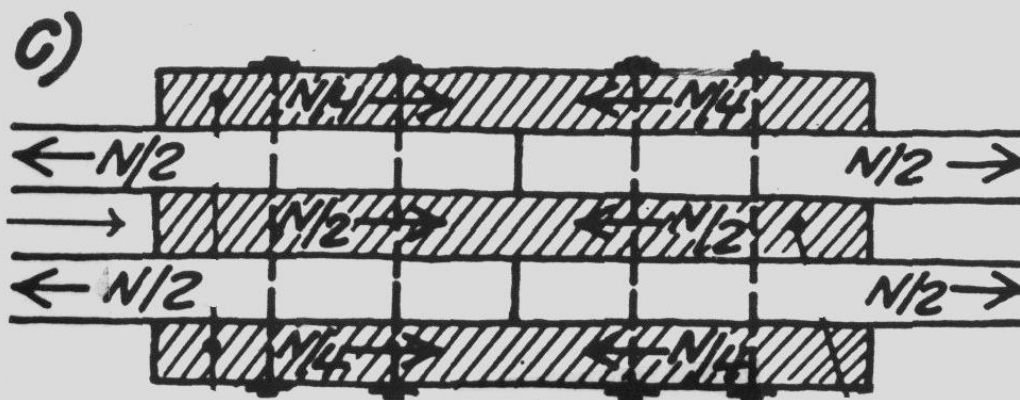
NAPREZANJA U ŠTAPU

$$\sigma_{t,II}^P = \frac{N}{P A_n} \leq f_{t,II,d}$$



NAPREZANJA U VEZICI

c) složeni (dvodijelni) presjek štapa nastavlja se s tri vezice  
(jedna unutrašnja i dvije vanjske)



Kontrola naprezanja za slučaj c) :

**Broj spojnih sredstava određuje  
računska sili u nastavljanom štalu !!!**

$$\sigma_{t,II}^{\$} = 1.5 \frac{N}{\$ A_n} \leq f_{t,II,d}$$



**NAPREZANJA U ŠTAPU**

**NAPREZANJA U VEZICI**

$$\sigma^p_{t,II} = \frac{N_u}{A_{n,u}} \leq f_{t,II,d}$$

unutrašnje podvezice

$$\sigma^p_{t,II} = 1.5 \frac{N_v}{A_{n,v}} \leq f_{t,II,d}$$

vanjske podvezice

Prijenos sile N preko vanjskih vezica - naprezanja u vanjskim vezicama računaju s **50% povećanom silom N** zbog mogućih ekscentriteta u nastavku i neravnomjernog prijenosa sila

# NASTAVAK VLAČNOG ŠTAPA “TUCHERER” MOŽDANICIMA

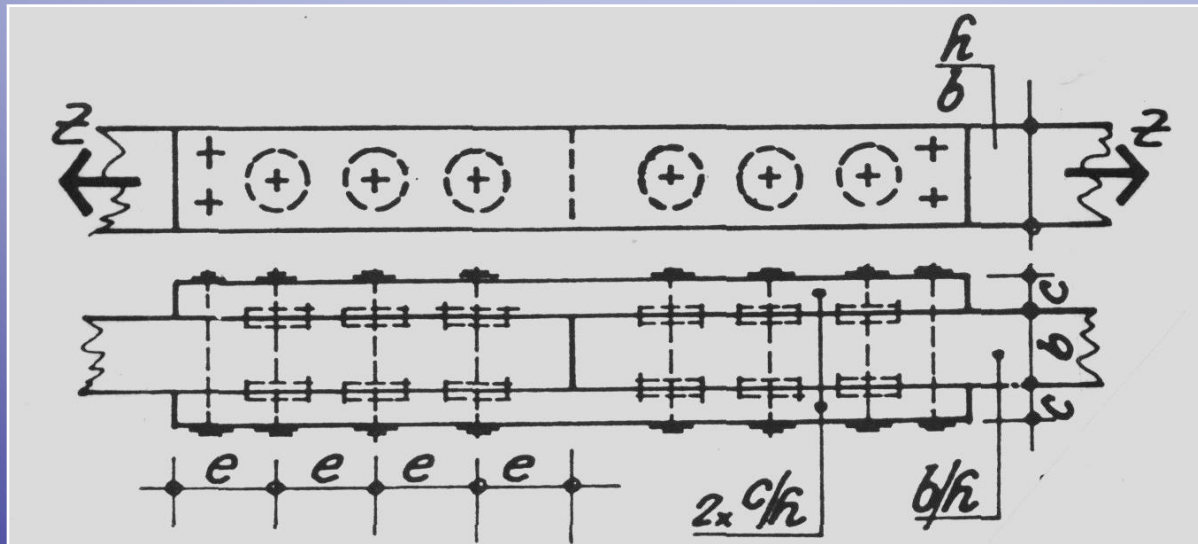
Postupak:

Zadana je aksijalna vlačna sila  $Z$  i kvalitet materijala ( $\sigma_{t,||,d}$  i  $\tau_{||,d}$ ).

Kao spojno sredstvo koriste se moždanici sustava “Tuchscherer”  
(dimenzije moždanika i nosivosti iz tablice )

Bira se tako da otprilike 2 do 3 para moždanika bude s jedne strane veze.  
Za tri para treba tražiti moždanik koji može prenijeti silu:

$$N_1 \geq Z/6$$



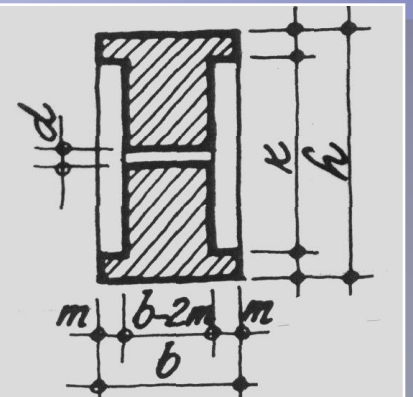
Za usvojeni moždanik uzimaju se ostale vrijednosti:

- dimenzije moždanika i vijka,
- dimenzije građe ( minimalne )
- udaljenost moždanika ( e )

Provjera naprezanja:

U ŠTAPU

$$A = b \cdot h$$
$$\Delta A = K \cdot m \cdot 2 + d(b - 2m)$$



$$\check{s}A_n = A - \Delta A$$

$$\sigma_{t,0}^{\check{s}} = \frac{Z}{\check{s}A_n} \leq f_{t,0,d}$$

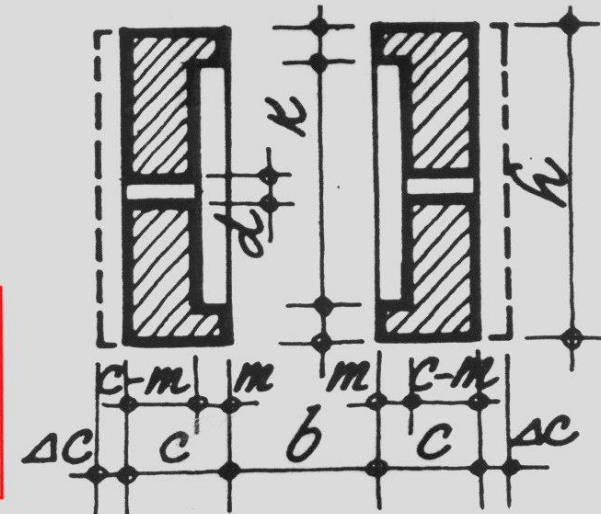
## U VEZICAMA

$$A = 2 \cdot c \cdot h$$

$$\Delta A = 2 \cdot k \cdot m + 2d(c-m)$$

$$pAn = A - \Delta A$$

$$\sigma_{t,II}^p = 1.5 \frac{Z}{A_{n,v}} \leq f_{t,0,d}$$



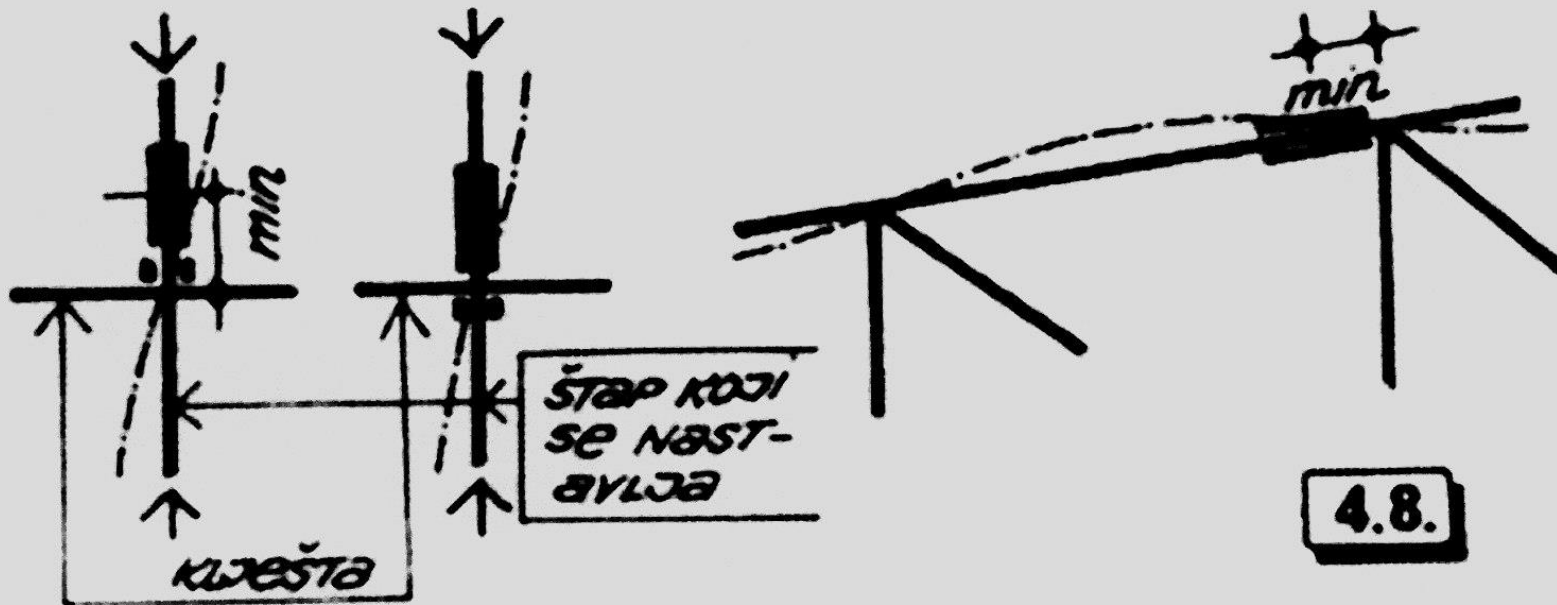
U slučaju da su vlačna naprezanja veća od projektiranih potrebno je potražiti  $\Delta c$  veličinu tj. korekciju širine podvezice.

Nastavljanje vlačnih štapova moguće je vršiti pomoću čavala i vijaka

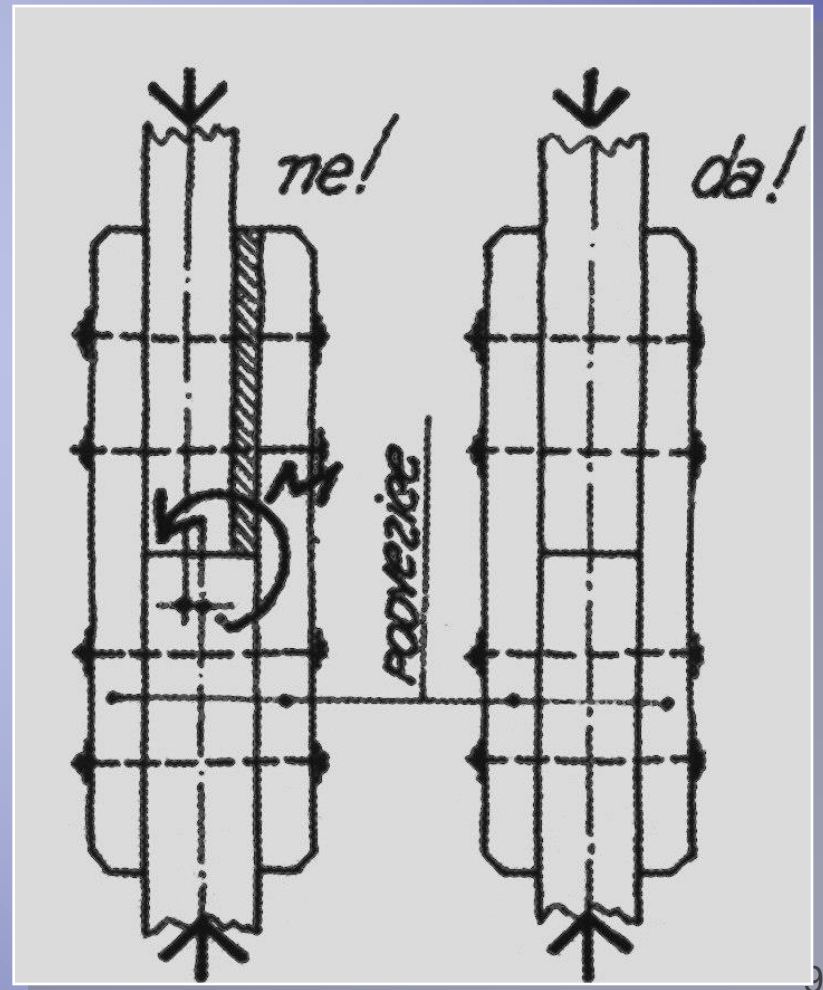
# NASTAVLJANJE PRITISNUTIH ŠTAPOVA

Za razliku od vlačnih nastavaka, nastavljanje pritisnutih štapova ima više pravila:

- Nastavak štapa treba postaviti što bliže prostorno ukrućenoj točki ( na slici primjer kod skele ), budući da je prisutan problem izvijanja na ovaj način u nastavku su minimalni momenti ili ih uopće nema.



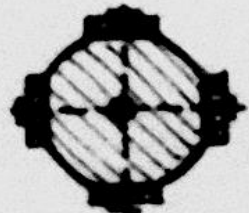
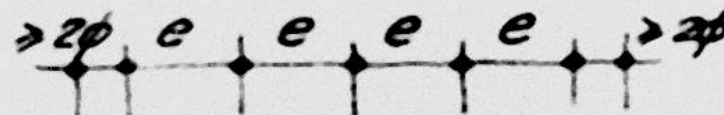
- Posebnu pažnju treba obratiti na centriranje nastavka, jer prilikom ekscentričnog nastavljanja osim sile postoji i moment savijanja što je nepovoljno ( centriranje pomoću komada okruglog željeza )
- Na mjestu nastavka pritisnutih štapova potrebno je osigurati kontakt za prijenos tlačne sile
- U tom slučaju proračun je praktički nepotreban, a vezica i spojna sredstva su konstruktivnog karaktera
- Ponekad se broj spojnih sredstava proračunava za  $\frac{1}{2}$  tlačne sile.



- Za svođenje deformacija u tlačnom nastavku na što manju vrijednost ( posebice za skele ) dobro je na mjestu kontakta pritisnutih elemenata ugraditi komad pocinčanog lima ili tanak sloj cementnog morta koji sprečavaju utiskivanje vlakna u vlakno.
- Vezice pritisnutih štapova mogu biti statičke i konstruktivne
- Izvode se jednakodobro od **čelika** ( plosno željezo ), ali i od **drva**
- **Dimenzije konstruktivnih** podvezica određuju se prema osjećaju konstruktera, a **dimenzije statičkih** na osnovu tlačne sile u nastavku
- **Nastavak se redovito pokriva simetrično ugrađenim vezicama**

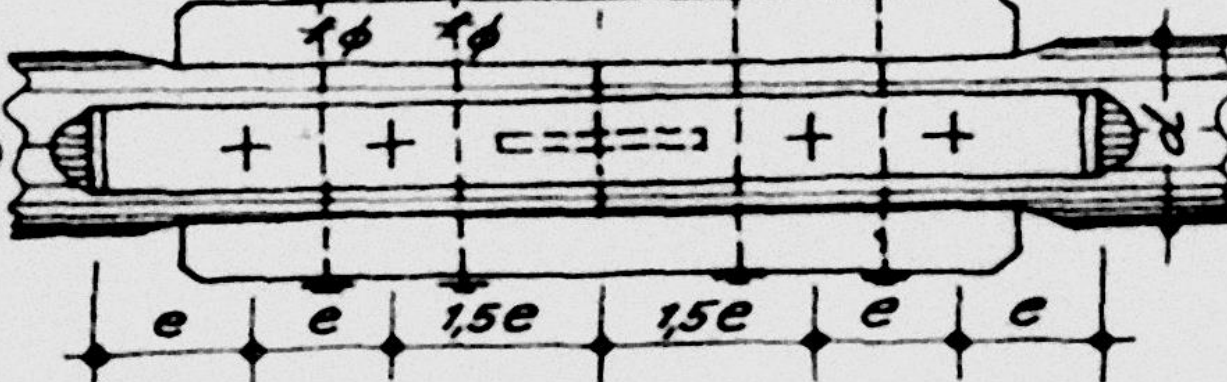
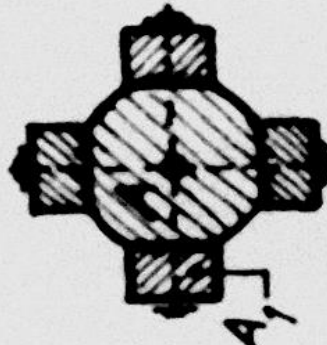
## SIMETRIČNO UGRAĐENE VEZICE

$e \geq 7\phi$   
 $\geq 10\text{cm}$



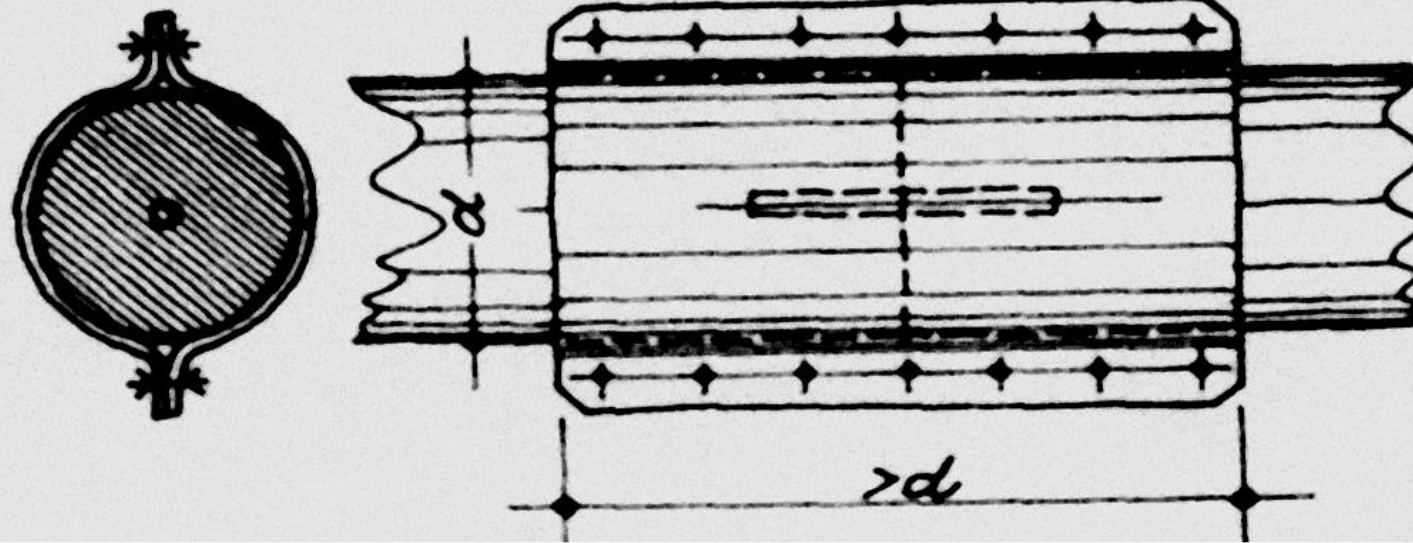
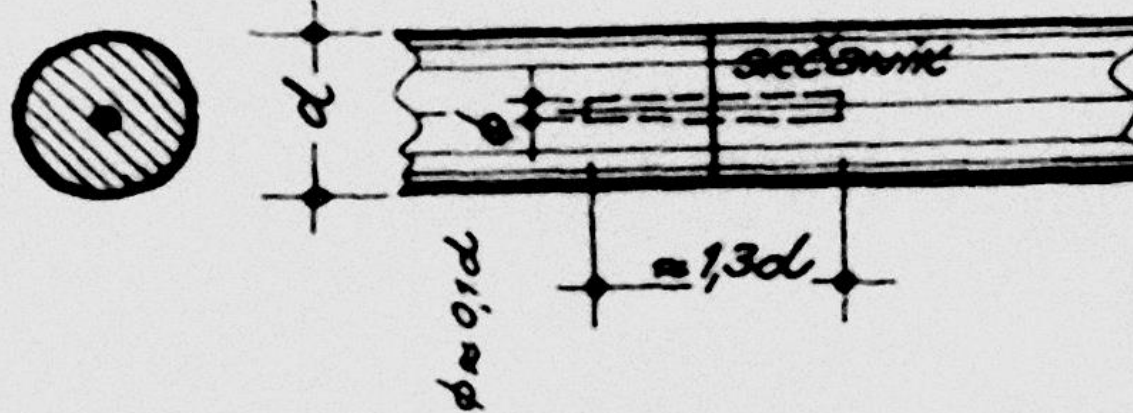
a) metalne podvezice - neake

$e \geq 7\phi$   
 $\geq 10\text{cm}$



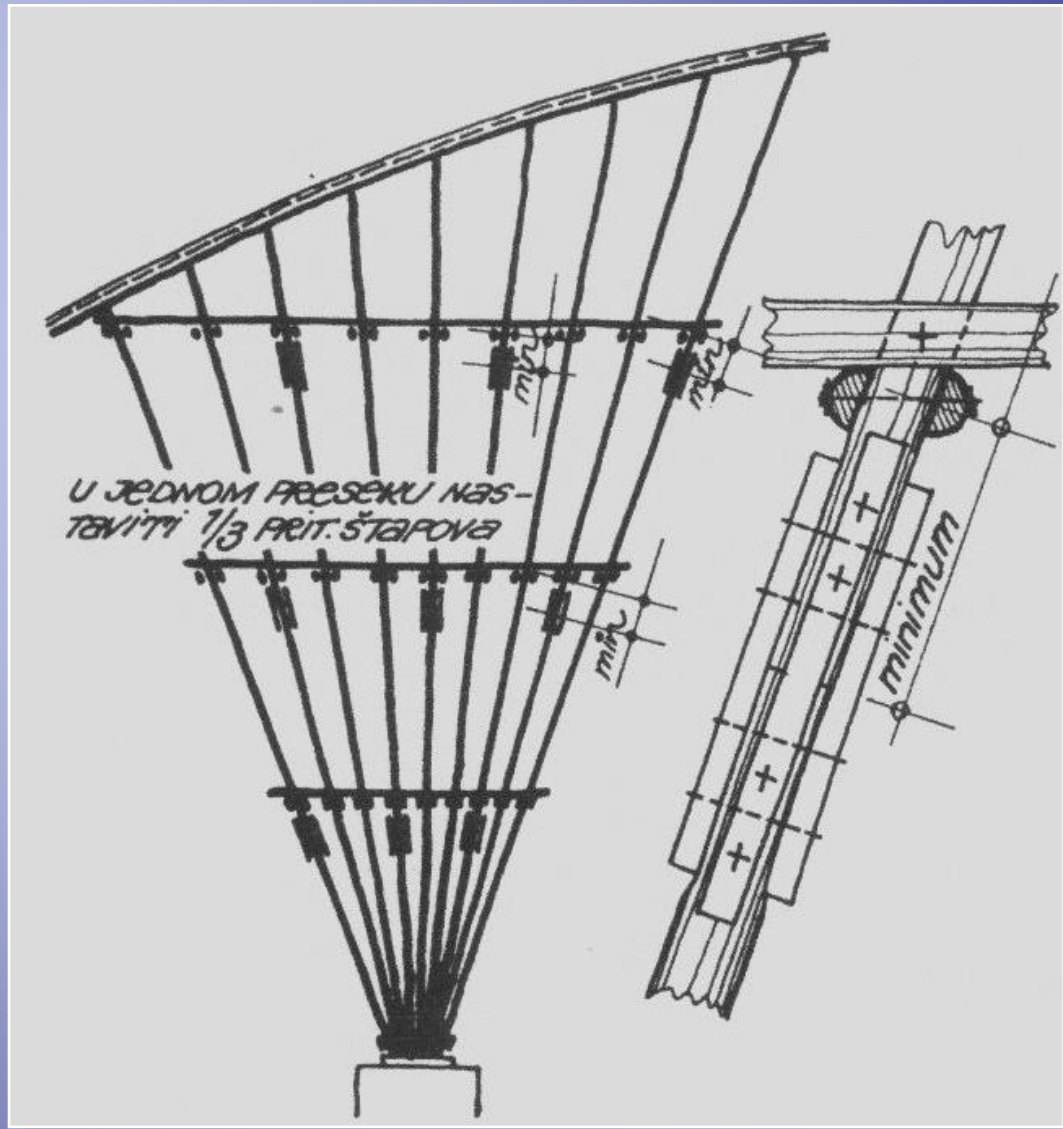
b) derene podvezice - obzari

## SIMETRIČNO UGRAĐENE VEZICE



- Primjer konstrukcija karakterističnih zbog velikog broja nastavaka tlačnih štapova – nastavci se moraju rasporediti naizmjenično u jednom presjeku – u jednom presjeku se može nastaviti max. 1/3 štapova:

- Kod nastavljanja pritisnutih pojaseva rešetkastih nosača sa složenim presjecima, moment inercije vezica mora biti isti momentu inercije štapa na mjestu nastavka



# Uvod u tehnike spajanja

- Sustavi CAD-CAM (Computer Aided Design, Computer Aided Manufacturing) za projektiranje i izvedbu drvenih struktura danas su na naprednoj tehnološkoj razini sa relativno umanjenim troškovima tako da je njihova primjena široko raširena u velikim i malim poduzećima.
- Prednost takvih sustava je u skraćivanju vremena proizvodnje i smanjenju broja grešaka u fazi projektiranja i proizvodnje drvenih struktura. Uz to su osobito korisni kod malih krovišta u stambenoj obiteljskoj gradnji kod kojih su često prisutne nepravilne forme krovišta što pak iziskuje primjenu raznolikih drvenih elemenata (glavnih i sekundarnih).

# Mogućnosti suvremene proizvodnje

- CAD-CAM sustavi za projektiranje



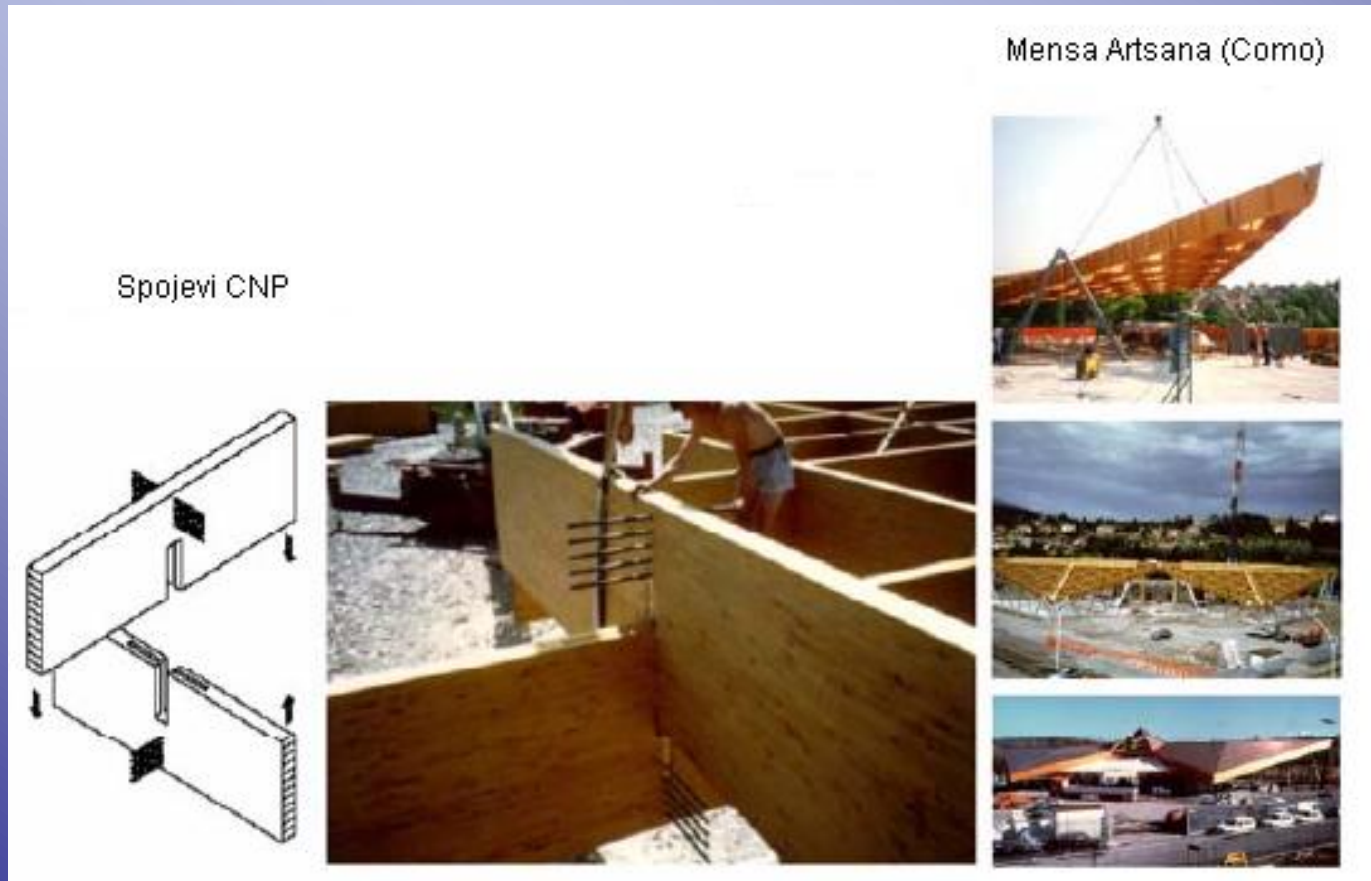
- Numerički upravljeni strojevi

- Tradicionalne tesarske veze – suvremeni CNC proizvodi za primjenu u konstrukcijama drvenih zgrada



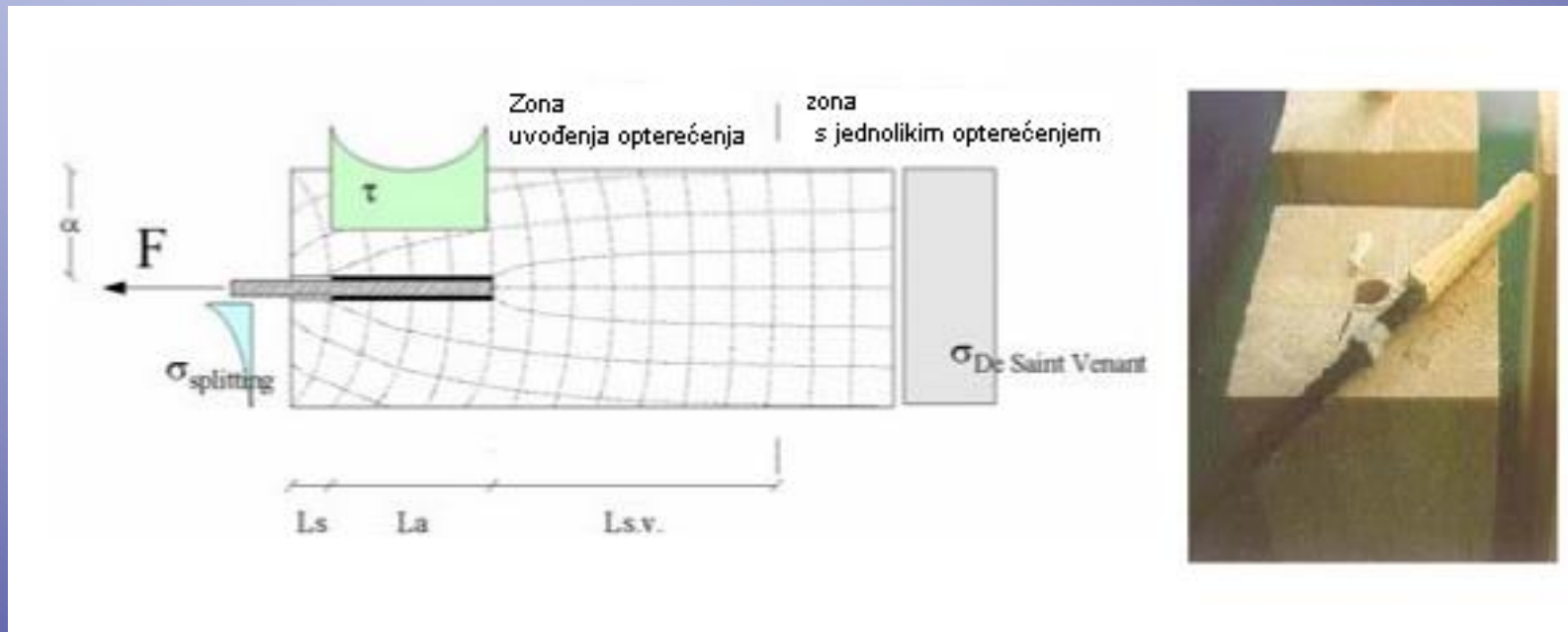
# Moderni spojevi

- Primjena lijepljenih šipki kod krutih spojeva - Spojevi CNC



# Moderni spojevi

- Mehaničko ponašanje spojeva sa lijepljenim šipkama



## Mehanizmi loma

- Nastajanje pukotina - drvo - vlak okomito na vlakna
- Savitljiv (podatan/rastezljiv) lom - čelik - slabljenje i lom čelične šipke